

2号 2020.3

口絵

<紀要>

【調査報告】アポイ岳ハイマツ伐採試験地における6年間の植生変化
 (佐藤謙・丹羽真一・田中正人・水永優紀) ······ 1

【調査報告】様似町観音山風穴における冷風穴と温風穴の温度変化
 (澤田結基・加藤聰美) ······ 21

【調査報告】平成30年度様似町冬島遺跡発掘調査報告 (高橋美鈴) ······ 31

【調査報告】令和元年度様似町冬島遺跡発掘調査報告 (高橋美鈴) ······ 53

<年報>

様似郷土館 ······ 91

- | | |
|------------|-----------------|
| 1. 施設概要 | 4. 郷土館事業活動内容 |
| 2. 運営 | 5. 学芸員の館外対応 |
| 3. 郷土館利用状況 | 6. 様似郷土館条例・施行規則 |

アポイ岳ジオパークビジターセンター ······ 102

- | | |
|-------------------|-----------------------|
| 1. 施設概要 | 5. 学芸員の館外対応 |
| 2. 運営 | 6. アポイ岳ジオパークビジターセン |
| 3. ビジターセンター利用状況 | ターの設置及び管理運営に関する
要綱 |
| 4. ビジターセンター事業活動内容 | |

図1



冬島遺跡発掘調査状況遠景



冬島遺跡発掘調査状況近景

口絵 2



土器集中検出状況(北東から)



礫集中検出状況(北東から)

【調査報告】

アポイ岳ハイマツ伐採試験地における6年間の植生変化

(Vegetational change after the tentative removal of *Pinus pumila* scrub
on the southwestern ridge of Mt. Apoidake, Hokkaido, Japan)

佐藤 謙¹・丹羽真一²・田中正人³・水永優紀⁴

(Ken Sato, Shin-ichi Niwa, Masahito Tanaka and Yuki Mizunaga)

1. はじめに

国指定特別天然記念物『アポイ岳高山植物群落』は、エゾコウゾリナ、ヒダカソウなどアポイ岳に限られた固有植物をはじめとする多数の希少植物から構成され、植物群落として世界無二の存在である（佐藤 2018）。ところが、この極めて貴重な高山植物群落（高山風衝草原と高山荒原）は、1980 年頃から、多くがハイマツ低木林に、一部がキタゴヨウ林などに遷移し、その面積が顕著に縮小した。以上の植生遷移（時間の経過に伴う植物群落の交代）は、原因として地球温暖化が指摘されているが、種のレベルで見ると、アポイ岳を特徴づける希少植物とそれらの生育地が激減したことを意味する。

以上の植生遷移はまた、高山植物キンロバイを食樹とし、国内ではアポイ岳に限られる高山蝶、国指定天然記念物ヒメチャマダラセセリとその生息地を激減させた。この状況に対して、特定非営利活動法人日本チョウ類保全協会は、2012 年、ヒメチャマダラセセリ生息地の再生を目的にしたアポイ岳のハイマツ伐採計画を提案した。この計画は、北海道や様似町、アポイ岳ファンクラブなど関係者との協議によって、高山植物群落の再生を目的とする計画の一部にすると変更された。その変更過程において、筆者らのうち佐藤と丹羽は、北海道の要請によって当初から協議に参加した。それは、佐藤と丹羽が北海道生物多様性保全条例に基づきアポイ岳ヒダカソウ生息地等保護区の指定を進めた北海道希少植物保全識者会議構成員であったからである。

日本チョウ類保全協会は、2013 年、関係者との協議に基づいて、7 合目付近の特別天然記念物指定区域外（日高山脈襟裳国定公園かつ道有林内）にハイマツ伐採試験地を設置した。その後 2018 年まで、同協会の中村康弘、渡辺康之、永盛俊行 3 氏はヒメチャマダラセセリのモニタリング調査を実施し、他方、佐藤・丹羽は植生モニタリング調査を継続した。

以上のモニタリング調査は、2016 年以降は、様似町・北海道・文化庁による『アポイ岳高山植物群落再生事業』の一事業「先行試験地のモニタリング」と位置づけられた。しかしながら、同事業に関する平成 28～30 年の「年度ごとの実施報告書」（アポイ環境科学委員会運営事務局編 2017、2018、アポイ環境科学委員会編 2019）は文化庁補助事業の関係行政機関に対する報告書として多面的な事業の概要をまとめたものであり、一般への公開を目的としていなかった。上記報告書はまた、詳細資料からなる植生モニタリング結果を印刷する余裕を持たなかつた。

以上のことから、本稿は、アポイ岳 7 合目付近における 2013-2018 年の 6 年間にわたる植生モニタリング結果（植生資料）を報告することを目的とする。上記事業は、2020 年度を最終年度として総括しなければならないので、アポイ岳で多面的に実施しているハイマツ伐採試験に関して総合的な考察と結論はその際にまとめることとする。

-
1. 北海道大学総合博物館資料部
 2. さっぽろ自然調査館
 3. アポイ岳ファンクラブ
 4. 様似町地域おこし協力隊

2. ハイマツ伐採試験地と植生モニタリング方法

(1) ハイマツ伐採試験地

ハイマツ伐採試験地は、アポイ岳の7合目から馬の背に向かう登山道の北西側に位置し(図1)、1980年以降、高山植物群落からハイマツ低木林に遷移してきた場所である。2つの試験区(A: 20m×10m, B: 10m×10m)を設定し(図2)、それぞれ2013年5月21~22日にハイマツを伐採した。この時期は、高山植物・希少植物への影響を少なくすることを目的に、植物季節が進行していない早春季に当たる。ハイマツ伐採の際、両試験区におけるリターはすべて除去した。

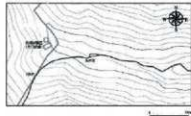


図1. ハイマツ伐採試験地の位置

(アポイ環境科学委員会運営事務局編

2017を簡略化)

(1.0 m × 1.0 m) 標高: 594-599m, 方位: NNEW, 傾斜角: ca. 20°			
① 方形区1 1	方形区1 2	② ① 42° 06' 33.24" N. 143° 06' 53.45" E. 599m ② 42° 06' 32.91" N. 143° 06' 53.45" E. 599m ④ 42° 06' 33.17" N. 143° 06' 53.61" E. 592m ⑤ 42° 06' 32.83" N. 143° 06' 53.66" E. 594m	
方形区1 3	方形区1 4		
③	⑥		
(1.0 m × 2.0 m) 標高: 591-599m, 方位: SSWW, 傾斜角: ca. 15-25°			
① 方形区2 1	方形区2 2	② ① 42° 06' 32.94" N. 143° 06' 53.45" E. 599m ② 42° 06' 32.64" N. 143° 06' 53.77" E. 599m ③ 42° 06' 32.76" N. 143° 06' 53.23" E. 595m ④ 42° 06' 32.50" N. 143° 06' 53.35" E. 595m ⑤ 42° 06' 32.57" N. 143° 06' 52.79" E. 591m ⑥ 42° 06' 32.24" N. 143° 06' 53.61" E. 591m	
方形区2 3	方形区2 4		
⑦ 方形区2 5	方形区2 6	⑧ ⑦ 42° 06' 32.57" N. 143° 06' 52.79" E. 591m ⑧ 42° 06' 32.24" N. 143° 06' 53.61" E. 591m	
方形区2 7	方形区2 8		
⑨	⑩		

図2. アポイ岳七合目・馬の背のハイマツ伐採試験地

(2) 植生モニタリング方法

ハイマツ伐採後の植生モニタリング調査は、①試験地全体での植生配置の変化（相視区分による植生配置図）、②試験地全体を対象とした植生変化、③ハイマツ密生植分の伐採によって生じた裸地的植分における植生変化、ならびに④指標的種の個体群レベルでの変化と、対象レベルを変えて複層的に実施したが、本稿では②について報告する。

②に関して、試験区 A と B をそれぞれ 5m×5m の方形区に分割し、合計 12 個の方形区において植生モニタリングを継続した。12 方形区は、伐採前のハイマツ被度が 40~70% を示す 7 方形区と、伐採前に 80% を超える 5 方形区（11 : 95%、13 と 14 : 85%、22 と 23 : 80%）からなる。換言すると、伐採したハイマツ低木林は、疎生植分（林床で高山植物群落構成種が多数、かつ高い被度で出現）と密生植分（高山植物群落構成種が少数、かつ低い被度で出現）からなり、そのうちハイマツ疎生植分が高山植物群落とモザイク的に隣接している。②の調査は、試験地全体を対象にして植生がどのように変化するかの把握を目的としている。

2013 年 5 月、ハイマツ伐採実施前の植生資料を得た後、同年 6 月 17 日と 8 月 27 日に春季と夏季の初期値を得、その後、季節変化を確認する年 2 回の植生モニタリング調査を 2018 年 8 月まで継続した。②の調査方法は、各方形区における全出現種の優占度（Braun-Blanquet, 1964）と植物高、草本層植被率（%）、ハイマツとキンロバイの被度（%）、群落高（植物高の最大値）ならびに出現種数、さらには成熟状態（開花：fl・結実：fr・栄養状態：記号つけず）について記録した。結果の表では、種ごと方形区ごとに『優占度（植物高 cm）成熟状態』を併記している。

3. 調査結果

(1) 試験地に出現した総植物種について

表 1 に、2013~2018 年に試験地全体で確認した合計 62 種を示す。62 種は、7 合目から馬の背付近で確認される元来の高山風衝草原（エゾコウジナーノエスグ群集ケトダシバ亞群集）と高山荒原（アポイマンテマアポイクワガタ群落）の構成種をほとんど含んでいる（佐藤 2002、2003、2007）。ハイマツ伐採試験地において再生目標となる高山植物群落の構成種がワンセット残されていることは、高山植物群落再生にとって重要な事実である。また、このことは、高山植物群落への再生とヒメチャマダラセセリ生息地の回復を目的とした試験地として、ハイマツ疎生植分を中心を選択したこと反映している。

表 1 の 62 種をアポイ岳の高山風衝草原と高山荒原に関する既存研究（佐藤 2002、2003）と比較すると、55 種が元来の高山風衝草原と高山荒原に出現しており、残る 7 種（アカエゾマツ、ミヤマナカマド、ミヤマハンショウヅル、ヒメイチゲ、コメガヤ、チャシバスグおよびネジバナ）が報告されていない。上記 7 種のうちコメガヤまでの 5 種は、アポイ岳のハイマツ低木林に普通な構成種であり、高山風衝草原への再生を目的としたハイマツ伐採試験では、伐採後に消失が期待される種である。残る 2 種はその後の調査によって高山風衝草原への出現が確認されている。

アポイ岳の高山風衝草原において、ケトダシバ亞群集は、比較的低標高の南西～東斜面に成立し比較的多数の温帶性植物を構成種とする特徴があり、高標高の西～北西斜面に成立しつつも高山植物から構成されるウラシマツツジ亞群集と対比される。表 1 に示した 62 種のうち、オオダモ、ヤマツツジ、フデリンゴウ、アキカラマツ、ネジバナ、チャシバスグ、エゾマツムシソウ、コガネギク、ケトダシバ、ツリガネニンジン、スキおおよびコメガヤの 12 種は山地帯または山地帯から亜高山帯まで出現する低標高地の植物であり、ケトダシバ亞群集に確認された種である。しかし、高山植物群落への再生において、これらの植物は、亞群集を特徴づける 1 種ケトダシバを除いて、通常、高山風衝草原では低い被度または低い常在度で混生するので、ハイマツ伐

採という人為の影響後に試験地で優勢になる事態は避けなければならない植物である。

(2) 落構成種の消長

試験地を 12 個の方形区 (5m×5m) に分けて、各方形区における植生モニタリングを継続した結果を表 2~13 に示す。各表では、消長パターンを 5 区分し、そのパターンごとに出現種を列記した。5 区分は、①最初の処置として根元で剪定した木本種、②初年度に見られたがモニタリング途中で消失した種、③モニタリング途中で新たに加わり後に消失した種、④モニタリング途中に新たに加わり存続した種、ならびに⑤初年度から常在した種である。

合計 62 種のうち木本種を除いた草本 49 種は、各方形区に常在傾向が強い 27 種と、経年的な消長が顕著である 22 種からなる。前者はアボイアズマギク、アボイカラマツ、アボイヤマブキショウマなどアボイ岳高山風衝草原を特徴づける種が多く、ハイマツ低木林林床に伐採以前から存続したものや、元々モザイク的に存在していた小規模な高山風衝草原に由来する。それに対して、22 種のうちフデリンドウ、アボイクワガタ、アキカラマツ、エゾタカネニガナなど、モニタリング途中で新たに加わった種は試験区への新たな侵入種であり、とくに超塩基性岩植物のアボイクワガタとエゾタカネニガナはアボイ岳に固有な高山植物群落を特徴づける種の侵入として特記される。

他方、アボイハハコ、チャシバスグ、キタヨツバシオガマなど途中で加わったがその後消失した種とミヤマオダマキ、アボイゼキショウ、アボイマンテマなどモニタリング初期に早々に消失した種は、チャシバスグを除くと高山植物群落構成種であり、植被の流出などハイマツ伐採後の環境変化によって消失したと推測される。これらの消長は、多くの場合、伐採 1~2 年後の 2014 ~2015 年に始まり、2~3 年後の 2014~2016 年には新加入種と消失種の交代が認められ、その後は 2018 年までわずかな消長に終わっている。

上記の中で、アボイクワガタなど途中で侵入した種は、光条件の好転や土壤搅乱による埋土種子の発芽、または飛来種子の発芽によったと考えられ、ハイマツ伐採による高山植物群落への再生においてプラスの効果と評価される。

他方、アボイマンテマのように伐採後の初期に消失した植物は、伐採という環境変化によるマイナスの効果と考えられる。アボイマンテマとミヤマオダマキは当初、小面積の高山荒原に認められたが、モニタリング調査時における踏みつけが影響して消失したと考えている。またハイマツ低木林の構成種であるヒメイチゲの消失は、生育地が明るくなったことが原因と考えられる。以上、消長が顕著な高山草原構成種、特に希少植物については今後も注視しなければならない。

(3) 草本層植被率の変化

12 方形区における草本層植被率の経年変化を表 14 に示す。草本層植被率は、伐採直前 (2013 年 5 月 21 日) を基点とした当年 1 年の増加が大きい。それは、伐採したハイマツ低木林の林床植物と元来の高山植物群落構成種が当年に成長したことによる。他方、2014 年 6 月に植被率を減少させた方形区が認められたが、当時、そこでは植被付き表土が斜面下方に流失していたので、降雨などの影響が原因と考えられた。ハイマツ伐採は、土壤層を含む地表付近における季節間の凍結融解を顕著にすること、降雨による基質の流出を容易にすることなど、立地環境を不安定にする点でマイナスの効果を持つと考えられる。

しかし、表 14 に示すように、草本層植被率の初期値は、概して、伐採前のハイマツ被度が高いほど小さな値を示し、地形が凹形斜面または斜面下部であるほど小さな値を示す傾向が認められる。ハイマツ被度が 80% を超えた 4 方形区 (11、13、14 および 23) とハイマツ被度が 70% であ

表1. アガイ缶ハイマツ伐採試験地（方形区11～28）に出現した植物の和名と学名の対照表。

和名	学名*	特徴事項	植物群落**
アオダモ	<i>Fraxinus lanuginosa</i>	山地帯・温帯性樹物	P
アカエゾヤツ	<i>Picea glehnii</i>	山地帯～亜高山帯	P・M
アキタクサノキ	<i>Thaumatomerrium subsp. glabratum</i>	高山植物（隔離分布）	M
アギイナスノウソウ	<i>Thlaspi alpestre var. apetaloides</i>	高寒基性植物（ホイイ田有）	M
アギイナシソウ	<i>Tordylium apulum var. tordyi</i>	高山植物	B
アギイタマヨウスミレ	<i>Tofieldia coccinea var. tordyi</i>	高寒基性植物（北洋固有）	M
アギイヘーコ	<i>Anaphalis apennina</i>	高寒基性植物（アガイ固有）	M
アギイムツメ	<i>Anaphalis lactea</i> (L.) (タカネヤハズハコ)	高寒基性植物（アガイ固有）	B・M
アギイシドリ	<i>Aruncus dioicus</i> var. <i>subrotundus</i>	高寒基性植物（アガイ固有）	M・P
アグバチソウ	<i>Thysanocaulon variabile</i> (Ishik.) (アガイ固有)	高寒基性植物（アガイ固有）	M
エゾバチソウ	<i>Parthenocissus quinquefolia</i> var. <i>lukensii</i>	高寒基性植物（アガイ固有）	M
エゾクサカツブリ	<i>Hypoxis cordifolia</i> (L.) (アガイ固有)	高寒基性植物（アガイ固有）	M
エゾコロコロサ	<i>Coptis japonica</i> subsp. <i>tetrapetala</i> var. <i>yessoensis</i>	高寒基性植物（北洋固有）	M
エゾヒツコロサ	<i>Coptis japonica</i> subsp. <i>griffithii</i> (C. Presl) (アガイ固有)	高寒基性植物（北洋固有）	M
エゾヒツコロサゴケ	<i>Euphorbia matsumicawiana</i> (A. Nels.) (アガイ固有)	高寒基性植物（北洋固有）	M
エゾヒツコロサツブ	<i>Selaginella helvetica</i> (L.) (アガイ固有)	高寒基性植物（北洋固有）	M
エゾミラヒツシヨウヅル	<i>Cladonia alpina</i> subsp. <i>ochotensis</i> var. <i>ochotensis</i>	高寒基性植物（北洋固有）	M
エゾノキ	<i>Rhododendron dauricum</i>	高寒基性植物	P
オカエヌシ	<i>Carex sibirica</i>	高寒基性植物	P
オカエヌシバ	<i>Polygonum nakaii</i>	高寒基性植物（隔離分布）	M
オカエヌシワ	<i>Thlaspi rostratum</i> (L.) (アガイ固有)	高寒基性植物（隔離分布）	M
オカエヌシツブリ	<i>Potentilla fruticosa</i> var. <i>major</i>	高寒基性植物（隔離分布）	M
オカエヌシツブリ	<i>Potentilla fruticosa</i> var. <i>shopense</i>	高寒基性植物（隔離分布）	M
オカエヌシツブリ	<i>Potentilla fruticosa</i> var. <i>assassiticum</i> f. <i>latoculm</i>	高寒基性植物（隔離分布）	M
オカエヌシツブリ	<i>Potentilla fruticosa</i> var. <i>futicosa</i>	高寒基性植物（隔離分布）	M
オカエヌシツブリ	<i>Arundina hirta</i> var. <i>hirta</i>	高寒基性植物	P
オカエヌシツブリ	<i>Solidago virgaurea</i> subsp. <i>leucocarpa</i> var. <i>leucocarpa</i> f. <i>japonica</i>	高寒基性植物	P
オカエヌシツブリ	<i>Vaccinium vitis-idaea</i>	高寒基性植物	M
オカエヌシツブリ	<i>Chrysanthemum yezoense</i>	高寒基性植物	P
オカエヌシツブリ	<i>Melica nutans</i> subsp. <i>nutans</i>	高寒基性植物（アガイ固有）	M
オカエヌシツブリ	<i>Hypoxis nakaii</i> subsp. <i>nakaii</i>	高寒基性植物（アガイ固有）	M
オカエヌシツブリ	<i>Polygonum perfoliatum</i> subsp. <i>perfoliatum</i> var. <i>adolese</i> var. <i>suumimontanum</i>	高寒基性植物（アガイ固有）	M
オカエヌシツブリ	<i>Helianthus orientalis</i>	高寒基性植物	M・P
オカエヌシツブリ	<i>Micranthes sanguinalis</i>	高寒基性植物	M
オカエヌシツブリ	<i>Patrinia sibirica</i>	高寒基性植物	P
オカエヌシツブリ	<i>Carox blopharica</i> var. <i>duenensis</i>	高寒基性植物	M
オカエヌシツブリ	<i>Calamagrostis sachalinensis</i>	高寒基性植物	P
オカエヌシツブリ	<i>Carex caryophyllea</i> var. <i>duensis</i>	高寒基性植物	M
オカエヌシツブリ	<i>Leptidea bicolor</i> var. <i>nana</i>	高寒基性植物	P
オカエヌシツブリ	<i>Slavonia pentapetala</i> (Gouan) (アガイ固有)	高寒基性植物	M
オカエヌシツブリ	<i>Adonis amurensis</i> (L.) (アガイ固有)	高寒基性植物	M
オカエヌシツブリ	<i>Paeonia anomala</i> var. <i>anomala</i>	高寒基性植物	M
オカエヌシツブリ	<i>Paeonia suffruticosa</i> (L.) (アガイ固有)	高寒基性植物	P
オカエヌシツブリ	<i>Saussuria kudiana</i> var. <i>kudiana</i>	高寒基性植物	M
オカエヌシツブリ	<i>Allium schoenoprasum</i> var. <i>yezonotinctum</i>	高寒基性植物	P
ヒメエンドネ	<i>Allium debilis</i>	高寒基性植物	M
ヒメエンドネ	<i>Allium schoenoprasum</i> var. <i>yezonotinctum</i>	高寒基性植物	B・M

表 1. 種付き。

和名	学名*	特記事項	植物群落**
ヒロヘヘリノオラズ フデリンドウ	<i>Berberis amurensis</i> <i>Gentiana zollingeri</i>	若葉地被物・風寒性植物	M・P
ホソバヘビノコ	<i>Buglossoides tenuifolia</i>	山地地被物・風寒性植物 狭葉分布植物	B・M
ホソバヘビノコサイイコ	<i>Buglossoides variegata</i>	山地地被物 狭葉分布植物	P・M
ホソバヘビノコツブ	<i>Carex stans</i>	山地地被物	M・P
ヤマツツジ	<i>Fraxinus excelsior</i>	山地地被物	M・P
ヤマナツ	<i>Fraxinus excelsior</i>	山地地被物	M・P
ヤマナツナガキ	<i>Astilbe laevigata</i>	山地地被物	M・B
ヤマナツナガキ	<i>Sorbus sambucifolia</i> var. <i>pumila</i>	山地地被物	M・B
ヤマナツナガキ	<i>Sorbus sambucifolia</i> var. <i>pseudogracilis</i>	山地地被物	P
ヤマナツナガキ	<i>Alnus viridis</i> subsp. <i>maximowiczii</i>	山地地被物	P
ヤマナツナガキ	<i>Sanguiaria longifolia</i>	山地地被物 (隔離分布)	M・P
ヤマナツナガキ	<i>Rhododendron kampferi</i> var. <i>kampefori</i>	山地地被物 (隔離分布)	P
ヤマナツナガキ	<i>Juniperus communis</i> var. <i>sontana</i>	高山植物 (隔離分布)	P・M
リシリビッシュン			

* 学名は、基本的に米倉(2012)に準拠し、補足的に大井(1975)を使用した。
** 植物群落は、以下の略号で示す。P: ベニバナ低木林 (コモニア等を代表する群集)、M: 高山風寒草原 (エゾコウソリナガオノエスク群集)、B: 高山荒原 (アガツマガラーブイマツマ群集)。

表2. アボイ岳ハイマツ伐採試験区（方形区11*）における6年間の植生モニタリング結果。

* 方形区1.1：高さ5688mm、方位N80°E、傾角19°
 * 方形区の消長ランプを以下のように分けた。
 1：最初の矢量として横元で割り切った水木原、2：別年度に見られたがモニタリング途中で消失した種、3：初年度から現在まで新たに加わり併存した種、4：モニタリング途中で新たに加わり併存した種（以下同様）

3. アボイ岳ハイマツ伐採試験区（方形区12*）における6年間の植生モニタリング結果。

方形区12：高5981、方位N80W、倾角ca. 20°

図4. アポイ岳ハイマツ伐採試験区（方形区13*）における6年間の植生モニタリング結果。

方形区13：标高595m、方位N80W、倾斜角20°-25°

図版5. アポイ岳ハイマツ伐採試験区（方形区14*）における6年間の植生モニタリング結果。

方形区1-4：标高595m、方位N80W、倾斜角ca.20°

表 6. アゴイ缶ハイマツ伐採試験区(方形区21*)における6年間の植生モニタリング結果。

	西暦年	W21 JN17 77	2013 JU17 70	AUG27 60	JN07 73	2014 JU13 80	W24 AUG17 56	2015 JU13 56	W28 AUG24 59	2016 JU17 56	W31 AUG23 62	2017 JU22 58	W31 AUG23 60	2018 JU24 53
調査月日 群落高(地高さ, cm)	7月 70	6月 60	7月 73	8月 80	5月 56	5月 56	5月 56	5月 56	5月 56	5月 56	5月 56	1月 10	1月 10	1月 10
ハイマツ密度(%)	5%	5%	5%	5%	5%	5%	5%	5%	5%	5%	5%	1%	1%	1%
キンロハイマツ率(%)	20%	20%	20%	20%	20%	20%	20%	20%	20%	20%	20%	10%	10%	10%
直木層樹種(%)	15%	23%	23%	26%	30%	30%	30%	30%	30%	30%	30%	26%	26%	26%
出現種数														
1 ハイマツ	4777	1700	1660	1733	1655	1580	1577	1700	1622	1680	1600	1532	1622	1622
ミヤマヒノキ/ボラズ	2165	1450	1567	1660	1700	1443	1444	1560	1533	1560	1560	1560	1560	1560
ミロヘビノキ/ボラズ	2155	1377	1340	2132	2134	2132	2145	2150	2149	2150	2150	2150	2150	2150
2 アオダモ	+	(+36)	-	(+12)	-	-	-	-	-	-	-	-	-	-
ハクサンヒヨウジヨウスゲ		+ (8)	-	+ (13)	-	-	-	-	-	-	-	-	-	-
カクネリ/シナガバ		+ (12)	+ (3)	-	-	-	-	-	-	-	-	-	-	-
3 チヤシノキ/アカツキノキ		-	-	+ (17)	-	-	-	+ (7)	+ (5)	-	-	-	-	-
ヒビキノキ/シナノウ		-	-	-	-	-	-	-	-	-	-	-	-	-
エゾシタケ/ササブリ		-	-	-	-	-	-	-	-	-	-	-	-	-
コハマギダケ		-	-	-	-	-	-	-	-	-	-	-	-	-
カマツ/シンドウ		-	-	-	-	-	-	-	-	-	-	-	-	-
ホソバコガネイコ		-	-	-	-	-	-	-	-	-	-	-	-	-
ススキ		-	-	-	-	-	-	-	-	-	-	-	-	-
4 キノロバイ	2588	1132	1165	2140	2140	2140	2140	2140	2140	2140	2140	2140	2140	2140
キノコチャコモ/カシワ	+	+ (18)	+ (8)	+ (11)	+ (2)	+ (3)	+ (3)	+ (3)	+ (3)	+ (3)	+ (3)	+ (3)	+ (3)	+ (3)
アシガタモモ/カシワ	1	+ (12)	+ (12)	+ (5)	+ (6)	+ (6)	+ (6)	+ (6)	+ (6)	+ (6)	+ (6)	+ (6)	+ (6)	+ (6)
エゾシタケ/ヒンジヨウヅル		-	-	-	-	-	-	-	-	-	-	-	-	-
カカニギリヤス	1	1332	1166	1166	1166	1166	1166	1166	1166	1166	1166	1166	1166	1166
アボカツチャク	1	1112	1112	1112	1112	1112	1112	1112	1112	1112	1112	1112	1112	1112
アボカツチャク	-	+ (8)	+ (8)	+ (8)	+ (8)	+ (8)	+ (8)	+ (8)	+ (8)	+ (8)	+ (8)	+ (8)	+ (8)	+ (8)
サマニオトギ	-	+ (9)	+ (6)	+ (3)	+ (3)	+ (3)	+ (3)	+ (3)	+ (3)	+ (3)	+ (3)	+ (3)	+ (3)	+ (3)
タケトガシバ	2	2122	2122	2122	2122	2122	2122	2122	2122	2122	2122	2122	2122	2122
ミヤマクサケグサ	1	1112	1112	1112	1112	1112	1112	1112	1112	1112	1112	1112	1112	1112
ホソバヒノキ/ヒノキスゲ	1	2113	2113	2113	2113	2113	2113	2113	2113	2113	2113	2113	2113	2113
ミヤマクサケグサ	+	+ (11)	+ (11)	+ (11)	+ (11)	+ (11)	+ (11)	+ (11)	+ (11)	+ (11)	+ (11)	+ (11)	+ (11)	+ (11)
ミヤマクサケグサ	1	1112	1112	1112	1112	1112	1112	1112	1112	1112	1112	1112	1112	1112
ミヤマクサケグサ	+	+ (13)	+ (13)	+ (13)	+ (13)	+ (13)	+ (13)	+ (13)	+ (13)	+ (13)	+ (13)	+ (13)	+ (13)	+ (13)
ミヤマクサケグサ	1	1112	1112	1112	1112	1112	1112	1112	1112	1112	1112	1112	1112	1112
ミヤマクサケグサ	+	+ (13)	+ (13)	+ (13)	+ (13)	+ (13)	+ (13)	+ (13)	+ (13)	+ (13)	+ (13)	+ (13)	+ (13)	+ (13)
アボカツチャク	-	+ (5)	+ (5)	+ (5)	+ (5)	+ (5)	+ (5)	+ (5)	+ (5)	+ (5)	+ (5)	+ (5)	+ (5)	+ (5)
アボカツチャク	-	+ (22)	+ (22)	+ (22)	+ (22)	+ (22)	+ (22)	+ (22)	+ (22)	+ (22)	+ (22)	+ (22)	+ (22)	+ (22)
キバナガシワ/シバ	+	+ (8)	+ (3)	+ (3)	+ (3)	+ (3)	+ (3)	+ (3)	+ (3)	+ (3)	+ (3)	+ (3)	+ (3)	+ (3)
チヤシノキ/シナノウ	+	+ (18)	+ (4)	+ (4)	+ (4)	+ (4)	+ (4)	+ (4)	+ (4)	+ (4)	+ (4)	+ (4)	+ (4)	+ (4)
オマツ/シナノウ	+	+ (13)	+ (20)	+ (6)	+ (6)	+ (6)	+ (6)	+ (6)	+ (6)	+ (6)	+ (6)	+ (6)	+ (6)	+ (6)
エゾノヒラマゴケ	1	1112	1112	1112	1112	1112	1112	1112	1112	1112	1112	1112	1112	1112

図7. アボイ岳ハイマツ伐採試験区（方形区22*）における6年間の植生モニタリング結果。

中華醫學會編委會：編輯委員會 15-25

表8. アゴイ缶ハイマツ伐採試験区(方形区23*)における6年間の逐年モニタリング結果。

	西年	2013	2014	2015	2016	2017	2018
	W121	JN17	AUG27	JN07	JY13	W24	W28
樹高(株高、cm)	56 80 20 15	56 0 20 30	56 1 10 20	46 1 20 25	60 1 20 25	60 1 10 30	60 3 10 25
ハイマツ密度(%)							
キンロヘ木率(%)							
直木層地率(%)							
出現種数	11	18	21	25	29	25	29
1 ハイマツ	5(56) +3(30) +1(36) +1(44)	- +3(30) +2(28)	*(60) +3(25) +1(34) +2(26)	+*(66) +1(22) +1(30) +2(26)	*+*(30) +1(26) +1(18) +2(26)	+*(35) +1(34) +1(23) +2(26)	+*(40) +1(34) +1(22) +1(30)
ヒマツクシノキ							
2 タカネガリヤス	*	-	+*(40)	+*(11)	-	-	-
3 ミヤマオモキ	*	-	-	+*(4)fr	+*(8)	+*(12)fr	+*(8)fr
ワメバチキ	*	-	-	-	-	-	-
アゴイシムギ	*	-	-	-	-	-	-
エコハマツ	*	-	-	-	-	-	-
コノハツブソボスミレ	*	-	-	-	-	-	-
4 アゴイシムギ	*	-	-	-	-	-	-
ヒマツクシノキ	*	-	-	-	-	-	-
オニヌクツバ	*	-	-	-	-	-	-
オニヌクツバ	*	-	-	-	-	-	-
サマニヨウトリ	*	-	-	-	-	-	-
サマニヨウトリ	*	-	-	-	-	-	-
カマヤマクシタナ	*	-	-	-	-	-	-
コジンランドウナ	*	-	-	-	-	-	-
5 キンロハイ	2(43)	2(56) +*(3) 1(7) 1(4) 1(5) 1(10) +*(12)	2(40) +*(5) 1(5) 1(6) 1(5) 1(6) +*(3)	2(38)fr +*(1) +*(1) +*(1) +*(1) +*(1) +*(2)	2(66) +*(4)fr +*(4)fr +*(5)fr +*(5)fr +*(5)fr +*(4)fr	2(35) +*(3) +*(3) +*(5)fr +*(5)fr +*(5)fr +*(5)fr	2(65) +*(3) +*(3) +*(3) +*(3) +*(3) +*(3)
イノキヤコウソウ	*	-	-	-	-	-	-
コケモモ	1	1	1	1	1	1	1
アゴイシムギ	+	-	-	-	-	-	-
アゴイシムギ	+	-	-	-	-	-	-
サマニヨウトリ	-	-	-	-	-	-	-
タトタシバ	-	-	-	-	-	-	-
ミヤマクシタナ	1	1	1	1	1	1	1
イノキヤコウソウ	-	-	-	-	-	-	-
ホノホノヒメノキ	-	-	-	-	-	-	-
ミヤマクシタナ	-	-	-	-	-	-	-
エノコロハコナ	-	-	-	-	-	-	-
アゴイシムギ	-	-	-	-	-	-	-
ツリガネニンジン	-	-	-	-	-	-	-
スキ	-	-	-	-	-	-	-
オヤシノバ	-	-	-	-	-	-	-
エゾタカラセセンブリ	-	-	-	-	-	-	-

* 方形区2.3:標高597m、方位S70W、傾斜角10°-25°

図版9. アボイ岳ハイマツ伐採試験区（方形区24*）における6年間の植生モニタリング結果。

方形区24：标高597m、方位S70W、倾斜角15-20°

10. アボイ岳ハイマツ伐採試験区（方形区25*）における6年間の植生モニタリング結果。

* 方形区25：標高695m、方位S70W、傾斜角15-28

1.1. アボイ岳ハイマツ伐採試験区（方形区26*）における6年間の植生モニタリング結果。

方形区26：标高595m、方位S70W、倾斜角18°-25°

表12、アポイ岳ハイマツ伐採試験区（方形区27*）における6年間の植生モニタリング結果。

* 方形区27：標高591m、方位S70W、傾斜角18-30°

表13. アポイ岳ハイマツ伐採試験区（方形区28*）における6年間の植生モニタリング結果。

* 方形区28：标高591m、方位S70W、倾斜角23°-27°

表14. ハイマツ伐採試験区(5m×5mの方形区12個)における草本層植被率の経年変化

調査時期	方形区番号	11	28	14	13	23	22	21	27	25	24	26	12
伐採直前	(2013.5.21)	10	20	20	15	15	15	20	20	30	20	40	40
1年目春季	(2013.6.17)	30	25	30	15	30	20	20	30	40	30	60	60
1年目夏季	(2013.8.27)	30	30	30	20	30	20	20	30	40	30	60	60
2年目春季	(2014.6.07)	10	25	20	15	20	20	20	20	40	30	40	40
2年目夏季	(2014.7.13)	20	30	25	20	20	30	20	30	40	35	60	60
3年目春季	(2015.5.23)	20	30	20	15	25	30	20	30	40	35	50	60
3年目夏季	(2015.8.23)	25	30	25	20	30	40	40	40	40	40	60	60
4年目春季	(2016.5.28)	15	30	25	20	30	40	40	30	40	40	60	50
4年目夏季	(2016.8.24)	25	30	30	20	30	40	40	40	40	50	60	60
5年目春季	(2017.5.31)	30	25	40	30	25	40	35	30	40	45	65	65
5年目夏季	(2017.8.23)	30	30	40	30	35	40	40	40	40	50	65	60
6年目春季	(2018.5.22)	30	25	30	30	30	40	40	30	40	45	60	60
6年目夏季	(2018.7.24)	30	30	30	30	35	40	40	40	40	50	60	65
伐採直前	ハイマツ被度	95	70	85	85	80	80	70	65	60	60	40	40
	地形*	CC	L	CCL	CCL	CVM	CVU	CVU	L	CVM	CVM	CVM	CVU

* CC: 凹形斜面、CV: 凸形斜面、U: 斜面上部、M: 斜面中部、L: 斜面下部

ったが、斜面下部で地形が急に変換する1方形区(28)では、草本層植被率の初期値(2013年)が小さく、経年的な増加はわずかで2018年段階で30%程度の値に留まった。また、上記4方形区のうち3方形区(11, 14および23)では、2014年6月の植被率低下が顕著であった。方形区11と14の立地は凹形斜面、同23の地形は地形変換点にあり、ともに土砂移動・植被付き土壤の流出が容易な地形であった。

他方、伐採直前のハイマツ被度が相対的に低い方形区では、概して、草本層植被率の初期値が大きく、その後の増加は明らかである。とくに凸形斜面上部の方形区では露岩が散在することから土壤や植被の流亡は認められなかった。ちなみに、2つの既存研究(佐藤2002, 2003)における高山風衝草原(エゾコウゾリナオノエスグ群集ケトダシバ亜群集)の草本層植被率は、40~100%(既存研究ではそれぞれ平均71%と75%と算出)であった。12方形区のうち2018年の草本層植被率が40%を超えた方形区は7個を数えたが、それらは草本層植被率の初期値が20%以上と相対的に大きな方形区であった。

以上のことから、第一に、高山植物群落(高山風衝草原)への再生を図るためにハイマツ低木林伐採では、草本層植被率の初期値が大きな植分、すなわちハイマツ疎生植分ほどプラスの効果があることが明らかになった。反対に初期値が小さな植分では、マイナスの効果、あるいは再生のスピードが遅い結果となった。第二に、5m四方の方形区における全体的な傾向の把握結果から、今後、ハイマツ伐採を実施する場合は、事前のハイマツ被度が80%以下であり、介在する小面積の高山風衝草原を含んで草本層植被率が20%以上あること、地形が急に変換する場所や凹形

斜面におけるハイマツ伐採を避けることが重要な項目としてあげられる。第三に、リターの除去については、今後の試験において、小面積の試験区を設けて影響試験を実施することが必要と考える。

4. 今後に向けて

アポイ岳の高山植物群落は、地域に固有な高山風衝草原（エゾコウゾリナーオノエスク群集）と高山荒原（アポイマンテマーハポイクワガタ群落、エゾキスマレ群落、アポイツメクサ群集）とともに、日本の高山環境に一般的なハイマツ低木林（コケモモハイマツ群集）から構成される（佐藤 2002、2003、2007）。そのうち高山風衝草原と高山荒原は、表1に示したように、アポイ岳または北海道の固有植物、隔離分布植物など極めて希少な植物を多数含んでおり、ハイマツ低木林は大半が普通種から構成されている。

アポイ岳において貴重な高山植物群落がハイマツ低木林などに遷移し顕著に減少したこと、このことが今のが喫緊の課題である。その対策の一つとして、高山植物群落への再生目的としたハイマツ伐採試験を始めた段階にあり、その1つの試験結果を本稿に示した次第である。

アポイ岳の高山植物群落は、5合目（標高 353m）から馬の背（約 610m）を経てアポイ岳山頂（810.2m）に至る稜線部だけではなく、同山頂から南方稜線上の3カ所の吹き抜け鞍部、すなわち旧幌満お花畠（約 600m）、第二お花畠（約 490m）および第一お花畠（約 310m）、さらにアポイ岳山頂から北方へ吉田山（794m）を経て吉田お花畠（700-760m）に至る稜線部、そして北端のビンネシリ（957.8m）に成立しており、以上の山岳と幌満川を挟んで対峙する幌満岳（685m）に成立している。以上の地域には、本稿で述べたハイマツ伐採試験地と同様に、わずかに残された高山風衝草原・高山荒原を取り巻くハイマツ疎生植分が散在している。今後、これらの地域において詳細な調査を実施し、高山植物群落への再生が効果的に実施できる候補地を絞り込む必要があると考える。

最後になるが、6年間・年2回のモニタリング調査では、様似町の商工観光課とアポイ岳ビターセンター、日高振興局の多くの方々による助力を得た。ここに記して、深い謝意を述べる。

引用文献

- アポイ環境科学委員会運営事務局編 2017. 特別天然記念物アポイ岳高山植物群落再生事業平成28年度実施報告書. 54p. 様似町
- アポイ環境科学委員会運営事務局編 2018. 特別天然記念物アポイ岳高山植物群落再生事業平成29年度実施報告書. 67p. 様似町
- アポイ岳環境科学委員会編 2019. 特別天然記念物アポイ岳高山植物群落再生事業平成30年度実施報告書. 116p. 様似町
- Braun-Blanquet, J. 1964. Pflanzensoziologie Grundzüge der Vegetationskunde. 3 Aufl. 865p. Springer, Wien, New York.
- 佐藤謙 2002. アポイ山塊の超塩基性岩地植生（□）植物研究史と 2001-2002 年における植生の現状. 北海学園大学学園論集, No. 114: 53-87.
- 佐藤謙 2003. アポイ山塊の超塩基性岩地植生（□）1994 年以前の状況. 北海学園大学学園論集, No. 116: 37-61.
- 佐藤謙 2007. 北海道高山植生誌. 688p. 北海道大学出版会. 札幌.
- 佐藤謙 2018. アポイ岳の特異な植物相と植生、それらの保全を考える. 様似郷土館紀要, No.1: 14-35.

様似町観音山風穴における冷風穴と温風穴の温度変化

Temperature changes of cold and warm funnels on algific talus slope in Mt.
Kan-non yama, Samani town, Hokkaido

澤田 結基¹・加藤 聰美²(Sawada Yuki・Kato Satomi)

1.はじめに

風穴には明確な定義がないが、ここでは清水(2015a)に従い、夏に山の斜面から天然の冷風が吹き出す穴、またはそうした現象を風穴とする。日本では甲信越地方を中心として300箇所以上の風穴が知られており、その多くが明治～大正期に天然冷蔵庫として利用され、主に蚕の卵(蚕種)の貯蔵に使われてきた(清水ほか:2015a)。

本州ほど養蚕業が盛んではなかった北海道では、蚕種貯蔵に使われた風穴は少ない。しかし、天然の風穴は、主に東大雪山域と北見山地に数多く分布することが知られている(図1)。それらの一部では、複数年にわたって凍結状態が続く状態、すなわち永久凍土の存在が確認されている(例えば澤田・石川:2002、曾根:1996)。また北海道内の風穴では、植生の垂直分布から大きくはずれた局所的な高山植物群落が形成されており(佐藤:1993)、生物多様性を支える重要なハビタットになっている(Wakui et al.: 2017)。

風穴は様似町の観音山でも最近発見されており、その植物相が記載されているが(高橋:2019)、温度の観測はこれまでに行われていない。観音山の風穴(以下、観音山風穴と呼ぶ)は、道内の他の風穴に比べて標高が低いうえ海岸に近く、相対的に温暖な気候環境下にある。温暖な気候環境下にある風穴で地温観測を行うことは、風穴に生じる局地的な永久凍土の気候的な分布限界を明らかにするうえで、重要な手掛かりになり得ると考えられる。

本報告は、観音山風穴において行った気温と風穴の温度観測の結果に基づき、風穴の温度変化の特徴を記載する。また、気温と温風穴の温度差に着目して、温風穴で生じる吸い込みと吹き出しを規定する斜面内部の温度の推定を試みる。

2.調査地域

調査地域は、様似町市街地の西側に位置する観音山の北向き斜面である(図1)。観音山には三角点や地形図上の標高点がなく正確な標高が不明であるが、国土地理院の10mメッシュ標高データに格納されている山頂付近の最高値は100.7mである。次に地質と地形について述べる。観音山はエンルム岬と同様、中期中新世に貫入した安山岩質の岩脈であり、 16.5 ± 0.8 Maの年代値が得られている(前田ほか:1990)。観音山の山頂付近には崩壊の進んだ柱状節理が露出しており、その下へ続く斜面には、柱状節理に特徴的な多角形の断面形状を保持した長径30-50cm程度の角礫が堆積してい

1. 福山市立大学 2. 様似町商工観光課

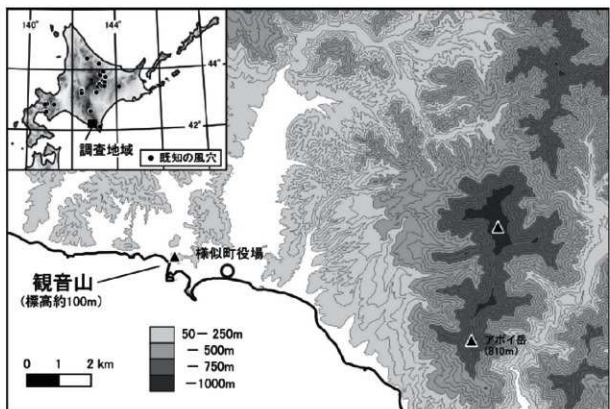


図1 調査地域 風穴の位置は清水（2015b）による

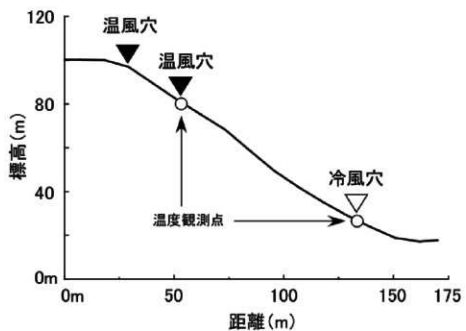


図2 温風穴と冷風穴の位置関係

る。角礫が堆積した斜面は全体として平滑であり、下部はやや緩く凹状を呈し、標高約20mで末端となる（図2）。斜面は主にミズナラ、ダケカンバからなる高木林に覆われるが、一部ではマトリックスを欠く角礫層が露出している。夏に低温現象がみられる範囲では高木林を欠き、マット状の蘚苔類が角礫層を覆っている（写真1）。

次に気候について述べる。本地域に近い浦河のアメダス観測点における平年値をみると、年平均気温8.0°C、最高気温は23.0°C、最低気温は-5.9°Cであった。これらの値は札幌に近く、道内では比較的温暖な気候環境にあるといえる。浦河における最深積雪の平年値は21cmで、冬季の降水量が少ない太平洋側の気候の特徴を示す。

3. 踏査による風穴の確認

風穴では、斜面内部の温度と外気温の温度差で空気対流が生じる。風穴が存在する斜面の上部には、外気温が低下する冬季に温風を吹き出す「温風穴」が分布することが知られている（澤田：2015）。この温風穴を確認できれば、観音山の異常低温現象が、空気対流で生じる風穴であることが確実となる。そこで、気温が下がる晩秋の2016年10月21日に、現地の踏査を行った。踏査では、異常低温地点のある斜面下部から上部へ移動しながら地表面を観察した。その結果、斜面の最上部に近い標高約80mの地点に、温風の吹き出しを確認した（写真2）。夕方16:50の調査時に吹き出していた風の温度は18.6°Cで、この日の外気温（浦河アメダス17:00の値5.7°C）に比べて相当高い状態にあった。吹き出しの周囲は湿っており、温度計の画面が結露で曇るほどであった。また2019年12月5日の踏査では、山頂付近（標高約100m）にあるチャシの遺構附近にも、明瞭な温風穴が存在することを確認した。

4. 観測方法

踏査によって確認した温風穴（標高約80m）と斜面下部にある冷風穴（標高約25m）の2か所に、サーミスタセンサーを接続した小型データロガー（ティアンドディ社製TR-52s、誤差±0.3°C）を設置し、60分間隔で空隙の気温観測を行った。センサーは、風穴内部の気温を直接測定できるよう岩の隙間に設置した。しかし、翌年のデータ回収時、冷風穴ではセンサーが動物にかじられており、データの記録ができなかつたことが判明した。そこで動物対策として、センサーを空隙付近の土壌に2cm埋



写真1 冷風穴の様子（2016年10月撮影）



写真2 温風穴の様子（2019年12月撮影）

設して測定を再開した。温風穴のロガーは動物の被害を受けることなく稼働したが、機器の不具合のため、2017年12月から2018年1月まで欠測が生じている。冷風穴に設置したセンサーの値は、融雪期にみられる水の相変化を示す0°Cの推移(ゼロカーテン現象)の値を用いて簡易的に補正を行った。

気温観測は、2017年6月10日に開始した。風穴の冷気の影響を受けないよう、風穴から約100m離れた東向き斜面上(標高30m)で観測を行った。日射の影響を避けるため、外周をアルミ箔で覆った直径50cmの塩化ビニール製パイプの中にセンサーを設置し、自然通風式で観測した。設置した高さは地表面から2mである。観測には、ティアンドディ社製の小型データロガーTR-51i(誤差±0.5°C)を用い、60分間隔でデータを取得した。

5. 冷風穴と温風穴の温度変化

冷風穴の温度は、夏季には約0~4°C一定、冬季には気温に同調した変化を示す。図3Aに、2017年7月から2018年10月までの浦河アメダスで観測された日降水量と日積雪量、図3Bに同期間における調査地点の気温、および冷風穴と温風穴の温度の変動を示す。冷風穴と温風穴の温度変化は、夏季と冬季でその変化パターンが異なる。以下に変化の詳細をまとめる。

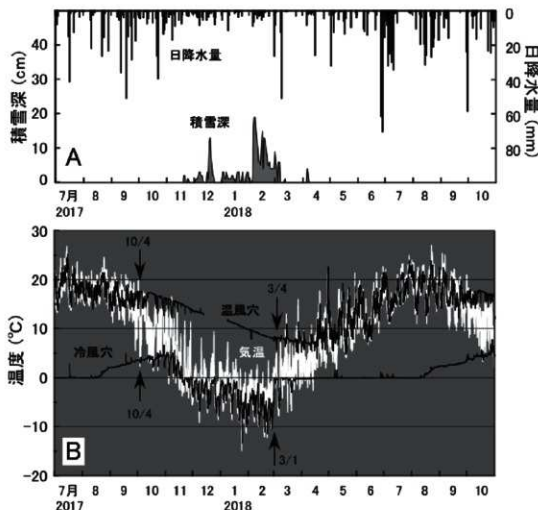


図3 浦河アメダスでの日降水量と日積雪量、観音山の気温、および冷風穴と温風穴の温度の変化

2017年夏季（7月～8月中旬）の冷風穴の温度は、降雨時に瞬間的な上昇を示すものの、0.0～0.1°Cの一定温度で推移した。8月下旬以降はゆるやかに上昇し、10月3日には3.5°Cに達した。10月4日（図3B矢印）には気温が2.5°Cまで低下したが、冷風穴の温度は、この気温低下に合わせて3.0°Cに低下した。この日を境に10月中旬は、冷風穴の温度よりも気温が低下すると気温に同調し、それよりも高いときは一定の温度帯（約5°C）に留まる非対称な変化を示した。11月より、冷風穴の温度は気温変化にほぼ同調するように推移した。気温が0°C以上へ上昇した3月1日（図3B矢印）には、冷風穴の温度は0°Cまで急上昇し、それ以降はほぼ0°Cの一一定水準で推移した。

温風穴の温度は、夏季に気温と同調し、冬季には約8～18°Cで一定となるパターンを持つ。2017年7月から9月中旬までは、ほぼ気温と同じ値で推移するが、9月中旬以降は、気温が変動する温度範囲のやや高温側をたどるようになる。10月4日の気温の急激な低下イベント（図3B矢印）では、気温の追跡から離れて一時的に17.6°Cまで上昇し、10月6日まで17.6～17.7°Cの一定温度で推移した。

10月7日には再び気温に同調的な変化へ戻ったが、気温が約5°C以下になると上昇する変化を繰り返し、11月初旬には一定温度での推移へ移行した。気温が約5°Cまで上昇した2018年3月4日以降（図3B矢印）は、気温が上昇すると気温変化に同調し、気温が低下すると一定温度へ戻るパターンの変化を繰り返した。その後、4月中旬には気温に同調する変化へと復帰した。

6. 風穴で生じる吹き出しと吸い込みの要因

冬季には冷風穴の温度が気温に同調し、夏季には温風穴の温度が気温に同調する温度変化は、斜面の空隙中で生じる空気対流で説明することができる。図4に、風穴のある斜面で生じる模式的な空気対流（澤田, 2009）を示す。この空気対流は、空隙の多い斜面内部の温度と外気温の温度差によって生じる。冬季には外気温が氷点下まで低下し、斜面内部の温度が外よりも高い状態になる。斜面内部の空気も暖かいため浮力によって上昇し、斜面の最上部から放出される。放出によって吹き出す空気は斜面内部の温度を反映して暖かく、一方、斜面の下部からは、吹き出した空気を穴埋めする補償流が生じ、外気が斜面内部へと吸い込まれる（図4A）。このため、斜面下部にある冷風穴の温度は、外気を追従するように変化する。この吸い込みによって斜面下部は冷却され、主に春季、そこで融雪水などの水が凍結することで斜面の空隙に氷が成長する。

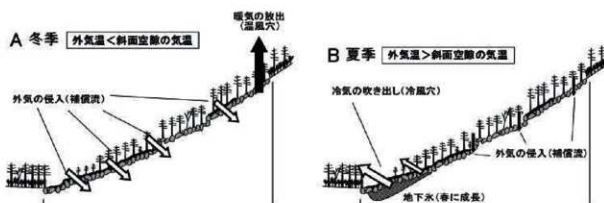


図4 風穴で生じる夏季と冬季の空気対流（澤田：2008）

夏季には空気の動きが冬季とは逆になり、冷風穴から冷気が吹き出し、温風穴からは外気が吸い込まれる。斜面下部の冷風穴から吹き出しが生じている間、温風穴では外気を吸い込んでおり、その温度は外気温と同調的に変化する。冷風穴から吹き出す冷気の温度は、斜面地下に形成された氷の影響を強く受ける。然別湖の南側にある西又ブカウシヌプリ山頂付近の風穴では、この氷が越年し、長期間にわたって蓄積することで永久凍土の状態が維持されている (Sawada : 2008)。観音山風穴の冷風穴でも夏季には 0~5°C でほぼ一定の温度が観測されており、地下空隙に氷が存在すると推定される。ただし、この氷が越年するかどうか、すなわち永久凍土の状態が存在するかは、冷風穴の温度だけでは判断が難しい。

7. 温風穴の温度変化からみた吹き出し・吸い込みの交替と気温の関係

前述の通り、風穴の空気対流は、外気温と斜面内部の温度差によって生じる。すなわち、斜面内部の温度が風穴の吹き出し・吸い込みを決定する重要なファクターとなる。曾根 (2015) は、置戸町鹿ノ子ダムの法面にある風穴において冷風穴の風速と空隙気温を観測し、風穴内部の温度より外気温が高いときに吹き出し、低いときに吸い込みが生じること、風穴内部の温度が季節変動することを示した。本研究では風穴の吹き出し・吸い込みの方向と風速は観測していないが、風穴で吸い込みが生じる時の温度には外気温と同調的な変化が生じることから、温度変化より吸い込み・吹き出しの入れ替わるタイミングを知ることが可能であると考えられる。そこで、温度変化を手がかりにして、温風穴が吸い込みから吹き出しに交替する様子を詳しく見ていく。

図 5 に、2017 年 8 月、10 月、12 月の、それぞれ 8 日間の外気温、温風穴、冷風穴の温度の推移を示す。8月初旬の 8 日間、気温は約 15~20°C で推移し、温風穴の温度は気温と同調的に変化している (図 5A)。こうした同調的な変化は、温風穴で吸い込みが特徴的に生じていることを示す。ただし、位相には 3~5 時間程度のずれがある。

気温が下がる 10 初旬 (図 5B) には、気温の低下に合わせて温風穴の温度が上昇し、一定温度で推移するパターンが現れる。温風穴の温度の上昇は、気温が約 13°C を下回った時に生じ (図 5B 矢印 1)、その後気温が約 15°C へ回復するまで (図 5B 矢印 2)、約 18°C で一定の状態を保っている。温風穴の気温上昇と一定温度での推移は、温風穴での空気の流れが吸い込みから吹き出しに変わったことを示唆する。すなわち、気温が斜面内部の温度よりも低下したために、斜面内部の空気が上昇し、温風穴は吸い込みから吹き出す状態に転じたと考えられる。吸い込みと吹き出しの交替は、斜面内部の平均温度に対する外気温の上下によって生じる (曾根、2015)。したがって、この時の斜面内部の平均温度は、温風穴が吹き出しに転じた時の気温である約 13°C と、温風穴が再び吸い込みに転じた時の気温 15°C の間にいると推定される。

冬季の 12 初旬 (図 5C) には、外気は約 -5~3°C で推移するのに対し、温風穴の温度は約 14°C で安定している。この安定状態は、温風穴から斜面内部にある相対的に暖かい空気が常に吹き出していることを示している。また、同時期の冷風穴では外気の吸い込みが生じているために、その温度が外気温の変化と同調すると考えられる。

8. 吸い込み・吹き出しを決定する斜面内部温度の推定

温風穴で生じる吸い込みと吹き出しの交替するタイミングは、前述の通り、秋季～冬季の温風穴の温度変化から推定可能であると考えられる。曾根 (2015) は、風穴で生じる吸い込みと吹き出しの変化を決める風穴内部の平均気温には季節変動があり、秋季から冬季にかけて次第に低下することを示し

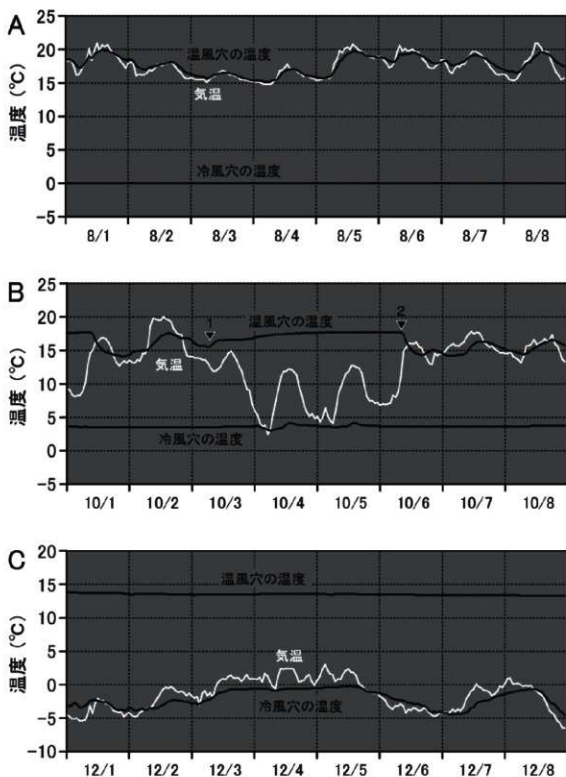


図5 2017年8月、10月、12月の月初8日間における気温、温風穴、冷風穴の温度変化

た。そこで、ここでは温風穴の温度が安定型（吹き出し）から気温追従型（吸い込み）へと変わるタイミングの気温の値を用いて、観音山風穴の内部平均温度の推定を試みる。図6に、2017年9月から11月までの気温と温風穴の温度、および温風穴の温度急低下イベントを示す。ここで温度急低下イベントとは、ほぼ一定値で推移していた温風穴の温度が気温の上昇するタイミングで急低下する現象を指し、吹き出しから吸い込みへの交替を示すと考えられる。

風穴の斜面内部の温度を推定するため、図6に温度急低下イベント発生時の気温と、その3時間前の気温をつなぐ棒をプロットした。3時間前から発生時までの気温をプロットしたのは、気温変化に対して風穴の循環系が反応するまでやや時間を要すると考えられるからである。イベント発生時の斜面の内部平均温度は、この気温の範囲内にある可能性が高い。

温風穴の温度急低下イベント発生時の気温は、ばらつきはあるものの、概ね同じ値域で揃う傾向がある（図6）。これらの値は、斜面の内部平均温度の粗い推定範囲になる。すなわち、斜面の内部平均温度は、10月には約8~15°C、11月には約6~11°Cの範囲にある可能性が高い。また、2つの値に挟まれた値域は、9月から11月へ進むにしたがって次第に低下する傾向を示す（図6）。この傾向は、吸い込みと吹き出しが生じる基準となる斜面の内部平均温度が、秋季から冬季へ向かって次第に低下していることを示すと考えられる。こうした内部平均温度の低下は、冷風穴から吸い込まれる外気によってもたらされるのであろう。

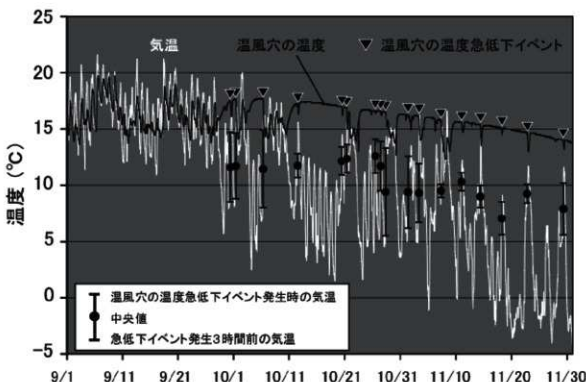


図6 2017年9~11月における気温と温風穴の温度変化、および温風穴の温度急低下イベント

9. 結論と今後の課題

様似町の観音山において斜面上部に温風穴、斜面下部に冷風穴を確認し、その空隙温度の通年観測を行った。その結果、次のことが明らかになった。

- 1) 夏季には冷風穴から吹き出し、温風穴から外気の吸い込みが、また冬季には温風穴で吹き出しが、冷風穴では吸い込みが生じる空気対流が起きていると考えられる。
- 2) 空気対流の方向は、夏季と冬季で逆転する。温風穴では冬季に吹き出し、夏季に吸い込みが生じており、その方向を決めるのは斜面内部の温度に対する外気温の高低である。
- 3) 吹き出し・吸い込みの交替が生じるタイミングでの気温の値から、観音山風穴の斜面の内部平均温度は2017年10月には約8~15°Cの範囲にあり、嚴冬期に向かって次第に低下したと考えられる。

季節によって冷風穴・温風穴それぞれで吸い込みと吹き出しが入れ替わる空気対流は、国内各地の風穴で観測されている（例えば田中ほか：2004、曾根：2015、永井・和泉：2015、鳥湯：2015）。これらの研究では、風穴から生じる吸い込み、および吹き出しの風速や風向が観測されている。観音山風穴でも、特に秋季の風速と風向の観測を行うことにより、風穴の空気対流の構造をより精緻に明らかにできるであろう。

また、観音山の冷風穴で生じる吹き出しの温度は約0~5°Cの範囲にあり、夏季において地下に凍土が存在することは確実である。この凍土が季節的なものなのか、あるいは永久凍土なのかを確認するためには、地下の地温プロファイルの測定が必要である。こうした観測を行うことで、北海道内に分布する局地的な永久凍土との対比が可能になるだろう。

謝辞

様似町役場商工観光課の皆様には、現地を案内していただき、また調査の便宜を図っていただいた。厚く御礼申し上げる。

参考文献

- 佐藤謙 1995『北海道の風穴植生概説』、ひがし大雪博物館研究報告、第17巻、pp107~115
澤田結基・石川守 2002『北海道・西ヌブカウシヌプリにおける岩塊斜面の永久凍土環境』、地学雑誌、第111巻、pp555~563
澤田結基 2008『東大雪』、地形がわかるフィールド図鑑、青木正博・日代邦康・澤田結基編、誠文堂新光社、pp24~29
清水長正 2015a『日本の風穴—その研究と過去の利用、現在から未来への利活用をめぐって』、日本の風穴、清水長正・澤田結基編、古今書院、pp2~22
清水長正 2015b『全国自然風穴一覧表』、日本の風穴、清水長正・澤田結基編、古今書院、pp272~277
曾根敏雄 1996『北海道置戸町鹿ノ子ダム、鹿ノ子大橋左岸の永久凍土の衰退』『季刊地理学』第48巻、pp293~302
曾根敏雄 2015『風穴風の吹き出しと吸い込み』、日本の風穴、清水長正・澤田結基編、古今書院、pp92~101
高橋竜 2019『様似町観音山の植物』、観音山植物（維管束植物とコケ類等）調査報告書、様似町、pp1~19
田中博・村規子・野原大輔 2004『福島県下郷町中山風穴における風穴循環の成因』、地理学評論、第77号、1~18
鳥湯幸男 2015『大館の風穴』、日本の風穴、清水長正・澤田結基編、古今書院、pp78~91

- 永井翼・和泉薰 2015 『草津・水谷風穴での観測』, 日本の風穴, 清水長正・澤田結基編, 古今書院, pp102–108
- 前田 仁二郎・宮坂省吾・池田保夫・末武晋一・戸村誠司・河内晋平・松井愈 『北海道中央部の第三紀進入岩類のK-Ar年代と火成活動の時空変遷』, 地球科学, 第 44 卷, pp231~244
- Sawada, Y. 2008 『Origin and Age of Perennial Ice within a Block Slope in Shikaribetsu Mountains, Hokkaido, Japan』. Proceedings of 9th International Conference on Permafrost, Fairbanks (USA.), Vol. 2, pp1577–1582
- Wakui, A., Sueyoshi, M., Shimokawabe, A., Kudo, G., Morimoto, J., and Nakamura, F. 2017 『Environmental factors determining the distribution of highland plants at low-altitude aligic talus sites』. Ecological Research, 32, pp183-191

平成30年度様似町冬島遺跡発掘調査報告

(The excavation report of the Fuyushima site in SAMANI, Japan)

高橋 美鈴¹ (TAKAHASHI Misuzu)

1. 調査要項

遺跡名	冬島遺跡(登載番号 K-08-11)
発掘主体者	様似町教育委員会
調査の目的	詳細分布調査
調査期間	平成30年8月3日～6日（令和元年5月13日～6月24日）
所在地	様似町様似町字冬島39
調査面積	16.25 m ²

2. 調査体制

教育長	荒木輝明
生涯学習課	課長 秋山寛幸
	参事 川口達也
	主幹 児玉正敏
学芸員	高橋美鈴(発掘担当者)

3. 遺跡概要

本遺跡は、北海道日高管内様似町冬島地区に所在し、冬島川とポンサヌシベツ川に挟まれた標高38m前後の海岸段丘上に立地する(図1)。本遺跡の存在は古くから知られ、昭和40年代には、元静内高校教諭であった藤本英夫氏の指導のもと、発掘調査が実施されており、日高町門別富仁家墳墓群(北海道指定史跡)や浦河町白泉遺跡との類似性が指摘されている。また、昭和56年には、様似高校教諭であった小柳正夫氏の指導のもと、様似高校郷土史研究クラブ・様似町郷土史研究会が主体となって発掘調査を実施している。この時の調査では、堅穴住居跡が1軒、小型のピットが数基確認されるとともに、獸骨がまとめて出土している。

これらの調査記録や様似町立様似郷土館で保管されている発掘資料から統縄文化期初頭の遺跡の可能性が高いと考えられる。

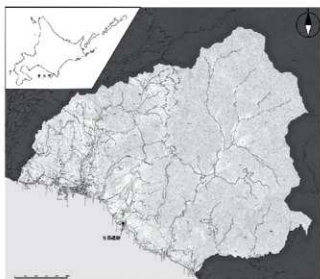


図1 冬島遺跡位置図(国土地理院5万分の1に加筆)

1. 様似町教育委員会

4. 調査概要

様似町教育委員会では、一部耕作による搅乱等を受けているもののそれ以外の範囲については遺跡が良好に残存されていることから、平成 26~28 年度の 3 か年で遺跡の性格や範囲の確認を目的とする発掘調査を実施した。

平成 30 年度調査では、平成 28 年度調査地点を基準とし、そこから東方向の遺跡範囲を確認する目的で $2m \times 1m$ 程度のテストピットを 8か所設定し、調査を実施した(図2、3)。また、テストピット 1 は平成 30 年度で完掘できなかったため、III層以下については令和元年度に引き続き調査を実施した。本報告では、令和元年度の継続調査も併せて報告することとし、本節で報告する遺物は本書に収録の「令和元年度様似町冬島遺跡発掘調査報告」の報告分とは区分される。

基本土層は、I 層：表土、II 层：黒色土、III 层：暗褐色土、IV 层：黒色土、V 层：漸移層、VI 层：黄褐色土である。遺物は II 层から IV 层にかけて出土し、III 层は獸骨・魚骨を多く含み、人為的な堆積と考えられる(図4)。

5. 調査の方法

(1) 調査区の設定

平成 28 年度調査地点から東西方向の遺跡の広がりを確認する目的で、下記のとおりトレントを設定し。トレントは、平成 28 年度調査地点を起点とし、東方向に順に発掘区名を付した(TR1 ~ 7)。

本年度では、これらのトレントの内 TR1、3、5、7、8 の調査を実施した。また、起点から西側にもトレント 1 か所を設けた(TR8)。各テストピットは以下のとおりである。

トレント名	長軸×短軸	調査	トレント名	長軸×短軸	調査
TR1	4m×2m	実施	TR5	2m×1m	実施
TR2	2m×1m		TR6	2m×1m	
TR3	2m×1m	実施	TR7	2m×1m	実施
TR4	2m×1m		TR8	1.5m×1.5m	実施

(2) 包含層調査

表土～V 层まで随時精査しながら人力で掘削をおこない、構造・遺物の検出に努めた。また、掘り下げは、遺物の出土量によって移植ゴテやショレン、スコップを使い分けた。獸・魚骨を多く含む箇所については土壤ごと取り上げ、後日本洗選別を実施した。

(3) 整理の方法

一次整理

水洗・分類・注記をおこなった。注記は土器小片・石器小片を除く全ての遺物に対しておこなった。また、遺構出土のものは略称と番号の間にハイフンを入れて調査区名と区別した。

年度	遺跡名	トレント名	遺構名	層位	資料番号
(遺構出土遺物例)	H30	フユ	TR1	P-1	
(包含層出土遺物例)	H30	フユ	TR1		

二次整理

出土遺物を様似郷土館に持ち帰り、遺物カード作成・遺物台帳作成・土壤の水洗選別を実施した。

水洗選別には、ステンレス製のふろい(メッシュ 1mm、2mm、4mm)を使用した。

遺物の整理

土器については縄文土器を I ~ V 群、統繩文土器を VI 群に大別し、下記の分類基準を用いて行った。

I 群：縄文時代早期に属する土器群（今回は出土していない）

II 群：縄文時代前期に属する土器群（今回は出土していない）

III 群：縄文時代中期に属する土器群（今回は出土していない）

IV 群：縄文時代後期に属する土器群（今回は出土していない）

V 群：縄文時代晚期に属する土器群

VI 群：統繩文文化期に属する土器群

収納・保管

出土遺物は、掲載遺物と非掲載遺物に区分し、コンテナに収納した。コンテナには、調査年度・遺跡名・遺物名などの情報をラベル表記した。

6. 調査の内容

(1) 調査結果の概要

平成 30 年度調査の遺構は、TR1 から土坑(略称 P)2 基、炭化物集中 1 箇所を検出した。

平成 30 年度調査での、遺物出土総数は 7,011 点であった（表 1）。出土地点の内訳は、TR1 が 6,834 点、TR3 が 32 点、TR5 が 93 点、TR7 が 12 点、TR8 が 40 点で、遺物の 95%以上が TR1 からの出土である（表 3）。

土器は、1,157 点が出土し、時期別には、V 群 4 点、VI 群 501 点、その他分類不明が 652 点であった（表 4）。

石器は剥片石器が 5,669 点、礫石器が 45 点の計 5,714 点で、出土地点の内訳は、TR1 が 5,582 点、TR3 が 24 点、TR5 が 84 点、TR7 が 11 点、TR8 が 13 点であった。器種別では、石鏃 25 点、両面調整石器 25 点、スクレイバー 4 点、R フレイク 11 点、フレイク 5,591 点、搔器 1 点、石匙 2 点、微細剝離痕のある剥片が 3 点、棒状原石 1 点、砥石 4 点、礫 36 点、加工痕のある礫 5 点であった。水洗選別により微細なフレイクが回収できることから、フレイクが石器全体の 90% を占め、黒曜石製のものが主体である（表 5）。

獸・魚骨は 136 点、骨角器は 4 点であった。いずれも TR1 からの出土である。獸・魚骨については直径が 2 cm 以上を集計し、それ以下は細片として扱い点数集計に含めず、重量のみ計測した。

令和元年度調査では、遺物出土総数が 3,439 点であり、内訳は土器 838 点、剥片石器 915 点、礫石器 3 点、獸・魚骨 735 点、炭化材 30 点であった。石器の内訳は、石鏃 7 点、フレイク 890 点、微細剝離のある石器 5 点、搔器 1 点、有柄ナイフ 2 点であった（表 2）。

(2) 遺構調査

トレンチ (TR) 1

P-4 (図 5)

規模 : 70cm × (53)cm × 62 cm / 長軸 × 短軸 × 深さ

調査・特徴：Ⅲ層上面に黒色土の落ち込みを確認し、トレンチを入れて堆積状況を確認したところ、黒色土の落ち込みから少し西側にずれたところでⅢ層の落ち込みを検出した。半裁して堆積状況を確認したところ坑底面を検出した。坑底面は円形で、掘り込み面は急角度に立ち上がる。

遺物出土状況：出土遺物は、覆土から 3,383 点が出土した。内訳は土器 430 点、剥片石器 2,872 点、礫石器・礫 46 点、骨角器 2 点、獸骨・魚骨 35 点などである（表 2、6）。また、覆土内から多くの獸・魚骨が確認されたことから、土壤を持ち帰り水洗選別を実施した。持ち帰った土壤の重量は 191.378kg で回収された骨類の総重量は 3.903kg である。図版 2-2-1 は口縁部が波状に起伏しており、口唇部は外側に反り、口唇下部に縄線文、胴部に平行沈線文と横位の波状沈線文を施す。図版 2-2-2 は石鎌で基部が平坦である。

また、覆土内から骨角器 1 点が出土した（図版 2-2-3）。閉窓式彫頭鉶で、中心部に横方向の穿孔があり、基部には 3 本の燕尾状の突起がみられる。

時期：覆土内の遺物から縄文時代晩期～統縄文文化期初頭と考えられる。

P-5 (図 3)

規模：60cm×60cm×(20)cm /長軸×短軸×深さ

調査・特徴：Ⅲ層から大型海生哺乳類と思われる獸骨を確認し、さらに獸骨の下位に下面に扁平の大型礫を検出した。坑底面は平坦で、掘り込みは浅い。

遺物出土状況：覆土から 15 点が出土した。内訳は土器 1 点、剥片石器 7 点、獸骨・魚骨 7 点である。

時期：Ⅲ層内から検出されており、周辺の遺物から縄文時代晩期～統縄文文化期初頭と考えられる。

炭化物集中 1 (図 3)

規模：90cm×50cm /長軸×短軸

調査・特徴：Ⅲ層最下部から炭化物のまとまりが確認された。直下のVI層には焼けた痕跡はなく、廃棄されたものと考えられる。

時期：付近の遺物から、統縄文文化期初頭と考えられる。

(3) 包含層調査

TR 1 の出土遺物総数は 5,957 点である。この内、平成 30 年度の包含層の出土遺物点数は 3,525 点で、内訳は土器 710 点、剥片石器 2,668 点、礫石器・礫 20 点、骨角器 2 点、獸骨・魚骨 125 点である。令和元年度の包含層遺物点数は 2,432 点で、内訳は土器 809 点、剥片石器 886 点、礫石器 3 点、獸・魚骨 704 点である。水洗選別では、平成 30 年度調査でⅢ層の土壤 101.850kg を採取し、獸骨・魚骨計 2,153kg を回収した。これらについては、8 項で別途報告する。令和元年度調査分については現在、選別作業をおこなっていることから、別稿で報告をすることとしたい。

TR 1 の土器は平成 30 年度、令和元年度合わせて 1,519 点が出土した。図版 2-1-1 は口縁部で、口唇部には刺突文と沈線文、胴部に縄文を施す。剥片石器は 2 ヶ年で 3,554 点が出土した。石器は平成 30 年度、令和元年度合わせて剥片石器が 3,531 点、礫石器・礫が 23 点である。多くはフレイクで、主な石材は黒曜石である（表 7）。図版 2-1-2 は石鎌で、基部は平坦で抉りはない。図版 2-1-3, 4 は骨角器である。3 は開窓式彫頭鉶の尖頭部破片で、先端に向かい湾曲し、中腹にくびれがあり、腹面に抉りが入る。4 はシカの尺骨を用いた加工品で、先端部がヘラ状に整形されている。

TR 1 では調査区全体で、人為的な堆積であるIII層がVI層の黄褐色土の直上に認められた。掘り込みを示す箇所は不明瞭であり、極めて浅い掘り込みもしくは遺跡南部の斜面地形に沿ってながらかに土地の造成をし、その後に人為的に廃棄をおこなったと考えられる。

TR 3 の出土遺物総数は 32 点で、内訳は土器 8 点、石器 24 点である。I 層出土遺物は、分類不明土器 2 点と黒曜石製のフレイク 12 点、石鏃 1 点、両面調整石器 1 点、頁岩製のフレイク 9 点が出土している。III層からは、分類不明土器 6 点と黒曜石製両面調整石器 1 点が出土している。遺物包含層であるIII層は殆どが現代の造成により消失しており、一部で I 層下位に僅かに確認できたのみである。

TR 5 の出土遺物総数は 93 点で、内訳は土器 9 点、剥片石器 82 点、礫石器 2 点である。I 層出土遺物は、土器が VI 層のものが 2 点、V 層と思われるものが 1 点、分類不明が 6 点である。石器は黒曜石製フレイクが 65 点、頁岩製フレイクが 8 点、黒曜石製両面調整石器 1 点、頁岩製両面調整石器 1 点である。III層では黒曜石のフレイク 7 点が出土している。遺物包含層であるIII層が部分的に僅かに残るも大部分が現代の造成により消滅していた。

TR 7 の出土遺物総数は 12 点で、内訳は土器 1 点、剥片石器 9 点、礫石器 2 点である。

TR 8 の出土遺物総数は 40 点で、内訳は土器 27 点、剥片石器 13 点である。TR 7、8 出土遺物については、全て I 層からの出土しており、包含層は現代の造成で消失していた。

上記したトレーナー調査結果から、TR 1 から東部の遺物包含層は大部分が消失していると考えられる。また、過去の調査状況から TR 1 から西側については遺物包含層が良好に残存していると思われるが、TR 8 の調査状況から残存箇所は TR 1 の範囲から南側に限定されるようである。

表 1 平成 30 年度出土遺物一覧

器種/層位	TR1		TR3		TR5		TR7		TR8		計
	遺構	包含層	遺構	包含層	遺構	包含層	遺構	包含層	遺構	包含層	
土器	402	710		8		9		1		27	1157
剥片石器	2871	2668	0	24	0	82	0	9	0	13	5667
石核	8	15		1						25	
石破											0
両面調整石器	9	10		2		2		1		1	25
石器											0
スクレイパー											4
Rフレイク	2	7						1		1	13
フレイク	2851	2621	21		80		7		11	5591	
石核											4
磨製石斧											0
ビミミ・ヌヌヌ											0
猪器											1
つまみ付ナイフ											0
石丸	1	1								2	
両面削除加工された丸											3
帶状黒石											1
礫石器・礫	23	20	0	0	0	2	0	2	0	0	47
砂石											4
加工痕のある骨											0
骨	23	11				2		2			38
不明		5									5
歯骨・魚骨	11	125									136
骨角器	2	2									4
その他											0
合計	3309	3525	0	37	0	93	0	12	0	40	7013
統計	6834		32		93		12		40		7013

表 2 令和元年度 TR 1 遷構出土遺物一覧

器種/層位	TR1			P-4		計
	I	III	春土	P-4	春土	
土器	489	320	29	838		
剥片石器	258	628	29	915		
石鏃	3	4	0	7		
石椎	0	0	0	0		
両面調整石器	3	4	0	7		
石錐	0	0	0	0		
スクレイパー	0	0	0	0		
Rフレイク	3	0	0	3		
フレイク	244	618	28	890		
石核	0	0	0	0		
磨製石刀のあら石頭	3	2	0	5		
磨製石斧	0	0	0	0		
ヒミミ・ヌヌヌ	0	0	0	0		
猪器	1	0	0	1		
つまみ付ナイフ	0	0	0	0		
有柄ナイフ	1	0	1	2		
礫石器・礫	3	0	0	3		
硯石	0	0	0	0		
石のこ	3	0	0	3		
硯	0	0	0	0		
石製品	0	0	0	0		
歯骨・魚骨	17	687	31	735		
骨角器	0	0	0	0		
その他	0	0	0	0		
合計	767	1665	89	3439		
統計	2432					

表3 平成30年度TR1～TR8包含層出土遺物一覧

表4 平成30年度出土土器分類一覧

分類	TR1		TR3		TR5		TR7		TR9		TR11		
	清酒	包含網 I型 II型	清酒	包含網 I型 II型	清酒	包含網 I型 II型	清酒	包含網 I型 II型	清酒	包含網 I型 II型	清酒	包含網 I型 II型	
V型	116	22	0	0	0	0	1	0	0	0	0	0	4
VI型	114	148	225	0	0	0	0	0	0	0	11	0	50
不明	286	107	229	0	2	6	0	6	0	0	0	16	0
合計	1112	22	8	9	1	1	27	1	27	1	1157	0	1157

表5 平成30年度TR1～TR8包含層出土石器の石材別一覧

表6 平成30年度TB1遺構出土遺物一覧

種類	測定用箇所										測定用箇所	測定用箇所	測定用箇所	測定用箇所	測定用箇所	
	右脚	左脚	両側頭部	右脚	左脚	右脚	左脚	右脚	左脚	右脚						
上部 右脚 左脚 集合計	402	8	9	27	2844						1	2844	22	23	4	2
下部 右脚 左脚 集合計	354	8	7		2841						1	2857	21	21	2	2
覆土中層 右脚	17		2		1						3					20
覆土上層 右脚	25				1						1					26
覆土上面層 右脚	1		1		1						2	1	1	4		7
樹木 右脚	3		1		1						1	1	1	1		4
樹木 左脚	2		1		1						1	1	1	1		4
樹木 集合計	5		2		2						1	1	1	1		4
樹木上層 右脚	1		1		1						1	1	1	1		4
樹木上層 左脚	1		1		1						1	1	1	1		4
樹木上層 集合計	2		2		2						1	1	1	1		4
樹木下面層 右脚	402	8	9	9	9	9	9	9	9	9	3	2871	22	23	11	2
樹木下面層 左脚	354	8	7	7	7	7	7	7	7	7	3	2857	21	21	11	2
樹木下面層 集合計	756	8	7	16	16	16	16	16	16	16	6	5728	43	44	22	4

表7 平成30年度TR1遺構出土石器の石材別集計

石材/石種	剥片石器										裸石器・塊 加工痕 のある裸 石器 集計	總計	
	石 英	石 槍	河 石	石 鎗	ス ク レ イ バ	R フ レ イ ク	フ レ イ ク	石 核	磨 製 石 斧	種 基	つ ま み 付 ナ イ フ		
黒曜石		7			2	2724						2733	0 2733
頁岩		1					124				1	126	0 126
砂岩											0	7	7 7
メノウ							3				1		0 1
緑色泥岩											0	1	1 1
軽石											0	1	1 1
斑れい岩											0	1	1 1
チャート							3				1		0 1
赤鉄鉱												2	2 2
不明					1			1			2	11	11 13
統計	0	0	9	0	0	2	2851	0	0	0	0	1 2863	23 0 23 2886

表8 掘載土器一覧

掲載番号	図版	器種・名称	遺構・発掘区	層位	大きさ			時期	状態
					口径	底径	器高		
-	2-1-1	鉢	TR1	田	-	-	-	統織文前半	
-	2-2-1	深鉢	P-4	フクド	-	-	-	統織文前半	

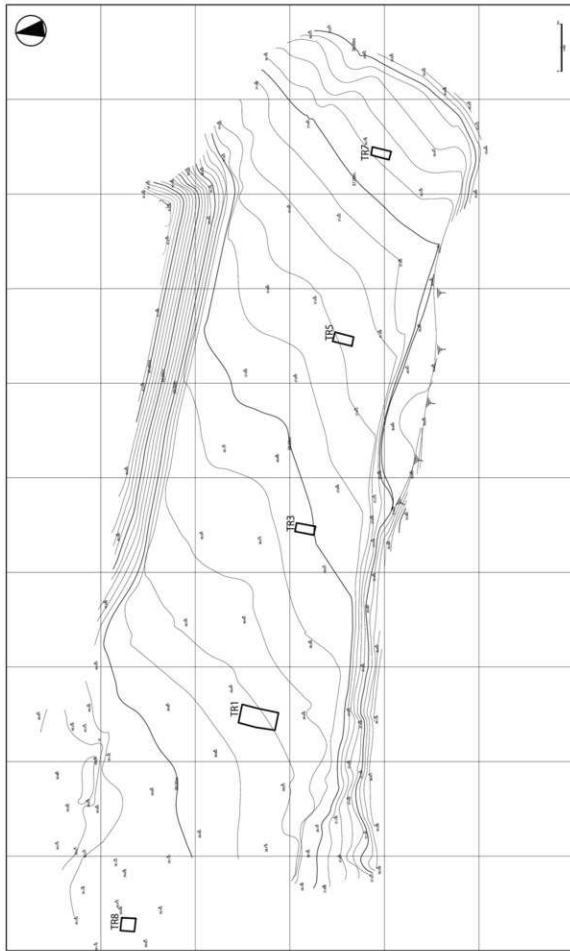
表9 掘載石器一覧

掲載番号	石種・名稱	遺構・発掘区	層位	大きさ(cm)			重量(g)	石材	状態
				長さ	幅	厚さ			
神因	田版								
-	2-1-2	石顎	TR1	田	2.0	1.8	0.2	1.0	黒曜石
-	2-2-2	石顎	P-4	フクド	2.0	1.4	0.3	1.0	黒曜石

表10 掘載骨角器一覧

掲載番号	器種・名称	遺構・発掘区	層位	大きさ(cm)			重量(g)	石材	状態
				長さ	幅	厚さ			
神因	田版								
-	2-1-3	頭骨	TR1	田	3.5	1.1	6.5	1.5	
-	2-1-4	加工品	TR1	田	9.6	4.9	2.3	22.5	
5-1	2-2-3	頭骨	P-4	フクド	6.3	1.3	1.5	3.5	

図2 連絡位置図



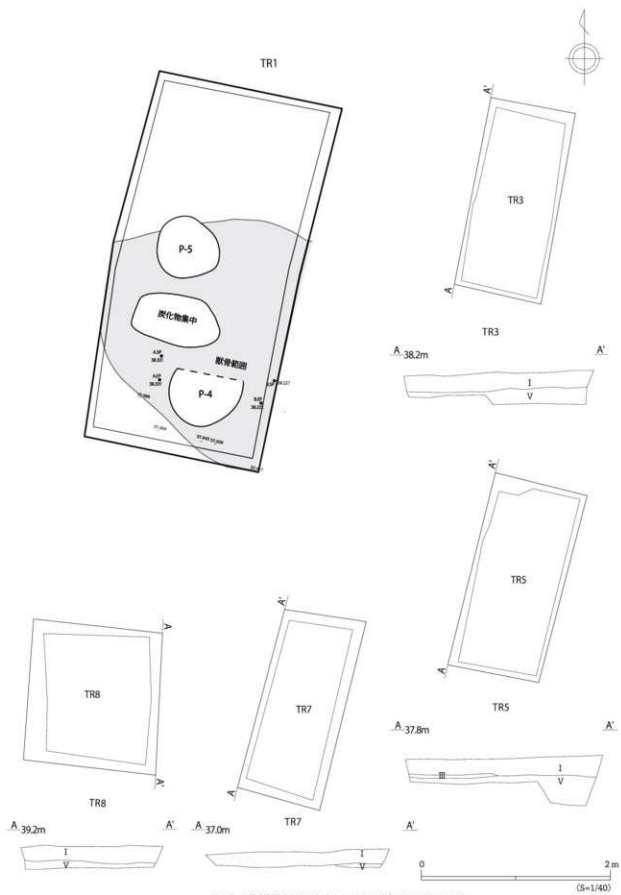


図3 遺構位置図・各レンチ断面図 ($S=1/40$)

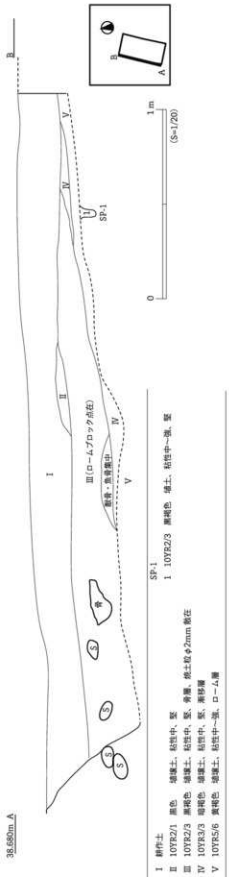


図4 メインセクション(5=1/20)

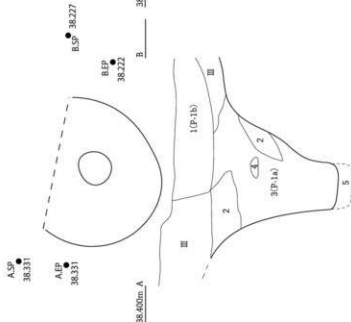
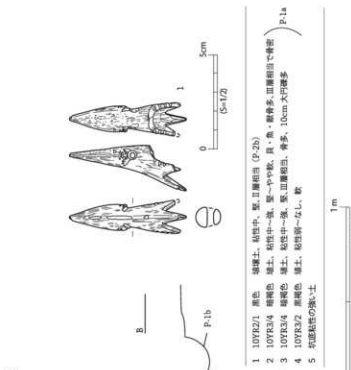


図 5 P=4(S=1/20)と出力遭物(S=1/2)



5-1/20

7. 放射性炭素年代測定

バレオ・ラボ AMS 年代測定グループ

伊藤 茂・佐藤正教・廣田正史
山形秀樹・Zaur Lomtadze・竹原弘展

1. はじめに

様似町字冬島に所在する冬島遺跡より出土した獸骨について、加速器質量分析法（AMS 法）による放射性炭素年代測定を行った。

2. 試料と方法

測定試料 3 点の情報、調製データは表 1 のとおりである。

3 点いずれも TR1 の III 層より出土したエゾシカの骨で、試料 No. 1 (PLD-38235) は成獣の左脛骨遠位部、試料 No. 2 (PLD-38236) は若獣の右肩甲骨、試料 No. 3 (PLD-38237) は右上腕骨遠位部である。

表1 測定試料および処理

測定番号	遺跡データ	試料データ	前処理
PLD-38235	試料No. 1 出土地點：TR1 層位：III層	種類：骨（エゾシカ、成獣） 部位：左脛骨遠位部 状態：dry	超音波洗浄 有機溶剤処理：アセトン コラーゲン抽出
PLD-38236	試料No. 2 出土地點：TR1 層位：III層	種類：骨（エゾシカ、若獣） 部位：右肩甲骨 状態：dry	超音波洗浄 有機溶剤処理：アセトン コラーゲン抽出
PLD-38237	試料No. 3 出土地點：TR1 層位：III層	種類：骨（エゾシカ） 部位：右上腕骨遠位部 状態：dry	超音波洗浄 有機溶剤処理：アセトン コラーゲン抽出

獸骨に対して、超音波洗浄とアセトン洗浄を行った後、コラーゲンを抽出した。抽出したコラーゲンは、放射性炭素年代測定用と炭素と窒素の含有量測定用に分けた。

放射性炭素年代測定では、試料を調整後、加速器質量分析計（バレオ・ラボ、コンパクト AMS : NEC 製 1.5SDH）を用いて測定した。得られた ^{14}C 濃度について同位体分別効果の補正を行った後、 ^{14}C 年代、曆年代を算出した。

炭素と窒素の含有量測定では、試料をスズコンテナに封入し、EA(元素分析装置)である Flash EA1112 (Thermo Fisher Scientific 社製) を用いて、炭素含有率（%）と窒素含有率（%）を測定した。得られた炭素含有率と窒素含有率に基づいて C/N 比（モル比）を算出した。

3. 結果

表 2 に、コラーゲン抽出の際に記録した骨重量に対する抽出したコラーゲン重量（コラーゲン含有率：%）、炭素と窒素の含有量測定に用いた試料量（分析重量）、炭素含有率、窒素含有率、C/N 比を示す。

表2 コラーゲン抽出結果と炭素含有率、窒素含有率、炭素窒素比

測定番号	コラーゲン含有率 (%)	分析重量 (mg)	炭素含有率 (%)	窒素含有率 (%)	C/N ratio (atomic ratio)
PLD-38235	7.61	3.44	44.1	14.8	3.47
PLD-38236	9.53	4.32	38.4	12.5	3.58
PLD-38237	5.20	2.74	44.0	14.8	3.47

表3 放射性炭素年代測定および曆年較正の結果

測定番号	$\delta^{13}\text{C}$ (‰)	曆年較正用年代 (yrBP $\pm 1\sigma$)	^{14}C 年代 (yrBP $\pm 1\sigma$)	^{14}C 年代を曆年年代に較正した年代範囲	
				1σ 曆年年代範囲	2σ 曆年年代範囲
PLD-38235 試料No. 1	-21.53 \pm 0.26	2444 \pm 22	2445 \pm 20	735-689 cal BC (22.5%) 662-648 cal BC (6.2%) 546-476 cal BC (33.0%) 462-456 cal BC (1.7%) 445-431 cal BC (4.7%)	750-683 cal BC (27.0%) 668-639 cal BC (9.2%) 590-410 cal BC (59.2%)
PLD-38236 試料No. 2	-21.42 \pm 0.27	2860 \pm 22	2860 \pm 20	1071-1066 cal BC (1.9%) 1056- 977 cal BC (66.3%)	1112-973 cal BC (90.0%) 958-940 cal BC (5.4%)
PLD-38237 試料No. 3	-22.56 \pm 0.28	2409 \pm 21	2410 \pm 20	507-502 cal BC (3.9%) 490-410 cal BC (64.3%)	727-718 cal BC (1.3%) 705-695 cal BC (1.7%) 542-403 cal BC (92.3%)

表3に、同位体分別効果の補正に用いる炭素同位体比 ($\delta^{13}\text{C}$)、同位体分別効果の補正を行って曆年較正に用いた年代値と較正によって得られた年代範囲、慣用に従って年代値と誤差を丸めて表示した ^{14}C 年代、図1に曆年較正結果をそれぞれ示す。曆年較正に用いた年代値は下1桁を丸めていない値であり、今後曆年較正曲線が更新された際にこの年代値を用いて曆年較正を行うために記載した。

^{14}C 年代は AD1950 年を基点にして何年前かを示した年代である。 ^{14}C 年代 (yrBP) の算出には、 ^{14}C の半減期として Libby の半減期 5568 年を使用した。また、付記した ^{14}C 年代誤差 ($\pm 1\sigma$) は、測定の統計誤差、標準偏差等に基づいて算出され、試料の ^{14}C 年代がその ^{14}C 年代誤差内に入る確率が 68.2% であることを示す。

なお、曆年較正の詳細は以下のとおりである。

曆年較正とは、大気中の ^{14}C 濃度が一定で半減期が 5568 年として算出された ^{14}C 年代に対し、過去の宇宙線強度や地球磁場の変動による大気中の ^{14}C 濃度の変動、および半減期の違い (^{14}C の半減期 5730 土 40 年) を較正して、より実際の年代値に近いものを算出することである。

^{14}C 年代の曆年較正には OxCal4.3 (較正曲線データ : IntCa13) を使用した。なお、 1σ 曆年年代範囲は、OxCalの確率法を使用して算出された ^{14}C 年代誤差に相当する 68.2% 信頼限界の曆年年代範囲であり、同様に 2σ 曆年年代範囲は 95.4% 信頼限界の曆年年代範囲である。カッコ内の百分率の値は、その範囲内に曆年年代が入る確率を意味する。グラフ中の縦軸上の曲線は ^{14}C 年代の確率分布を示し、二重曲線は曆年較正曲線を示す。

4. 考察

骨コラーゲンの C/N 比は、2.9~3.6 の範囲に収まるとされる (DeNiro, 1985)。今回測定した 3 点の試料は、いずれもこの範囲に収まっていた。また、コラーゲン含有率は、5.20~9.53% と比較的高

い。したがって、今回測定したコラーゲンは、深刻な劣化や変質を被っておらず、外来炭素による汚染の可能性も低いと考えられる。

以下に、測定結果を試料 No. の順に示す。土器編年と ^{14}C 年代との対応関係は、工藤（2012）、大沼（2008a, b）、臼杵・出穂編（2005）を参照した。

試料 No. 1 (PLD-38235) は、 ^{14}C 年代が 2445 ± 20 ^{14}C BP、 2σ 暗年代範囲（確率 95.4%）が 750-683 cal BC (27.0%)、668-639 cal BC (9.2%)、590-410 cal BC (59.2%) であった。

試料 No. 2 (PLD-38236) は、 ^{14}C 年代が 2860 ± 20 ^{14}C BP、 2σ 暗年代範囲が 1112-973 cal BC (90.0%) および 958-940 cal BC (5.4%) であった。

試料 No. 3 (PLD-38237) は、 ^{14}C 年代が 2410 ± 20 ^{14}C BP、 2σ 暗年代範囲が 727-718 cal BC (1.3%)、705-695 cal BC (1.7%)、542-403 cal BC (92.3%) であった。

試料 No. 2 (PLD-38236) は紀元前 12 世紀後半～10 世紀前半、試料 No. 1 (PLD-38235) と試料 No. 3 (PLD-38237) は紀元前 8 世紀後半～5 世紀末頃の範囲を示した。試料 No. 2 (PLD-38236) は縄文時代晩期中葉、試料 No. 1 (PLD-38235) と試料 No. 3 (PLD-38237) は縄文時代晩期後葉～統縄文寺時代初頭に相当する。

引用・参考文献

- Bronk Ramsey, C. (2009) Bayesian Analysis of Radiocarbon dates. Radiocarbon, 51(1), 337-360.
- DeNiro, M. J. (1985) Postmortem Preservation and Alteration of *in vivo* Bone Collagen Isotope Ratios in Relation to Palaeodietary Reconstruction. Nature, 317, 806-809.
- 工藤雄一郎 (2012) 旧石器・縄文時代の環境文化史—高精度放射性炭素年代測定と考古学—, 373p, 神泉社。
- 中村俊夫 (2000) 放射性炭素年代測定法の基礎. 日本先史時代の ^{14}C 年代編集委員会編「日本先史時代の ^{14}C 年代」: 3-20, 日本第四紀学会。
- 大沼忠春 (2008a) 幌舞式土器・小林達雄編「総覧縄文土器」: 700-707, アム・プロモーション.
- 大沼忠春 (2008b) 縄文土器・小林達雄編「総覧縄文土器」: 708-715, アム・プロモーション.
- Reimer, P. J., Bard, E., Bayliss, A., Beck, J. W., Blackwell, P. G., Bronk Ramsey, C., Buck, C. E., Cheng, H., Edwards, R. L., Friedrich, M., Grootes, P. M., Guilderson, T. P., Haflidason, H., Hajdas, L., Hatte, C., Heaton, T. J., Hoffmann, D. L., Hogg, A. G., Hughen, K. A., Kaiser, K. F., Kromer, B., Manning, S. W., Niu, M., Reimer, R. W., Richards, D. A., Scott, E. M., Southon, J. R., Staff, R. A., Turney, C. S. M., and van der Plicht, J. (2013) IntCal13 and Marine13 Radiocarbon Age Calibration Curves 0-50,000 Years cal BP. Radiocarbon, 55(4), 1869-1887.
- 臼杵勲・出穂雅実 (2005) 科学研究費補助金基盤研究(B)(2)北海道における古代から近世の遺跡の疎年代平成 16 年度研究成果報告書, 50p., 札幌学院大学人文学部。

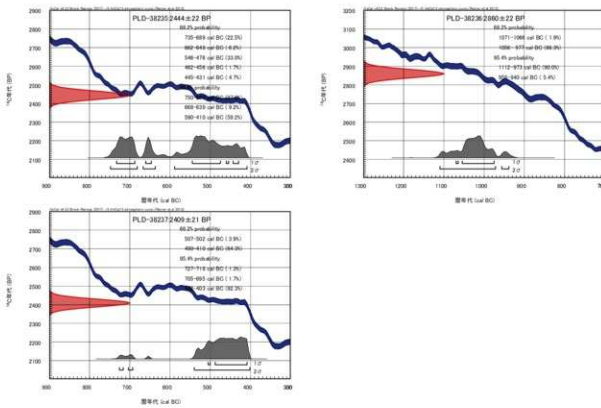


図1 历年較正結果

8. 冬島遺跡平成30年度調査出土の動物遺体

西本 豊弘

はじめに

冬島遺跡の平成30年度の発掘調査では約20,000点の動物遺体が出土した。その大部分は魚骨であり、主にピット4とトレンチ1のⅢ層から出土した。鳥骨は少なく、哺乳類はエゾシカとクジラ類が多く出土した。魚骨はよく焼けていたが、クジラ類は焼かれずに表面が腐食しているもの多かった。

1. 貝類

貝類は、トレンチ1の基盤層の上に面をなして見られたというが、それらはほとんど採集されていないので内容は分らない。Ⅲ層の魚骨とともに少量採集された資料からみると、クロタマキビの幼貝が大部分であり、エゾバフンウニの殻片が混じっていた。

ピット4でもクロタマキビの幼貝とエゾバフンウニの他にエゾチジミボラとイガイの破片がごく少量含まれていた。クロタマキビの幼貝はコンブなどの海藻に付着しているので、それらとともに遺跡内に持ち込まれた可能性がある。

2. 魚類

魚骨はピット4とトレンチ1のⅢ層からまとめて出土した。それらは一括して採集されて、1mmの目の「ふるい」で水洗された。その結果、小さな魚類の椎骨まで採集された。ピット4とⅢ層のいずれの魚骨もよく焼けており、収縮したり変形しているものが多い。椎骨の椎体をよく見ると灰が詰まって居るものもあり灰と一緒に捨てられたものと思われる。

魚骨の内容をみるとマダラやスケトウダラやヒラメ・フサカサゴ類（ソイ類・メバル類）などは頭部の骨も残っているが小形の魚類は椎骨しか残っていない。そこで、頭部の骨は前上顎骨と歯骨を中心分類するにとどめて、椎骨を主に分類して漁労活動の内容を検討することとした。それらの分類結果は表1と2に示したとおりである。

（1）タラ類

この遺跡で最も多いのはマダラとスケトウダラである。コマイは出土していない。

マダラは体長40cm程度の中型の個体から120cmを超える大きなものまで含まれるが中型が多い。スケトウダラも体長40~100cm程度の大きいものがある。スケトウダラの椎骨はマダラよりも細長いことが特徴であるが、マダラとよく似た部位もある。この遺跡の場合、マダラとスケトウダラのいずれも小さな個体から大きなものまで含まれているので、この2種を区別せずに一括することとした。どちらの種が多いかは分らない。

（2）ヒラメ

ヒラメはタラ類に次いで多く出土した。体長30~100cm程度のものまで含まれるが、大きな個体は少なく体長50~60cm程度が多い。この遺跡ではマツカワの大きな個体との区別が難しく、この2種を一括した場合もある。

ヒラメは恵山貝塚など続縄文文化の遺跡でよく出土する魚類として知られているが、この遺タラ類の方が多く、しかも中型のヒラメが多いことは意外であった。

（3）カレイ類

この遺跡では体長20cm程度の小さなカレイは少なく、40cm~50cm程度の大きなカレイが多いこと

が特徴である。おそらくクロガシラやアカガレイなど数種以上が含まれるであろう。カレイの仲間のマツカワはカレイ類から分離するように試みたが小さなヒラメも含まれるかもしれない。マツカワの大きさも体長40cm以上のものが多い。オヒョウとしたものは体長30cm程度の小さな個体である。小さなオヒョウはマツカワとの区別が難しい場合があり、表2のマツカワとしたものにも含まれる可能性がある。

(4) フサカサゴ類

北海道ではソイ類と呼ばれるグループである。ここではシマゾイやマゾイ以外に小さなエゾメバル(ガヤ)など多くの種が含まれている。小さな個体も見られるが、体長30cm前後の中型個体が多い。

(5) アイナメ類

アイナメ類も多く出土しているが、ホッケは少ない。アイナメも少なく大部分はウサギアイナメと思われる。この類は、椎骨の長さが2~3mmのものがあり小さな個体も捕獲されていたようである。そのような小さな個体は表2の種不明小形魚にカウントされている。

(6) ニシン

ニシンの椎骨もかなり出土している。焼けているので椎体が前後で割れているものが多く大きさはよく分からないが、体長30cm前後の成熟個体が主体であろう。種不明小形魚の約半数がニシンである。なお、ニシンよりも小さなシシャモやキュウリウオは見られなかった。それらは漁獲されて食料とされていても、骨ごと食べられて消化されて骨が残っていないのかもしれない。

(7) カジカ類

カジカ類は、ケムシカジカタイプの歯骨が1点出土している。椎骨の分類ではIII層出土資料ではカジカ類を区別した。しかし、ピット4出土の資料ではよく焼けているために椎体の特徴がよく分からぬ資料が多いためにカジカ類を分離せず、カジカ類の可能性が強いものも種不明に含めた。

(8) マグロ類・ブリ類

小さなマグロ類の椎骨が少量出土している。体長1メートル程度の個体であり、クロマグロの若年魚と思われるものと、それよりも小さな種と思われるものがある。ブリ類はハマチ程度の若年魚が少量含まれていた。

(9) サケ類・ツノザメ類・ホシザメ類

サケとマス類の椎骨も少量含まれていた。大きなシロザケタイプの椎骨もある。なお、イトウは見られなかった。おそらく河川での漁労活動は行っていないのである。ツノザメとホシザメもごく少量出土した。これらのサメ類はヤスなどで捕獲したのである。

(10) その他の魚種

ナガヅカはピット4から中型個体の歯骨が出土している。この類の椎骨もピット4から少量出土しているが、椎体が火を強く受けていて変形しているものが多いことから種不明とした。

なお今回、種不明とした椎骨は椎体の幅5ミリメートル程度のものが多く、おそらくカレイ類やカジカ類・ナガヅカが含まれるが、焼けているためいずれとも判別しにくいものである。

椎骨同定不可としたものは、椎体が焼けたために前後に割れたものや黒色化や白色化したものである。

また、小形魚種不明としたものは、焼けたために前後に割れたり収縮した小さな椎骨が大部分である。それらはニシンとアイナメ類の小さな個体が多いと推測される。

3. 鳥類

鳥骨の出土量は表3に示した通りである。それらは魚骨と同様によく焼けていた。アホウドリ・ミズナギドリ類・ウミガラス類・ヒメウなど海鳥が多い。アホウドリとミズナギドリは北太平洋の広い範囲を移動する渡り鳥であり、その途中に北海道に飛来したものであろう。

4. 哺乳類

哺乳類は、エゾシカとクジラ類など約200点が出土した。イヌはIII層から左側とう骨の中間部破片が1点出土した。長さ55mm・幅約10mm・厚さ約6.5mmであり、筆者の所有する現生スピッツの雌より少し大きい程度の小型犬である。小さな破片であり形質はよく分からぬが骨の前後の湾曲が強くたくましいイヌであったと思われる。埋葬されていたものが攪乱されてとう骨のみ出土した可能性がある。

イノシシ類は、指の骨の一つである基節骨の先端部分が1点られた。現存長33mmで先端の幅は10mmと小さい。側指の可能性があるが中央の指であるとすると、若い個体か小形のイノシシ類であろう。北海道には野生イノシシは生息しないので、本州からもたらされたブタと思われる。

カワウソは、右側下顎骨が1点みられた。下顎連合部と下顎中間部・下顎枝部の3片に分かれて出土し、歯は第3と第4前臼歯のみ残っていた。歯は少し摩耗しており成獣である。

エゾシカは、四肢骨を中心に数個体分が出土している。若い個体と成獣が含まれている。上下顎骨が見られないことから、それらは四肢骨とは別に処理されている可能性がある。クジラ類は、イルカ類・ゴンドウクジラ類・小型クジラ類など多く出土した。イルカ類は、III層から頸蓋骨が1点出土した。この個体の歯は残っておらず、骨の表面の腐食が進んでいるため種名の同定はできなかった。頸蓋骨のみが単独で出土していることから、解体場所から頸蓋骨のみがこの場所に意図的に持ち込まれたのであろう。

イルカよりも大きいゴンドウクジラ類は、歯1点と肋骨の大きさから同定したものである。ゴンドウクジラ類の中で最も大きいシャチと思われる歯も1点出土しているが、現生シャチ標本と比較検討していないので、種不明とするにとどめた。体長10m以上のザクジラなどの沿岸を遊泳する小型クジラも肋骨の大きさと椎間板から意図的に捕獲しているのではと推測される。

まとめ

平成30年度の調査で出土した動物遺体の内容を説明してきた。その中で魚類の内容を見ると、マダラとスケトウダラとヒラメ・カレイ類が多いことが特徴である。タラ類は北海道の縄文時代ではあまり利用されていない魚種であり、しかも小型から大型まで捕獲されている状況はこれまでほとんど知られていない。また、カレイ類についてもこれまでの縄文時代の遺跡で多く捕獲されていた小さな個体ではなく大きく生育した個体が多い。これの内容から、岸辺での漁労活動だけではなく、ある程度の深い海で漁労活動を行っていたと推測される。

また、クジラ狩猟についても小さなイルカ類だけではなくゴンドウクジラ類やザクジラ程度の小型クジラ類も捕獲していることから、捕鯨活動の面でも縄文時代よりも積極的に行われていたことが推測される。これらの特徴は本州の弥生文化の影響によるものと思われる。

表1 魚類出土量

区	種名・部位													
ビット4	前上顎骨	マダラL1,R1												
		ヒラメL2,R1												
		フサカサゴ類L5,R9												
		カジカ類R1												
	歯骨	マダラL1,R1												
		スケトウダラR2												
		フサカサゴ類L11,R9												
		カジカ類R2												
		ブリ類R1												
		ナガツカL1												
		カレイ類L1												
	その他	アイナメ類R1												
		マルタL1												
		ブリ類鰓骨1												
Ⅲ層	前上顎骨	椎骨 約2400												
		骨片 約10000												
		マダラR1												
		ヒラメR2												
	歯骨	フサカサゴ類L2,R1												
		マダラL1												
		ヒラメL1,R1												
		フサカサゴ類R2												
	その他	ブリ類L1												
		椎骨 約1300												
		骨片 約6400												

表2 魚類椎骨出土量

種名	マダラ	スケトウダラ	ヒラメ	ヒツカワ	カレイ類	オヒヨウ	フサカサゴ類	アイナメ類	ホツケ	カジカ類	マルタ	マグロ類	ブリ	ニシン	サケ・マス類	ツノザメ	ホシザメ	種不明	小型魚種不明	破片	計
ビット4	294	63	10	142	1	153	70	1	0	5	6	4	62	18	7	257	1,000	221	2,314		
Ⅲ層	76	31	34	62	0	43	26	0	14	3	10	3	44	12	7	64	650	135	1,214		
計	370	94	44	204	1	196	96	1	14	8	16	7	106	30	14	321	1,650	356	3,528		

表3 鳥類出土量

区	種名・部位
ピット4	アホウドリ中手骨L2
	ヒメウ?中手骨R上1
	中型カモ類?上腕骨L上1
	ウミガラス類鳥口骨R1
	ミズナギドリ類中手骨L1, R1
	種不明鳥類指骨1、中足骨片1
III層	カモメ類鳥口骨R1
	ウミガラス類脛骨R上1
	オオミズナギドリ?上腕骨R上1
	ミズナギドリ類小型 大腿骨R下1
	ミズナギドリ類鳥口骨L1, R3
	ミズナギドリ類?尺骨R下1
種不明	ミズナギドリ類?脛骨R下1
	鳥類肩甲骨L1, R1

表4 哺乳類出土量

区	種名・部位
ピット4	イノシシ類筋節骨下1
	エゾシカ角片2
	(うち1点は切断痕あり)
	エゾシカ角底片1
	エゾシカ肩甲骨R1
	エゾシカ距骨L1
海獣	エゾシカ中手骨片2
	エゾシカ中足骨片2
	エゾシカ中手骨または中足骨片1
	陸獣骨片55(エゾシカ?)
	陸獣または海獣骨片5
	イルカ椎骨1
III層	ゴンドウクジラ?歯1
	ゴンドウクジラ?肋骨片1
	クジラ骨片25
	クジラ骨片3(椎骨)
	イヌ棱骨L、中間部
	カワウソ右側下顎骨
陸獣	エゾシカ肩甲骨R1
	エゾシカ尺骨L1
	エゾシカ大腿骨R上1
	エゾシカ距骨L2
	エゾシカ距骨R1
	エゾシカ中足骨R上1
	エゾシカ肱骨2
	エゾシカ中節骨1
	エゾシカ末節骨1
	エゾシカ椎骨2
	エゾシカ骨片44
	ドブネズミ大腿骨R1
海獣	ドブネズミ脛骨R1
	イルカ類頭蓋骨1
	ゴンドウクジラ?肋骨片1
	クジラ類肋骨片8
	クジラ類頭骨片51
	イルカ類歯1
種不明海獣歯1	

図版 1



1 P-4断面(南から)

2 P-2遺物出土状況(南から)



3 獣骨出土状況(南から)

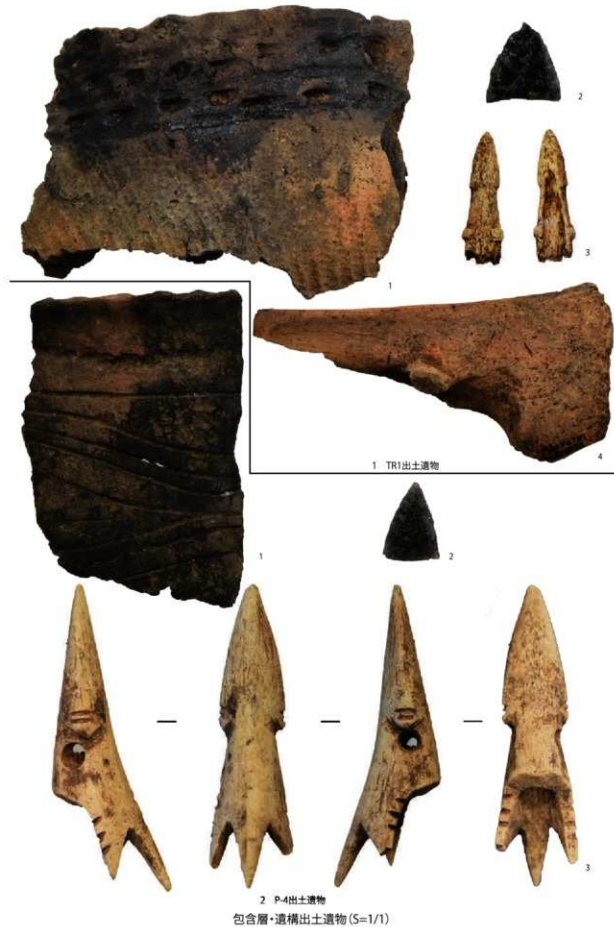
4 SP-7(東から)



5 メインセクション(北東から)

遺物出土状況・遺構出土状況・メインセクション

図版2



報告書抄録

ふりがな	さまにちょうふゆしまいせきはつくつちょうさほうこく						
書名	様似町冬島遺跡発掘調査報告						
副書名							
巻次							
シリーズ名	様似郷土歴史要						
シリーズ番号	2号						
編著者名	高橋美鈴						
編集機関	様似町教育委員会						
所在地	〒058-8501 北海道様似郡様似町大通1丁目21番地 TEL 0146-36-2521						
発行年月日	令和2(西暦2020)年3月31日						
ふりがな 所収遺跡名	ふりがな 所 在 地	コ 一 ド	世 界 測 地 系	調 査 期 間	調査面積	調査原因	
ふゆしまいせき 冬島遺跡	さまにごんさまにちょうふゆしま 様似郡様似町字冬島 39	市町 村 遺跡 番号	北緯 度 東經 度	調査期間	調査面積	調査原因	
		0160 8	K-08- 11	42° 06' 05"	142° ~ 59' 08"	20190803 20190806 20200513 ~ 20200624	詳細分布 調査
所 収 遺 跡 名	種 別	主 な 時 代	主 な 遺 構	主 な 遺 物	特 記 事 項		
ふゆしまいせき 冬島遺跡	集落跡	縄文時代晚期～ 統縄文文化期初頭	土坑	土器、石器、骨角器、 獸骨・魚骨			
要 約	調査範囲は冬島川とポンサヌシベツ川に挟まれた海岸段丘上に位置し、縄文時代晚期から統縄文文化期初頭のビット、炭化物集中が検出された。						

令和元年度様似町冬島遺跡発掘調査報告

(The excavation report of the Fuyushima site in SAMANI, Japan)

高橋 美鈴¹ (TAKAHASHI Misuzu)

1. 調査要項

遺跡名	冬島遺跡(登載番号 K-08-11)
発掘主体者	様似町教育委員会
調査の目的	詳細分布調査
調査期間	令和元年5月13日～6月24日
所在地	様似郡様似町字冬島 39
調査面積	30 m ²

2. 調査体制

教育長	荒木聰明
生涯学習課 課長	秋山寛幸
参事	川口達也
主幹	児玉正敏
学芸員	高橋美鈴(発掘担当者)

3. 遺跡概要

本遺跡は、北海道日高管内様似町冬島地区に所在し、冬島川とポンサヌシベツ川に挟まれた標高38m前後の海岸段丘上に立地する(図1)。本遺跡の存在は古くから知られ、昭和40年代には、元静内高校教諭であった藤本英夫氏の指導のもと発掘調査が実施されており、日高町門別富仁家墳墓群(北海道指定史跡)や浦河町白泉遺跡との類似性が指摘されている。また、昭和56年には、様似高校教諭であった小柳正夫氏の指導のもと、様似高校郷土史研究クラブ・様似町郷土史研究会が主体となって発掘調査を実施している。この時の調査では、竪穴住居跡が1軒、小型のピットが数基確認されるとともに、獸骨がまとまって出土している。

これらの調査記録や様似町立様似郷土館で保管されている発掘資料から統潤文化期初頭の集落跡の可能性が高いと考えられる。



図1 冬島遺跡位置図(国土地理院5万分の1に加筆)

1. 様似町教育委員会

4. 調査概要

様似町教育委員会では、一部耕作による擾乱等を受けているものの遺跡が良好に残存していることから、平成 26~28・30 年度の 4 か年で遺跡の性格や範囲の確認を目的とする発掘調査を実施した。

平成 30 年度調査では、東西方向の遺跡範囲を確認する目的で 2m × 1 m 程度のテストピットを 8か所設定し、調査を実施した。結果、調査範囲東側では近年の造成等により遺物包含層が消滅していたが、西側では一部遺物包含層が良好に残存しており、特に TR 1 では獸骨集中が検出された。獸骨集中では堆積前に人為的な造成をおこなった状況がみられたため、これらの遺構の構築状況、遺跡の性格、範囲を更に詳細に調査することを目的として、令和元年度に TR 1 を中心に南北方向に拡張した調査を実施した。本報告では、これらの令和元年度発掘調査について報告する（図 2、3）。

基本土層は、I 層：表土、II 層：黒色土、III 層：暗褐色土、IV 層：黒色土、V 層：漸移層、VI 層：黄褐色土である。遺物は II 層から IV 層にかけて出土し、III 層は獸骨・魚骨を多く含み、人為的な堆積と考えられる（図 4）。

5. 調査の方法

(1) 調査区の設定

平成 30 年度調査地点から南北方向の遺跡の広がりを確認する目的で、平成 30 年度に調査を実施した TR 1 を中心に南北方向に 12.67m、東西方向に 3m の範囲を調査区とした。

また、調査区内を 5つのグリッドに区画し、北側から順に A1、A2 とし、A5 区まで設定した。

(2) 包含層調査

表土～V 層まで隨時精査しながら人力で掘削をおこない、遺構の検出作業に努めた。また、掘り下げは、遺物の出土の程度によって移植ゴテやジョレン、スコップを使い分けた。獸・魚骨を多く含む箇所については土壌ごと取り上げ、後日水洗選別を実施した。

(3) 整理の方法

一次整理

水洗・分類・注記をおこなった。注記は土器小片・石器小片・細片骨を除く全ての遺物に対しておこなった。また、TP10 の注記は、テストピット名のほかにグリッド名を記入した。遺構出土のものは略称と番号の間にハイフンを入れて調査区名と区別した。

また、遺構の番号は、平成 28 年度調査からの通し番号を付した。

	年度	遺跡名	発掘区	遺構名	層位	資料番号
（遺構出土遺物例）	R 1	フユ		P-1	フクド	
（包含層出土遺物例）	R 1	フユ		A1	III	

二次整理

出土遺物を様似郷土館に持ち帰り、遺物カード作成・遺物台帳作成・土壤の水洗選別を実施した。

水洗選別には、ステンレス製のふるい（メッシュ 1mm 以下）を使用した。

収納・保管

出土遺物は、掲載遺物と非掲載遺物に区分し、コンテナに収納した。コンテナには、調査年度・遺跡名・遺物名などの情報をラベル表記した。

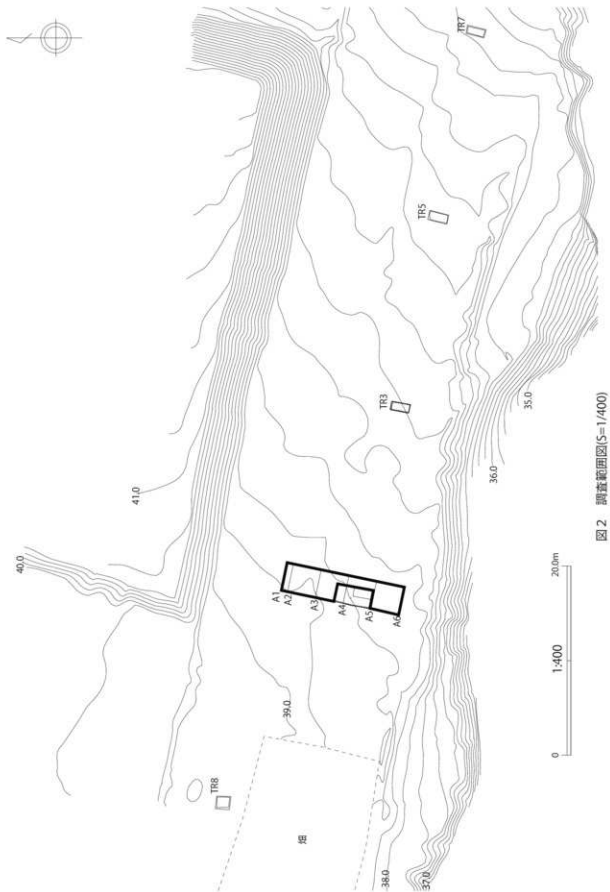


図2 調査範囲図(5=1/400)

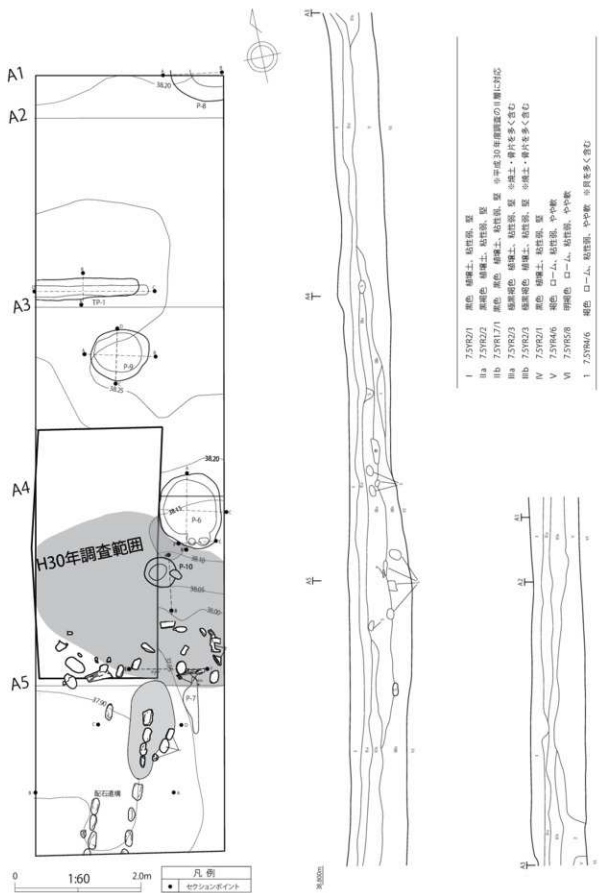


図3 調査範囲図(S=1/60)・メインセクション(S=1/40)

6. 調査の内容

(1) 調査結果の概要

本調査では、Tピット1基(TP-1)、土坑5基(P-6~P-10)、焼土1箇所(F-1)、礫集中3箇所、獸骨集中1箇所、土器集中1箇所を検出した。

遺物出土総点数は36,153点である。包含層出土点数は25,035点で、グリッド別内訳はA1区873点、A2区2,027点、A3区1,564点、A4区8,942点、A5区11,629点であり、A4区、A5区出土が大半を占める。遺構出土総点数は10,934点であった。

また、直径が2cm以下の微細な資料は細片として扱い点数集計に含めず、重量のみ計測した。

(2) 遺構調査

TP-1(図4・図版1)

位置:A2区 横幅:(165)cm×43cm×75cm/長軸×短軸×深さ

調査・特徴:包含層調査でV層上面に長楕円形の黒色土の落ち込みを検出した。半截して堆積状況を確認し、坑底面を検出した。また、覆土上部IIbに少量の産出下面火山灰のまとまりが、みられたことから分析をおこなったところB-Tmテフラであった。詳細は9項で報告する。

遺物出土状況:覆土上面から、土器19点、黒曜石製のフレイク1点が出土した。

時期:時期は不明である。

P-6(図4・図版1)

位置:A3-A4区 横幅:120cm×100cm×30cm/長軸×短軸×深さ

調査・特徴:包含層調査でIII層上面に円形の黒色土の落ち込みを検出した。半截して堆積状況を確認し、坑底面を検出した。III層の獸骨を多く含む層を切って掘り込まれており、坑底面は平坦だがややくびつで掘り込みは浅い。また、坑底面から小ピット2基が確認された。

遺物出土状況:覆土全体で、土器288点、剥片石器181点、獸・魚骨202点が出土した。

時期:III層を切って掘り込んでいることから、縄文時代晩期以降と考えられる。

P-7(図4・図版1)

位置:A4-A5区

調査・特徴:包含層調査でIII層上面に円形の黒色土の落ち込みを検出した。半截して堆積状況を確認したが、坑底面及び立ち上がりは不明瞭であった。III層の獸骨を多く含む層を切って掘り込まれている。

遺物出土状況:覆土から、土器192点、剥片石器1,609点、獸骨1,893点、骨角器1点が出土した。

時期:III層を切って掘り込んでいることから、縄文時代晩期以降と考えられる。

P-8(図5・図版1)

位置:A1区 横幅:(80)cm×(50)cm×57cm/長軸×短軸×深さ

調査・特徴:包含層調査でV層上面に円形の黒色土の落ち込みを検出した。遺構範囲が調査区外に広がっていたことから、調査区内部分のみを掘削しセクション及び坑底面を検出した。坑底面は平坦で、壁面の立ち上がりは急である。

遺物出土状況：覆土から、土器 48 点、剥片石器 90 点が出土した。

時期： 時期は不明である。

P-9 (図 5・図版 1)

位置：A3 区 規模：80cm×60cm×27cm/長軸×短軸×深さ

調査・特徴：包含層調査でV層上面に隅丸方形の黒色土の落ち込みを検出した。半裁して堆積状況を確認し、坑底面を検出した。坑底面は平坦で掘り込みは浅い。

遺物出土状況：覆土から、土器 115 点、剥片石器 82 点、獸骨 95 点、炭化材 14 点が出土した。

時期：覆土に獸骨を含むことからIII層の堆積後に構築されたとみられ、縄文時代晚期以降と考えられる。

P-10(図 5)

位置：A4 区 規模：50cm×50cm×17cm/長軸×短軸×深さ

調査・特徴：包含層調査でIII層上面に円形の黒色土の落ち込みを検出した。半裁して堆積状況を確認し、坑底面を検出した。坑底面は円形で掘り込みは浅い。III層を切って掘り込まされている。

遺物出土状況：覆土から、土器 372 点、剥片石器 385 点、礫石器 3 点、獸・魚骨 2,438 点が出土した。また、壁面付近の覆土内部からは、大型の海獸骨と思われる椎骨が 2 点出土した。

図版 3-1 は黒曜石製のスクレイバーである。図版 3-2 は黒曜石製の石鏃である。無茎で基部に深い抉りがある。図版 3-3 は砂岩製の石のこである。

時期：III層を切って掘り込んでいることから、縄文時代晚期以降と考えられる。

獸骨集中 1 (図 6・図版 2)

位置：A4 区 規模：70cm×34cm/長軸×短軸

調査・特徴：III層内に獸骨がまとまって出土したことから、獸骨集中とした。

遺物出土状況：土器 266 点、剥片石器 152 点。獸骨 1,205 点、骨角器 4 点が出土した。図版 3-5-1～3 は、骨角器である。1 は刺突具で、2 は鈎頭の一部と考えられる。3 は焼骨で 3 本の刻みが入っている。

時期：III層内であり、III層と同様に縄文時代晚期～統縄文文化期初頭と考えられる。

礫集中 3 (図 6・口絵 2)

位置：A5 区

調査・特徴：包含層調査中にIII層下部から円礫のまとまりを確認した。円礫は列状に 2 条並べられ、間に砂土が敷かれていた。また、砂土下位には F-1 が確認された。そのほか、II 層上面及び下部から礫のまとまりが確認され、礫集中 1・2 で遺物の取り上げをおこなったが、礫集中 3 に開闢するものと思われるところから 1・2 を欠番とし、礫集中 3 としてまとめて報告とした。

遺物出土状況：覆土から、土器 139 点、剥片石器 85 点、獸・魚骨 727 点が出土した。

時期：VI 層直上、III 層下面から出土していることから縄文時代晚期～統縄文文化期初頭と考えられる。

F-1 (図 6・図版 2)

位置：A5 区 規模：100cm×73cm/長軸×短軸

調査・特徴：縄集中3の調査中に焼砂が確認されたためトレンチ調査を行い、VI層上面に暗赤褐色の焼土を検出した。上面の砂土を取り除き、焼土の範囲を確認した。また、縄集中3の東側に列状に置かれた小型の円礫3点は、F-1に伴うものと考えられ。元々は石窯炉であったものが縄集中3の造設によって他の礫は消失したと考えられる。

時期：III層の直下であることから、統繩文化期初頭かそれより古い時期と考えられる。

土器集中1(図5・口絵2)

位置：A4-A5区

調査・特徴：III層調査中に土器のまとまりを確認した。範囲を確認し、点取りで土器を取り上げた。

遺物出土状況：土器94点、剥片石器32点、獸・魚骨59点が出土した。図5-1は、全体に横及び斜縄文を施す。図5-2は、口唇部下に縄文を施し、全体に横走縄文を施す。また、内側から刺突を施し、対角に2箇所の刺突穴がある。図版3-6-1は、胴部に帯状縄文を縞状に、胴部下部には横走縄文を施す。いずれも、底部はつづかりに上げ底状を呈す。

時期：土器の特徴から統繩文化期初頭と考えられる。

iii. 包含層調査

包含層の出土遺物総数は25,035点で、内訳は土器9,872点、石器8,490点、礫石器・礫52点、石製品2点、骨角器4点、獸・魚骨6,583点、炭化材31点、その他不明品1点である。石器はフレイクが8,231点と大半を占めるが、製品では石鏃や両面調整石器、Rフレイクが多くみられる。

遺物の分布はA4区、A5区に集中しており、これは、同範囲に獸・魚骨を含んだ人為的堆積のIII層が広がっているためと考えられる。III層はVI層直上に堆積しIV・V層が消失していることから、III層の堆積前にIV・V層を除去する掘り込み、造成等の行為があったと考えられる。ただし、掘り込みの立ち上がり部分などは確認できていない。

土器はA4区、A5区で7,671点が出土し、A1~A3区の3倍以上に及ぶ。出土状況は、全体的に散らばった状態であった。時期は、統繩文化期初頭を主体とし、縄文時代晩期～統繩文化期初頭の範囲に収まる。図版3-6-2は、A5区の縄集中3の付近から出土したミニチュア土器で、底部は丸く、縄文を施し、口縁部は外反している。

石器はA4区、A5区で剥片石器6,681点、礫石器3点が出土している。そのうち、フレイクは6,458点と80%以上を占める。図版3-1-1はA4区から出土した泥岩製の磨製石斧である。図版3-1-4は縄泥岩製の石製品である。図版3-1-5は頁岩製のつまみ付きナイフである。図版3-1-6~11・13~15、図版3-2-1~4・6~11は、黒曜石製の石鏃である。図版3-1-6~11は小型で基部の抉りが浅く粗雑な作りである。図版3-1-13は大型で丁寧に調整が施されている。図版3-1-14・15、図版3-2-8は基部の抉りが明顯である。図版3-1-15は先端部が丸い。図3-2の8以外の石鏃は基部の作りが浅い。一部の石鏃は産地分析をおこなったので、10項で詳細を報告するが、大きく土上帆帳と置戸産に二分された。

図版3-1-12は黒曜石製の両面調整石器で、石槍の破損品と考えられる。図版3-2-5は縄泥岩製の玉製品の破損品と考えられる。材質分析及び産地推定の結果、蛇紋岩由来の縄泥岩であり、産地として平取町仁世宇川が候補地の一つとして挙げられた。詳細については8項で報告する。

図版3-2-12は泥岩製の磨製石斧で片刃である。図版3-2-13は黒曜石製の有柄ナイフである。

骨角器は包含層全体で4点が出土し、A4区から3点、A5区から1点が出土している。図版3-1-2は釣針の先端部と考えられる。図版3-1-3は鈎頭の破損品と考えられる。

表1 令和元年度出土遺物一覧

器種/部位	A1 A2 A3 A4 A5					TP-1	P-6	P-7	P-8	P-9	P-10	新作番号	舊作番号	繩文	上縄文	区外	総計	
	包含層	包含層	包含層	包含層	包含層													
土器	402	1152	647	2258	5413	19	288	192	49	115	372	266	2	28	139	94	108	11544
側片石器	437	787	585	2365	4316	1	181	1609	90	82	385	152	0	0	85	32	75	11182
石鏡	3	6	17	24	51	0	3	1	0	1	1	0	0	0	3	0	1	111
石槍	2	0	0	0	2	0	0	0	0	1	0	0	0	0	0	0	0	5
両面調律石器	2	13	4	10	45	0	0	0	0	0	3	6	0	0	1	0	1	85
石劍	0	0	0	4	1	0	0	0	0	1	0	1	0	0	0	0	0	7
スクレイパー	3	0	11	4	7	0	1	0	0	1	0	1	0	0	0	1	0	19
瓦ブレイク	6	16	24	8	28	0	1	0	0	0	0	2	0	0	0	0	1	86
フレイク	420	749	533	2303	4155	1	175	1668	90	78	379	142	0	0	81	31	71	10816
石核	0	1	2	1	2	0	1	0	0	0	0	0	0	0	0	0	0	7
側面削られたる石器	0	1	0	1	7	0	0	0	0	0	0	0	0	0	0	1	0	10
側面石斧	0	0	0	3	4	0	0	0	0	0	0	0	0	0	0	0	0	7
ビヌス・カッター	1	1	1	1	5	0	0	0	0	0	0	0	0	0	0	0	0	9
縫跡	0	0	1	1	0	0	0	0	0	0	0	0	0	0	0	0	0	2
つまみ付タイフ	0	0	0	2	1	0	0	0	0	0	0	0	0	0	0	0	0	3
有柄ナツブ	0	0	2	3	8	0	0	0	0	0	2	0	0	0	0	0	0	15
鐵石器・鎌	3	7	2	10	30	0	0	0	0	1	3	0	0	0	0	0	0	56
鐵石	1	0	1	0	0	0	0	0	0	0	0	0	0	0	0	0	0	2
石のこ	0	0	0	0	3	0	0	0	0	0	2	0	0	0	0	0	0	5
縛	2	7	1	10	27	0	0	0	0	1	1	0	0	0	0	0	0	49
石製品	0	0	0	1	1	0	0	0	0	0	0	0	0	0	0	0	0	2
歎骨・魚骨	31	81	330	4277	1864	0	202	1893	0	95	2438	1205	0	0	727	59	1	13203
骨角器	0	0	0	3	1	0	0	1	0	0	0	4	0	0	0	0	0	9
炭化材	0	0	0	28	3	0	0	56	0	14	25	29	0	0	0	0	0	155
その他	0	0	0	0	1	0	0	1	0	0	0	0	0	0	0	0	0	2
合計	873	2027	1564	8942	11629	20	671	3752	139	307	3223	1656	2	28	951	185	184	36153
総計				25035								10934						

表2 令和元年度包含層出土遺物一覧

器種/部位	A1			A2			A3			A4			A5			区外	総計
	I	II	III	I	II	III	I	II	III	I	II	III	I	II	III		
	1	2	3	4	5	6	7	8	9	10	11	12	13	14	15		
土器	154	232	16	455	823	74	158	419	70	29	0	2230	766	361	4266	108	9980
側片石器	214	220	3	383	374	30	109	354	122	0	0	2365	407	170	3735	75	8565
石鏡	0	3	0	4	2	0	2	15	0	0	0	24	5	1	45	3	102
石槍	0	2	0	0	0	0	0	0	0	0	0	0	0	0	2	0	0
両面調律石器	0	2	0	9	4	0	0	4	0	0	0	10	6	3	36	1	75
石劍	0	0	0	0	0	0	0	0	0	0	0	4	0	0	1	0	5
スクレイパー	0	3	0	0	0	0	0	1	0	0	0	4	2	0	5	0	15
瓦ブレイク	3	3	0	12	4	0	11	13	0	0	0	8	11	1	16	1	83
フレイク	211	206	3	358	361	30	94	318	121	0	0	2303	376	163	3616	71	8231
石核	0	0	0	1	0	0	0	2	0	0	0	1	1	0	1	0	6
側面削られたる石器	0	0	0	1	0	0	0	0	0	0	1	4	1	2	1	10	
側面石斧	0	0	0	0	0	0	0	0	0	0	0	3	1	1	2	0	7
ビヌス・カッター	0	1	0	0	1	0	0	1	0	0	0	3	0	0	5	0	9
縫跡	0	0	0	0	0	0	0	0	0	1	0	0	3	0	0	0	2
つまみ付タイフ	0	0	0	0	0	0	0	0	0	0	0	2	0	0	3	0	3
有柄ナツブ	0	0	0	0	0	0	0	0	0	0	0	3	1	0	1	0	5
鐵石器・鎌	0	2	1	1	3	5	0	2	0	0	0	10	6	1	29	0	52
帆石	0	1	0	0	0	0	0	1	0	0	0	0	0	0	0	0	2
石のこ	0	0	0	0	0	0	0	0	0	0	0	0	0	0	3	0	3
縛	0	1	1	1	3	5	0	1	0	0	0	10	6	1	20	0	47
石製品	0	0	0	0	0	0	0	0	0	0	0	1	0	0	1	0	2
歎骨・魚骨	0	31	8	11	63	7	18	38	274	0	0	4277	9	44	1811	1	6584
骨角器	0	0	0	0	0	0	0	0	0	0	0	3	0	0	1	0	4
炭化材	0	0	0	0	0	0	0	0	0	0	0	28	0	0	3	0	31
その他	0	0	0	0	0	0	0	0	0	0	0	0	0	0	1	0	1
合計	368	485	20	850	1063	114	285	813	466	26	0	8914	1185	577	9864	184	25219
総計		873			2027			1564				8942		11629			

表3 令和元年度包含層出土石器の石材別集計

石材/器種	H29.4.1~H30.3.31										H30.4.1~H30.3.31										総計		
	石 頭	石 斧	石 刀	石 槍	石 矛	石 劍	石 矛	石 矛	石 矛	石 矛	石 矛	石 矛	石 矛	石 矛	石 矛	石 矛	石 矛	石 矛	石 矛	石 矛	石 矛		
青銅石	200	4	619	3	8	566	272	4	1	1	1	1	1	1	1	1	1	1	1	1	1	1	6247
白石	1	1	4	2	2	251	173	1	1	1	1	1	1	1	1	1	1	1	1	1	1	1	157
白石	1	1	1	1	1	1	1	1	1	1	1	1	1	1	1	1	1	1	1	1	1	1	43
メノワ	1	1	1	1	1	1	1	1	1	1	1	1	1	1	1	1	1	1	1	1	1	1	41
石斧	1	1	1	1	1	1	1	1	1	1	1	1	1	1	1	1	1	1	1	1	1	1	22
石刀	1	1	1	1	1	1	1	1	1	1	1	1	1	1	1	1	1	1	1	1	1	1	15
石槍	1	1	1	1	1	1	1	1	1	1	1	1	1	1	1	1	1	1	1	1	1	1	11
石矛	1	1	1	1	1	1	1	1	1	1	1	1	1	1	1	1	1	1	1	1	1	1	10
石劍	1	1	1	1	1	1	1	1	1	1	1	1	1	1	1	1	1	1	1	1	1	1	1
石頭	1	1	1	1	1	1	1	1	1	1	1	1	1	1	1	1	1	1	1	1	1	1	1
サート	1	1	1	1	1	1	1	1	1	1	1	1	1	1	1	1	1	1	1	1	1	1	1
チリ	1	1	1	1	1	1	1	1	1	1	1	1	1	1	1	1	1	1	1	1	1	1	1
その他	1	1	1	1	1	1	1	1	1	1	1	1	1	1	1	1	1	1	1	1	1	1	1
合計	102	4	619	3	8	566	272	4	1	1	1	1	1	1	1	1	1	1	1	1	1	1	6247

表4 令和元年度遺構出土遺物一覧

遺構	測定石器										測定石器・標										総計	
	土器	石頭	石斧	石刀	石槍	石矛	石劍	石矛	石矛	石矛	石矛	石矛	石矛	石矛	石矛	石矛	石矛	石矛	石矛	石矛	石矛	
H29.1	129	50	50	50	50	50	50	50	50	50	50	50	50	50	50	50	50	50	50	50	50	210
第1土	1	1	1	1	1	1	1	1	1	1	1	1	1	1	1	1	1	1	1	1	1	1
H29.2	200	5	50	50	50	50	50	50	50	50	50	50	50	50	50	50	50	50	50	50	50	671
櫛	227	5	50	50	50	50	50	50	50	50	50	50	50	50	50	50	50	50	50	50	50	574
櫛上土	63	5	50	50	50	50	50	50	50	50	50	50	50	50	50	50	50	50	50	50	50	89
櫛下土	1	1	1	1	1	1	1	1	1	1	1	1	1	1	1	1	1	1	1	1	1	1
H29.3	152	1	50	50	50	50	50	50	50	50	50	50	50	50	50	50	50	50	50	50	50	500
櫛上	124	1	50	50	50	50	50	50	50	50	50	50	50	50	50	50	50	50	50	50	50	3724
櫛下土	18	1	50	50	50	50	50	50	50	50	50	50	50	50	50	50	50	50	50	50	50	271
櫛上土	49	1	50	50	50	50	50	50	50	50	50	50	50	50	50	50	50	50	50	50	50	139
櫛下土	153	1	1	1	1	1	1	1	1	1	1	1	1	1	1	1	1	1	1	1	1	1
H29.4	372	1	15	50	50	50	50	50	50	50	50	50	50	50	50	50	50	50	50	50	50	500
櫛上	372	1	15	50	50	50	50	50	50	50	50	50	50	50	50	50	50	50	50	50	50	500
櫛下土	0	0	0	0	0	0	0	0	0	0	0	0	0	0	0	0	0	0	0	0	0	0
櫛上土	266	15	50	50	50	50	50	50	50	50	50	50	50	50	50	50	50	50	50	50	50	500
櫛下土	14	1	50	50	50	50	50	50	50	50	50	50	50	50	50	50	50	50	50	50	50	1410
櫛上	75	15	50	50	50	50	50	50	50	50	50	50	50	50	50	50	50	50	50	50	50	3415
櫛下土	75	15	50	50	50	50	50	50	50	50	50	50	50	50	50	50	50	50	50	50	50	3415
櫛上土	25	15	50	50	50	50	50	50	50	50	50	50	50	50	50	50	50	50	50	50	50	25
櫛下土	25	15	50	50	50	50	50	50	50	50	50	50	50	50	50	50	50	50	50	50	50	25
櫛上	139	3	15	50	50	50	50	50	50	50	50	50	50	50	50	50	50	50	50	50	50	395
櫛下	139	3	15	50	50	50	50	50	50	50	50	50	50	50	50	50	50	50	50	50	50	395
土塗施	94	3	15	50	50	50	50	50	50	50	50	50	50	50	50	50	50	50	50	50	50	185
土塗施	104	3	15	50	50	50	50	50	50	50	50	50	50	50	50	50	50	50	50	50	50	185
合計	1064	9	10	2	4	3	2549	1	0	0	0	0	0	0	0	0	0	0	0	0	0	1064

表5 令和元年度遺構出土石器の石材別集計

石材/器種	測定石器										測定石器・標										総計	
	石頭	石斧	石刀	石槍	石矛	石劍	石矛	石矛	石矛	石矛	石矛	石矛	石矛	石矛	石矛	石矛	石矛	石矛	石矛	石矛		
黒曜石	7	8	3	1	2325	1															0	2347
白石	1	2	1	2	244																0	250
砂岩																				2	2	2
メノワ	1	1					6													8	0	8
空山岩							1													1	0	1
石斧							1													1	0	1
紺色花崗岩							2													2	0	2
灰岩							1													1	0	1
粘物質							1													1	0	1
チート							1													1	0	1
不明	1						4													5	2	7
合計	9	10	2	4	3	2549	1	0	0	0	0	0	0	0	0	0	0	0	0	4	2620	

表6 掘載土器一覧

測定番号 測定区	器種・名稱 復原	遺構・発掘区 土器集中1	層位 III	大きさ(cm)			時期	状態
				口径	底径	高さ		
- 3-6-1	深鉢	土器集中1	III	-	9.1	(10.5)	縦圓文前半	
- 3-6-2	ミニチャーフ土器	A 5	III	4.4	2.1	4.6	縦圓文前半	
- 3-6-3	深鉢	土器集中1	III	14.0	8.6	15.5	縦圓文前半	
- 3-6-4	深鉢	土器集中1	III	12.2	8.3	13.2	縦圓文前半	

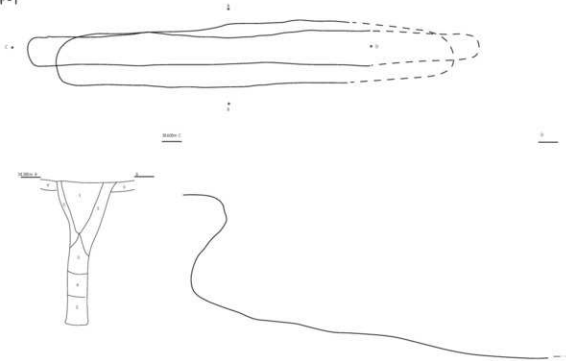
表7 掘載石器一覧

測定番号 測定区	器種・名稱 復原	遺構・発掘区 土器	層位 III	大きさ(cm)			重量(g)	石材	状態
				長さ	幅	厚さ			
- 3-1-1	石斧	A 4	III	9.4	4.2	0.8	58.5	緑色泥岩	
- 3-1-4	石製品	A 4	III	3.3	2.4	0.9	9.0	緑泥石	
7-1 3-1-5	つまみ付きナイフ	A 4	III	5.8	2.3	0.7	8.5	頁岩	
7-2 3-1-6	石鏟	A 4	III	(2.0)	(1.1)	2.0	(0.5)	黒曜石	
7-5 3-1-7	石鏟	A 4	III	2.2	1.3	0.2	0.5	黒曜石	
7-3 3-1-8	石鏟	A 4	III	1.8	1.4	0.3	0.5	黒曜石	
- 3-1-9	石鏟	A 4	III	2.2	1.2	0.4	0.5	黒曜石	産地分析試料4
- 3-1-10	石鏟	A 4	III	2.3	1.0	0.2	0.5	黒曜石	産地分析試料5
- 3-1-11	石鏟	A 4	III	(2.0)	1.3	0.4	1.0	黒曜石	産地分析試料6
- 3-1-12	両面整石器	A 4	III	(5.0)	(4.3)	(0.9)	(15.5)	黒曜石	産地分析試料2
7-4 3-1-13	石鏟	A 4	III	(4.2)	1.8	0.4	(2.5)	黒曜石	生焼欠損
- 3-1-14	石鏟	A 4	III	(3.2)	2.6	0.5	(4.0)	黒曜石	産地分析試料1
- 3-1-15	石鏟	A 4	III	(2.7)	2.1	0.4	(2.0)	黒曜石	産地分析試料3
- 3-2-1	石鏟	A 5	III	2.2	1.2	0.2	0.5	黒曜石	産地分析試料7
- 3-2-2	石鏟	A 5	III	1.7	1.1	0.2	0.5未満	黒曜石	産地分析試料8
- 3-2-3	石鏟	A 5	III	1.7	1.0	0.2	0.5	黒曜石	産地分析試料9
7-8 3-2-4	石鏟	A 5	III	1.4	0.9	0.2	0.5未満	黒曜石	
- 3-2-5	土	A 5	III	1.1	1.6	0.4	1.0	緑泥石	
- 3-2-6	石鏟	A 5	III	(2.8)	1.5	0.3	(0.5)	黒曜石	産地分析試料12
- 3-2-7	石鏟	A 5	III	2.2	1.7	0.3	1.0	黒曜石	産地分析試料13
7-7 3-2-8	石鏟	A 5	III	1.8	1.3	0.3	0.5	黒曜石	
- 3-2-9	石鏟	A 5	III	(1.6)	1.5	0.4	(1.0)	黒曜石	産地分析試料11
- 3-2-10	石鏟	A 5	III	2.0	1.2	0.3	0.5	黒曜石	産地分析試料10
7-9 3-2-11	石鏟	A 5	III	2.1	1.0	0.2	0.5	黒曜石	
- 3-2-12	石斧	A 5	III	(6.1)	4.0	1.5	(60.5)	泥岩	生焼欠損
7-6 3-2-13	有柄ナイフ	A 5	III	5.8	3.7	7.5	14.5	黒曜石	
5-1 3-3-1	有柄ナイフ	P-10	覆土	(5.1)	2.7	1.0	(12.5)	黒曜石	生焼欠損
- 3-3-2	石鏟	P-10	覆土	2.4	1.1	0.2	0.5	黒曜石	産地分析試料15
- 3-3-3	石のこ	P-10	覆土	6.3	(8.1)	1.0	(58.5)	砂岩	
- 3-4-1	石鏟	羅東中3	III	(3.2)	1.4	0.4	(1.5)	黒曜石	先端欠損
- 3-4-2	石鏟	羅東中3	III	(1.9)	1.3	0.2	(0.5)	黒曜石	産地分析試料14

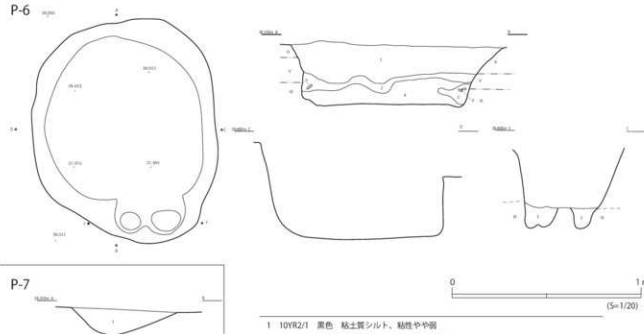
表8 掘載骨角器一覧

測定番号 測定区	器種・名稱 復原	遺構・発掘区 歯骨集中	層位 III	大きさ(cm)			重能(g)	状態
				長さ	幅	厚さ		
- 3-5-1	加工品	歯骨集中	III	(7.8)	0.9	0.6	2.5	
- 3-5-2	歯冠	歯骨集中	III	(4.6)	(1.5)	0.7	2.0	
- 3-1-3	加工品	A 4	III	(3.4)	1.7	0.8	2.0	
- 3-5-3	加工品	歯骨集中	III	(2.0)	(0.9)	(0.5)	0.5	
- 3-1-2	釣針	A 4	III	(1.9)	(0.8)	(0.4)	0.5未満	

TP-1



P-6



P-7



図4 TP-1・P-6・P-7 (S=1/20)

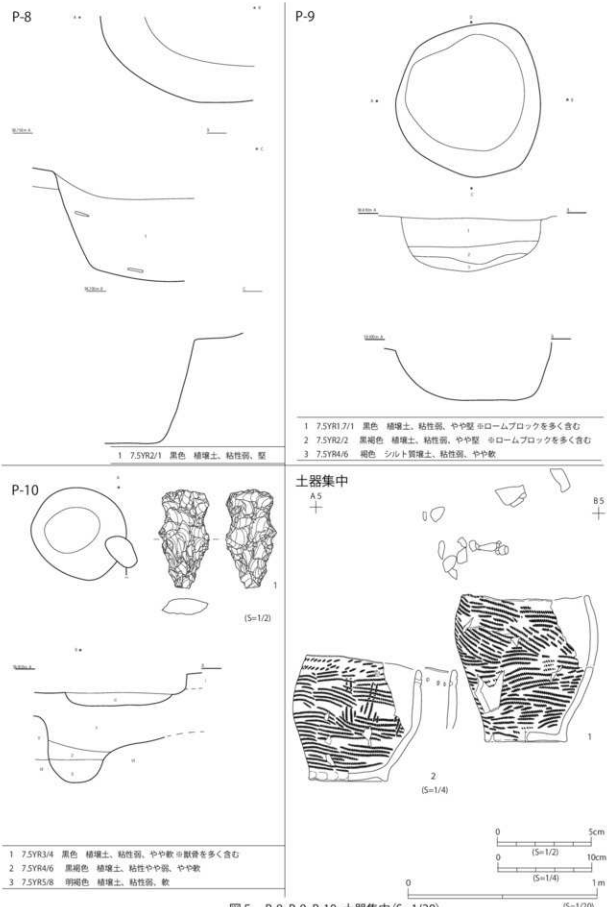


図5 P-8・P-9・P-10・土器集中 (S=1/20)

砾集中3・F-1・獸骨集中

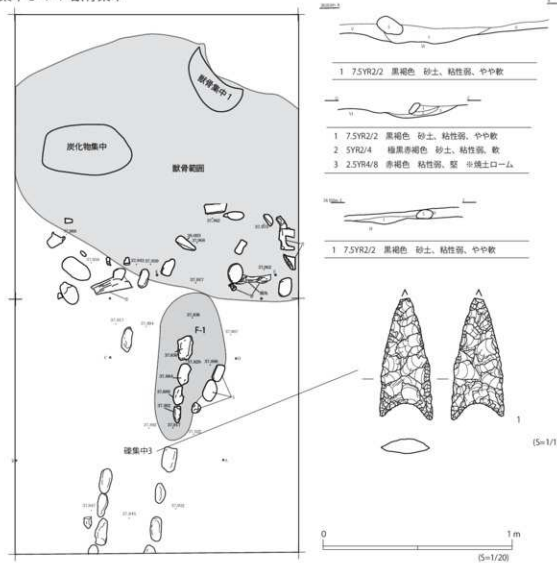


図6 犁集中3・F-1・獸骨集中(S=1/20)

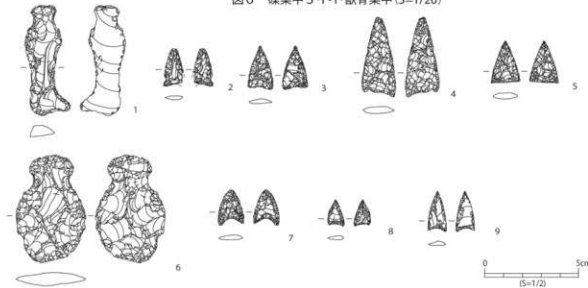


図7 包含層出土遺物(S=1/2)

7. 冬島遺跡における放射性炭素年代（AMS測定）及び炭素・窒素含有量測定、炭素・窒素安定同位体分析

(株) 加速器分析研究所

1. 測定対象試料

冬島遺跡は、北海道様似郡様似町字冬島 39 番地に所在する。測定対象試料は、獸骨・魚骨混土層下部の獸骨集中から出土した獸骨 1 点と、土器集中から出土した土器から採取された土器付着炭化物 2 点の合計 3 点である（表 1）。土器付着炭化物については放射性炭素年代測定と炭素・窒素安定同位体比および炭素・窒素含有量の測定を、獸骨については年代測定と炭素・窒素含有量の測定を実施する。

2. 測定の意義

試料が出土した遺構、層の時期を確認するため。

3. 年代測定試料の化学処理工程

（1）土器付着炭化物の化学処理

- 1) メス・ピンセットを使い、根・土等の混入物を取り除く。
- 2) 酸-アルカリ-酸 (AAA : Acid Alkali Acid) 処理により不純物を化学的に取り除く。その後、超純水で中性になるまで希釈し、乾燥させる。処理した試料を 2 つに分け、一方を年代測定用、他方を安定同位体分析用の試料とする。AAA 処理における酸処理では、通常 1mol/l (1M) の塩酸 (HCl) を用いる。アルカリ処理では水酸化ナトリウム (NaOH) 水溶液を用い、 0.001M から 1M まで徐々に濃度を上げながら処理を行う。アルカリ濃度が 1M に達した時には「AAA」、 1M 未満の場合は「AaA」と表 1 に記載する。
- 3) 試料を燃焼させ、二酸化炭素 (CO_2) を発生させる。
- 4) 真空ラインで二酸化炭素を精製する。
- 5) 精製した二酸化炭素を、鉄を触媒として水素で還元し、グラファイト (C) を生成させる。
- 6) グラファイトを内径 1mm のカソードにハンドプレス機で詰め、それをホイールにはめ込み、測定装置に装着する。

（2）獸骨の化学処理

- 1) 脊試料はコラーゲン抽出 (Collagen Extraction) を行う（表 1 に「CoEx」と記載する）。試料を超純水の入ったガラスシャーレに入れ、ブラシ等を使い、土等の付着物を取り除く。試料をビーカー内で超純水に浸し、超音波洗浄を行う。
 - 2) 0.2M の水酸化ナトリウム水溶液を試料の入ったビーカーに入れ、試料の着色がなくなるまで、1 時間ごとに水酸化ナトリウム水溶液を交換する。その後、超純水で溶液を中性に戻す。試料を凍結乾燥させ、凍結粉碎用セルに入れ、粉碎する。リン酸塩除去のために試料を透析膜に入れて 1M の塩酸で酸処理を行い、超純水で中性にする。透析膜の内容物を遠心分離し、得られた沈殿物に超純水を加え、 90°C に加熱した後、濾過する。濾液を凍結乾燥させ、コラーゲンを得る。得られたコラーゲンを 2 つに分け、一方を年代測定用、他方を炭素・窒素含有量測定用の試料とする。
 - 3) 抽出した試料を燃焼させ、二酸化炭素 (CO_2) を発生させる。
- 以下、（1）～（4）以降と同じ。

4. 年代測定試料の測定方法

加速器をベースとした ^{14}C -AMS 専用装置（NEC 社製）を使用し、 ^{14}C の計数、 ^{13}C 濃度 ($^{13}\text{C}/^{12}\text{C}$)、 ^{14}C 濃度 ($^{14}\text{C}/^{12}\text{C}$) の測定を行う。測定では、米国国立標準局（NIST）から提供されたシュウ酸 (Hox II) を標準試料とする。この標準試料とバックグラウンド試料の測定も同時に実施する。

5. 炭素・窒素安定同位体比及び含有量測定試料（土器付着炭化物）の化学処理工程と測定方法

3 (1) 1) ~ 2) の処理を行う。

3) 抽出したコラーゲンを EA (元素分析装置) で燃焼し、 N_2 と CO_2 を分離・定量する (表 3)。

4) 分離した N_2 と CO_2 は、インターフェースを通して質量分析計に導入し、炭素の安定同位体比 ($\delta^{13}\text{C}$) と窒素の安定同位体比 ($\delta^{15}\text{N}$) を測定する (表 3)。

これらの処理、測定には、元素分析計-安定同位体比質量分析計システム (EA-IRMS : Thermo Fisher Scientific 社製 Flash EA112-DELTA V ADVANTAGE ConFlo IV System) を使用する。 $\delta^{14}\text{C}$ の測定では IAEA の C6 を、 $\delta^{15}\text{N}$ の測定では N1 を標準試料とする。

6. 炭素・窒素含有量測定試料（骸骨）の化学処理工程と測定方法

3 (2) 2) の工程で、コラーゲンを得る。

3) 抽出したコラーゲンを EA (元素分析装置) で燃焼し、 N_2 と CO_2 を分離・定量する (表 3)。

この測定には、標準試料としてアセトアニリドを用い、元素分析装置 (EA : Thermo Fisher Scientific 社製 Flash 2000) を使用する。

7. 算出方法

(1) $\delta^{13}\text{C}$ は、試料炭素の ^{13}C 濃度 ($^{13}\text{C}/^{12}\text{C}$) を測定し、基準試料 (PDB) からのずれを示した値である。 $\delta^{15}\text{N}$ は、試料窒素の ^{15}N 濃度 ($^{15}\text{N}/^{14}\text{N}$) を測定し、基準試料（大気中の窒素ガス）からのずれを示した値である。いずれも基準値からのずれを千分偏差 (‰) で表される。 $\delta^{14}\text{C}$ は AMS 装置と質量分析計で測定され、AMS 装置による値は表中に (AMS) と注記し (表 1)、質量分析計による値は表中に (MASS) と注記する (表 3)。 $\delta^{15}\text{N}$ は質量分析計による値で、表中に (MASS) と注記する (表 3)。

(2) ^{14}C 年代 (Libby Age : yrBP) は、過去の大気中 ^{14}C 濃度が一定であったと仮定して測定され、1950 年を基準年 (0yrBP) として遡る年代である。年代値の算出には、Libby の半減期 (5568 年) を使用する (Stuiver and Polach 1977)。 ^{14}C 年代は $\delta^{14}\text{C}$ によって同位体効果を補正する必要がある。補正した値を表 1 に、補正在していない値を参考値として表 2 に示した。 ^{14}C 年代と誤差は、下 1 衍を丸めて 10 年単位で表示される。また、 ^{14}C 年代の誤差 ($\pm 1\sigma$) は、試料の ^{14}C 年代がその誤差範囲に入る確率が 68.2% であることを意味する。

(3) pMC (percent Modern Carbon) は、標準現代炭素に対する試料炭素の ^{14}C 濃度の割合である。pMC が小さい (^{14}C が少ない) ほど古い年代を示し、pMC が 100 以上 (^{14}C の量が標準現代炭素と同等以上) の場合 Modern とする。この値も $\delta^{14}\text{C}$ によって補正する必要があるため、補正した値を表 1 に、補正在していない値を参考値として表 2 に示した。

(4) 历年較正年代とは、年代が既知の試料の ^{14}C 濃度を元に描かれた較正曲線と照らし合わせ、過去の ^{14}C 濃度変化などを補正し、実年代に近づけた値である。历年較正年代は、 ^{14}C 年代に対応する較正曲線

上の曆年代範囲であり、1標準偏差 ($1\sigma = 68.2\%$) あるいは2標準偏差 ($2\sigma = 95.4\%$) で表示される。グラフの縦軸が ^{14}C 年代、横軸が曆年較正年代を表す。曆年較正プログラムに入力される値は、 $\delta^{14}\text{C}$ 補正を行い、下1桁を丸めない ^{14}C 年代値である。なお、較正曲線および較正プログラムは、データの蓄積によって更新される。また、プログラムの種類によっても結果が異なるため、年代の活用にあたってはその種類とバージョンを確認する必要がある。ここでは、曆年較正年代の計算に、IntCal13 データベース (Reimer et al. 2013) を用い、0xCalv4.3 較正プログラム (Bronk Ramsey 2009) を使用した。曆年較正年代については、特定のデータベース、プログラムに依存する点を考慮し、プログラムに入力する値とともに参考値として表 2 に示した。曆年較正年代は、 ^{14}C 年代に基づいて較正 (calibrate) された年代値であることを明示するために「cal BC/AD」(または「cal BP」) という単位で表される。

8. 測定結果

試料の測定結果を表 1～3 に示す。

(1) 骨の測定結果

試料 FUYU-1 の ^{14}C 年代は $2230 \pm 20\text{yrBP}$ 、曆年較正年代 (1σ) は $365 \sim 211\text{cal BC}$ の間に3つの範囲で示される。統繩文時代前半頃に相当する (臼杵編 2007)。

試料の保存状態について検討すると、コラーゲン回収率 (=コラーゲン量/処理した試料量) は 3.8% で、おむね適正と見られる。また、炭素含有量が 43.2%、窒素含有量が 14.6% と骨コラーゲンとして適正な値である (van Klinken 1999)。C/N 比は、重量比で 3.0、モル比で 3.5 となっており、現生動物骨と同程度と見なされる (DeNiro 1985, Hare and von Endt 1990)。以上のことから、今回の測定結果は試料となった骨コラーゲンの本来の特徴をおむね問題なく示していると判断される。

(2) 土器付着炭化物の測定結果

試料の ^{14}C 年代は、FUYU-2 が $2930 \pm 20\text{yrBP}$ 、FUYU-3 が $2700 \pm 30\text{yrBP}$ である。曆年較正年代 (1σ) は、FUYU-2 が $1195 \sim 1058\text{cal BC}$ の間に3つの範囲、FUYU-3 が $894 \sim 812\text{cal BC}$ の間に2つの範囲でそれぞれ示される。FUYU-2 が繩文時代晚期初頭から前葉頃、FUYU-3 が繩文時代晚期中葉頃に相当する (小林編 2008, 小林 2017)。

次に試料の炭素・窒素安定同位体比 ($\delta^{13}\text{C}$ 、 $\delta^{15}\text{N}$) と炭素・窒素含有量比 (C/N モル比) について検討する。これらの結果について、日本列島における食性分析の成果を参照して検討する。今回測定された試料の値を日本列島の生物に関するデータと比較し、横軸に $\delta^{13}\text{C}$ 、縦軸に $\delta^{15}\text{N}$ を取ったグラフ (Yoneda et al. 2004) に基づいて作成、図 2) と、横軸に $\delta^{13}\text{C}$ 、縦軸に C/N モル比を取ったグラフ (吉田 2006) に基づいて作成、図 3) に示した。

今回測定された試料 2 点の $\delta^{13}\text{C}$ は FUYU-2 が -23.1‰、FUYU-3 が -24.2‰ で、図 2 によると C3 植物や陸生哺乳類、雑食・肉食淡水魚の範囲かそれに近い値に含まれる。 $\delta^{15}\text{N}$ は FUYU-2 が 12.6‰、FUYU-3 が 12.4‰ で、いずれも C3 植物や陸生哺乳類よりかなり高く、鮭類、海生魚類等の値に近い。また、C/N モル比は FUYU-2 が 75.3、FUYU-3 が 48.2 である。 $\delta^{13}\text{C}$ と合わせて図 3 を参照すると、FUYU-2 の $\delta^{13}\text{C}$ は C3 植物や哺乳類、堅果類の範囲に近いが C/N モル比は明らかに高く、FUYU-3 は C3 植物の堅果類の範囲に近い。なお、 $\delta^{15}\text{N}$ が C3 植物やシカ、イノシシ等の陸生哺乳類よりも高いことに関しては、この値が食物連鎖の上位に向かって濃縮されることから、陸生の雑食もしくは肉食動物 (図 2 のグラフには表さ

れていない) 由来の窒素が試料に含まれる可能性もある(赤澤ほか 1993、吉田 2006)。これらの結果より、土器付着炭化物試料 2 点のもとになった食物には、C3 植物(堅果類を含む)や雑食・肉食の哺乳類・海生魚類等が含まれる可能性がある(複数の種類が含まれる可能性もある)。 $\delta^{13}\text{C}$ は海産資源の利用を明確に示す値ではないが、 $\delta^{15}\text{N}$ はそれらに近い値を示すことから、海洋リザーバー効果の影響も若干考慮をする必要がある。

表 1 放射性炭素年代測定結果 ($\delta^{13}\text{C}$ 補正值)

測定番号	試料名	採取場所	試料形態	処理方法	$\delta^{13}\text{C}$ (%)	$\delta^{13}\text{C}$ 補正あり	
					(AMS)	Libby Age (yrBP)	pMC (%)
IAAA-190697	FUYU-1	獸骨集中 層位:III	獸骨	CoEx	-22.72 ± 0.17	2,230 ± 20	75.76 ± 0.23
IAAA-190698	FUYU-2	土器集中(NO.21) 層位:III	土器付着炭化物	AaA	-23.28 ± 0.21	2,930 ± 20	69.43 ± 0.22
IAAA-190699	FUYU-3	土器集中(NO.29) 層位:III	土器付着炭化物	AaA	-26.01 ± 0.28	2,700 ± 30	71.46 ± 0.23

[IAA 登録番号 : #9764]

表 2 放射性炭素年代測定結果 ($\delta^{13}\text{C}$ 未補正值、暦年較正用 ^{14}C 年代、較正年代)

測定番号	$\delta^{13}\text{C}$ 補正なし		暦年較正用(yrBP)	1 σ 暦年代範囲	2 σ 暦年代範囲
	Age (yrBP)	pMC (%)			
IAAA-190697	2,190 ± 20	76.11 ± 0.23	2,230 ± 24	365calBC - 352calBC (9.2%) 297calBC - 228calBC (52.6%) 221calBC - 211calBC (6.4%)	381calBC - 345calBC (18.2%) 323calBC - 205calBC (77.2%)
IAAA-190698	2,900 ± 20	69.68 ± 0.21	2,930 ± 24	1195calBC - 1141calBC (35.1%) 1134calBC - 1082calBC (30.3%) 1064calBC - 1058calBC (2.8%)	1216calBC - 1046calBC (95.4%)
IAAA-190699	2,720 ± 30	71.31 ± 0.23	2,699 ± 26	894calBC - 872calBC (21.2%) 851calBC - 812calBC (47.0%)	901calBC - 808calBC (95.4%)

[参考値]

表 3 炭素・窒素安定同位体比及び含有量

試料名	$\delta^{13}\text{C}$ (%) (MASS)	$\delta^{15}\text{N}$ (%) (MASS)	C 含有量 (%)	N 含有量 (%)	C/N 重量比	C/N モル比
FUYU-1	—	—	43.2	14.6	3.0	3.5
FUYU-2	-23.1	12.6	46.3	0.72	64.5	75.3
FUYU-3	-24.2	12.4	68.4	1.7	41.3	48.2

注 1) 試料 FUYU-1 に関しては「6 炭素・窒素含有量測定試料(獸骨)の化学処理工程と測定方法」、試料 FUYU-2, FUYU-3 に関しては「5 炭素・窒素安定同位体比及び含有量測定試料(土器付着炭化物)の化学処理工程と測定方法」を参照。

注 2) 表 3 に結果を示した試料 FUYU-2, FUYU-3 の炭素と窒素の安定同位体比および含有量の測定は、昭光サイエンス株式会社の協力を得て行った。

文献

- 赤澤威、米田穰、吉田邦夫 1993 北村縄文人骨の同位体食性分析、中央自動車道長野線埋蔵文化財発掘調査報告書11 一明科町内— 北村遺跡 本文編(財)長野県埋蔵文化財センター発掘調査報告書14), 長野県教育委員会、(財)長野県埋蔵文化財センター、445-468
- Bronk Ramsey, C. 2009 Bayesian analysis of radiocarbon dates, *Radiocarbon* 51(1), 337-360
- DeNiro, M. J. 1985 Postmortem preservation and alteration of in vivo bone collagen isotope ratios in relation to palaeodietary reconstruction, *Nature* 317, 806-809
- 小林謙一 2017 縄文時代の実年代 一土器型式編年と炭素14年代一、同成社
- 小林達雄編 2008 總覽縄文土器、總覽縄文土器刊行委員会、アム・プロモーション
- 國木田大、吉田邦夫、辻誠一郎、福田正宏 2010 押出遺跡のタッキー状炭化物と大木式土器の年代、東北芸術工科大学東北文化研究センター研究紀要, 9, 1-14
- Hare, P. E. and von Endt, D. 1990 Variable preservation of organic matter in fossil bone, *Annual Report of Director of the Geophysical Laboratory, Carnegie Institution, Washington, 1989-1990*, Geophysical Laboratory, Washington D.C., 115-118
- Reimer, P. J. et al. 2013 IntCal13 and Marine13 radiocarbon age calibration curves, 0-50,000 years cal BP, *Radiocarbon* 55(4), 1869-1887
- Stuiver M. and Polach H.A. 1977 Discussion: Reporting of ^{14}C data, *Radiocarbon* 19(3), 355-363
- 白杵勲編 2007 科学研究費補助金基盤研究(B) (2) 北海道における古代から近世の遺跡の曆年代 研究成果報告書、札幌学院大学人文学部
- van Klinken, G. J. 1999 Bone collagen quality indicators for palaeodietary and radiocarbon measurements, *Journal of Archaeological Science*, 26, 687-695
- Yoneda, M. et al. 2004 Isotopic evidence of inland-water fishing by a Jomon population excavated from the Boji site, Nagano, Japan, *Journal of Archaeological Science*, 31, 97-107
- 吉田邦夫 2006 煮炊きして出来た炭化物の同位体分析、新潟県立歴史博物館研究紀要7, 51-58

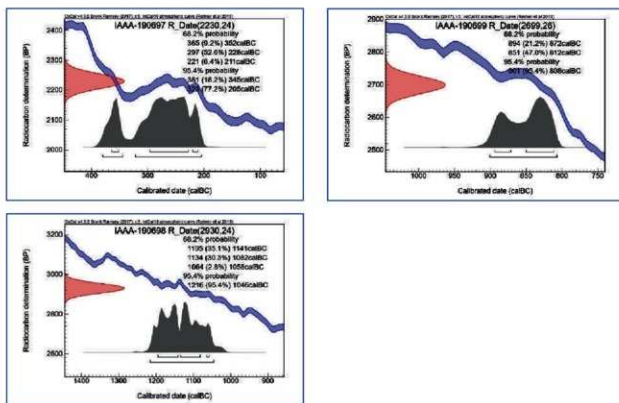


図1 历年較正年代グラフ（参考）

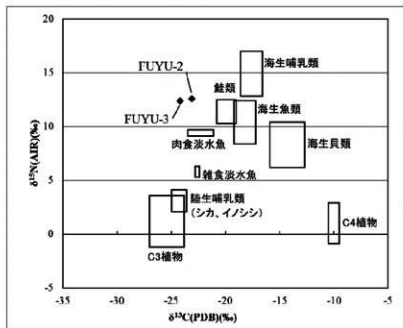


図2 炭素・窒素安定同位体比グラフ（参考）

◆は測定試料。散布図上に表示した枠は食料資源の同位体比の分布範囲を示す。Yoneda et al. 2004に基づき作成した。

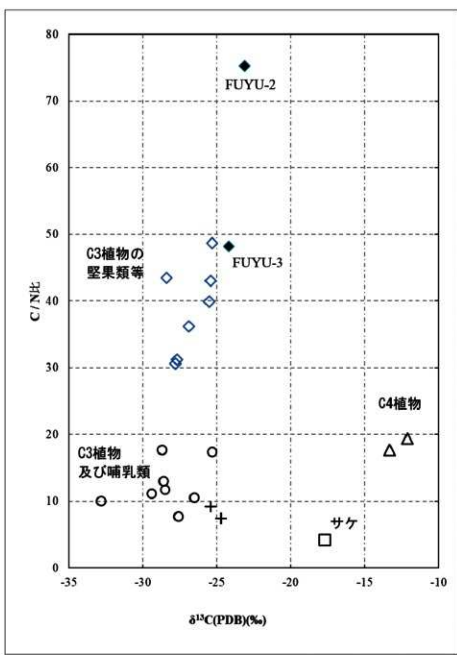


図3 炭素安定同位体比・C/N比グラフ（参考）

グラフのC/N比はモル比。◆は測定試料、その他は現生動植物の炭化試料。現生動植物試料のデータは吉田2006による。また吉田2006、國木田ほか2010を参考に食料資源の大別を示した。◇はC3植物の堅果類等、○は堅果類以外のC3植物、+はC3植物を食べる哺乳類、□はサケ、△はC4植物。なお、吉田2006によると、C3植物の堅果類等（測定データはトチ、同（木灰）、ミズナラ、ドングリ、同（粉）、カチグリ、ヤマユリ、ジャガイモ、以下他の食料資源も同様に示す）のC/N比は30～50、他のC3植物（エゴマ、アズキ、サトイモ、ヤマイモ、ナガイモ、ノビル、マムシグサ、クワイ）及び哺乳類（タヌキ、クマ）は7～20、C4植物（アワ）も堅果類以外のC3植物と同程度とされる。また、サケは海産魚類の範囲に属するものとして示されている。

8. 冬鳥遺跡出土玉製品の材質分析及び产地推定

(株) アースサイエンス

1. 玉製品の実体顕微鏡記載

試料番号 : R17 ユ A4III (19.6.13)

形状 : 板状で、平面形は扇状、扇の中心から角度 70° で交わる約 33mm と約 25mm の 2 つの面が伸びて、円弧状の面と交わる。厚さは、扇の要でもっとも厚く約 8mm。

中心部には直径約 3mm の孔が開けられている。また、長さ 33mm の最大長辺に若干斜交する二本の細い溝があり、とくに上の溝は製品をほぼ一周する。

色調 : 暗緑色～緑色、半透明

岩石名 : (蛇紋岩源) 緑泥石岩

記載 : メッシュ組織が認められる。クロムスピネルと考えられる自形、粒状結晶が微量含まれる。これは製品の薄い側面部のみに観察されるが完全に表面に出でていない。板状の広い面にはほぼ平行に灰白色の鉱物脈が生成するが、炭酸塩鉱物である可能性が高い。輝石の仮像は確認できない。

備考 : 原石を直径 6~7cm の丸い板状の形に加工し、それから 5~6 個の製品をつくった可能性が考えられる。

緑泥石岩化する前にはメッシュ組織をもつ蛇紋岩で、さらにその原岩はダンカンラン岩であると考えられる。帯磁率を携帯型帯磁率計のピンモードで測定したところ 0.02×10^3 SI Unit と低く、磁鉄鉱が大量に生成しているように見えない。

2. 蛍光 X 線分析

(1) 萤光 X 線分析の方法

蛍光 X 線分析はエネルギー分散法蛍光 X 線分析装置を使用し、非破壊で行った。

蛍光 X 線分析のうちファンダメンタルパラメータ法 (FP 法) による分析は、試料をそのまま非破壊で、また粉末状態で、あるいは微量でも分析できるため、簡便な分析方法である。

以下は JEOL 製 JSX-3100R II (XRF) 分析装置を使用した場合である。各元素の一般的な測定条件を表 3 に例として示す。蛍光 X 線のエネルギーは個々の試料の条件によって、ほぼ表に示した範囲で変動する。X 線管球は、エンドウンドウ型の Rh 管球を用いている。測定環境は大気および真空状態で測定している。なお、試料室（大気および真空状態）と X 線強度の関係は、軽元素 (Na~Ca) の X 線は大気により吸収され減衰する。よって FP 法の場合は真空状態で測定を行ない、測定時間は一試料につき約 60 秒である。各元素の測定条件（例）を表 1 に示す。

定量分析は付属のソフトを用いたファンダメンタルパラメータ法 (FP 法) によって行う。

なお、この装置では、Na-U の元素が定量可能であり、C, N, O といった軽元素は検出できない。

試料の測定で用いる FP 法は、標準試料を用いた検量線法とは異なり、分析線の強度が試料の組成と基礎的定数（ファンダメンタルパラメータ）の関数として記述できるという考え方を基礎とした理論計算法である。この方法は、出所不明の未知試料の分析や、上述のように試料の形状や量に関わらず前処理なしで定量できるメリットがある。

表1 各元素の測定条件（例）

スペクトル名				蛍光X線 エネルギー (KeV)	スペクトル 強度比
K線	L線	L α	L β		
K α	K β			1.04-2.01	K α / K β 比≈5~7
Na-P	S-Ba			2.31-36.38	
		La-U	La-U	4.65-17.22	L α / L β 比≈1

※ 特性X線、コンプトン散乱線 (Rh) : Rh Kα COMP, Rh Kβ COMP
分析を行なった試料は非破壊でそのまま試料室に設置し、真空状態で測定を行なった。

(2) 蛍光X線分析の結果

蛍光X線分析を行なった分析ポイントは試料写真に示した。また、分析結果を以下の表2に示す。

3. 考察

(1) 岩石名

表3に整理した分析結果と、これに基いて判定した鉱物名を示す。

試料 R17 ユ A4III は目視と蛍光X線分析を総合すると、蛇紋岩源の緑泥石岩である。

(2) 成因

この緑泥石岩は実体顕微鏡観察からメッシュ組織が認められるので、かんらん岩がいったん蛇紋岩化作用を受けて蛇紋岩になった後に、緑泥石すなわち、Alが加わる交代作用を受けて、緑泥石岩に変化したと考えられる。

一般にかんらん岩が蛇紋岩化作用を受けて蛇紋岩に変わると、かんらん石や輝石に含まれていた鉄が生成する蛇紋石に初生鉱物ほどには固溶されず、別途磁鉄鉱が生成する。そのため、一般に蛇紋岩は帶磁率が非常に高い岩石となる。しかし最近、岩内岳かんらん岩体の蛇紋岩化作用の研究で、斜方輝石かんらん岩（ハルツバージャイト）起源の蛇紋岩は確かにそうであるが、輝石を含まないダンかんらん岩（ダナイト）は蛇紋岩化作用が進んでも、磁鉄鉱ダストをほとんど生産しないという研究が現れた（Miyoshi et al. 2014）。

磁鉄鉱ダストが多い蛇紋岩は、目視で黒っぽくなり（暗緑色）、これがその後緑泥石岩化したとしても、磁鉄鉱ダストは消えないでの、透明感がある緑色～淡緑色の玉類の材料にはなり得ない。分析試料は透明感のある緑色であり、磁鉄鉱ダストが少ないと帶磁率が低いことからも明らかである。

目視で自形のクロムスピネル（神居古潭帯ではダンかんらん岩の大部分のクロムスピネルが自形）が微量ながら含まれると観察した。しかし、蛍光X線による非破壊分析を、鉱物が小さく分析しにくい部分にあるという試料の条件からうまく行えなかつたために、その真偽は不明である。

しかし、淡緑色半透明部はメッシュ組織が判別でき、かつ緑泥石であることが確認されただけでなく、ニッケルを有為に含む（NiOとして0.14～0.23wt%）ことや、MgOに富むなど、蛇紋岩起源の緑泥石であると考えて矛盾がない。表3には他の遺跡における蛇紋岩源緑泥石岩の分析値も示したが、今回の分析値とよく似ている。

それでは、この緑泥石の Al はどこから来たのであろうか？Al は、火成岩の貫入による火成岩－蛇紋岩体間の交代作用によってもたらされた可能性が考えられる。神居古瀧帶の蛇紋岩の例では、かんらん岩へ蛇紋岩にしばしば微閃綠岩へ微はんれい岩（微：“細粒の”という意味）の岩脈が貫入しており、これらの岩脈は急冷線をもち、蛇紋岩側では貫入岩との境界部が緑泥石岩化している。しかし、一般にこの緑泥石岩には多量の磁鉄鉱その他の不透明鉱物を生じて、暗緑色～黒色を呈することが多い。これは、かんらん石等の初生鉱物を残す蛇紋岩に、岩脈が貫入することにより、急速に蛇紋岩化が進行し、多量の磁鉄鉱が一挙に生成した可能性が考えられる。この場合のかんらん岩は斜方輝石があることで磁鉄鉱が生成され易い (Miyoshi et al., 2014) 斜方輝石かんらん岩（ハルツバージャイト）であるのかもしれない。

一方、岩脈の方は母岩に热水を供給することで蛇紋岩化作用ないし緑泥石岩化を進行せらる一方で、蛇紋岩化作用に伴って放出される Ca を吸収し、ロジン岩化が進み、種々のカルシウム鉱物の集合体になることが多い。すなわち、蛇紋岩に接する岩石のロジン岩化は、それが起ったときには蛇紋岩体側にまだかんらん石、輝石などの初生鉱物が残っていて、蛇紋岩化作用が続いているおり、貫入に伴う热水によって蛇紋岩化作用が促進され、それに伴って、Ca が蛇紋岩体側から放出されていたことを示している。

それならば、磁鉄鉱ダストを含まない透明感のある緑泥石岩はどういう条件でできるのであろうか？玉類として産出する緑泥石岩は、大部分自形のクロムスピネルを含む。すなわち、原岩が輝石を含まないダンかんらん岩である。これは、Miyoshi et al. (2014)に基けば、ダンかんらん岩の蛇紋岩化作用では磁鉄鉱をほとんど生産しないのであるから、蛇紋岩化が完了しても磁鉄鉱が少なく、透明感のある蛇紋岩になっていた可能性が考えられる。これに微閃綠岩類が貫入して Al 交代作用が起り、蛇紋石を緑泥石に交代させたとしても、初生のかんらん石等はすでに消費された後なので、新たに磁鉄鉱ダストが生産されることはないということが考えられる (岡村ほか, 2018)。

まとめると、玉類に使用された緑泥石岩は以下の条件で生成すると考えられる。

- ① 原岩がダンかんらん岩である。
- ② 蛇紋岩化作用が終了しており、初生かんらん石は残存していない。
- ③ 蛇紋岩体のこのような場所（おそらく蛇紋岩化作用が良く進んだ岩体の周縁部）に火成岩の貫入が起り、Al 交代作用を受ける。

(3) 産地の推定

北海道のかんらん岩製の玉類とされていた、旧石器の今金町美利河 1 遺跡出土の玉類はかんらん岩へ蛇紋岩源ではあるが、緑泥石岩化していることがわかった (岡村ほか, 2003)。その後、北海道の各地の縄文遺跡の玉類の分析から、大量の蛇紋岩源緑泥石岩が見い出されてきた (例えば、岡村ほか, 2008; 土肥・柳漸, 2009) が、その産地については道内には産地が見当たらないので、大陸あるいは本州産であろうという推定にとどまっていた。

しかし近年、岩石・鉱物収集家の堀 俊樹氏が、平取町仁世宇川の蛇紋岩体から透明度の高い緑泥石岩の転石群を発見し、岡村ほか (2018) によって報告された。ただし、道内の旧石器～縄文時代に使用されている緑泥石岩製玉類の産地にこれで決着がついた訳ではない。

すなわち、先に述べた条件があれば、他にも産地となり得る緑泥石岩は発見されるであろう。したがって、今後の更なる研究が必要であるが、「手近で手にはいるものはなるべくそれを

使う」という一種の経済合理性を考える（加藤ほか, 2019）ならば、仁世宇川蛇紋岩体の緑泥石岩は道内産地であるので、ひとつの有力な産地候補となり得るであろう。

引用文献

- 土肥研晶・柳瀬由佳（編・著）（2009）：「恵庭市西島松遺跡（6）」。（財）北海道埋蔵文化財センター 調査報告書, 第260集, 第1分冊本文編, 293p.
- 加藤孝幸・飯田友章・米島真由子・齊藤晃生（2019）：北海道における石材産地推定の試みから見える石質の価値観—黒曜石と珪質頁岩、蛇紋岩質土器、および蛇紋岩関連玉類—。地球科学, 73, 93~102.
- Miyoshi, A., Kogiso, T., Ishikawa, N. and Mibe, K. (2014) : Role of silica for the progress of serpentinization reactions : Constraints from successive changes in mineralogical textures of serpentinites from Iwanaidake ultramafic body, Japan. Amer. Mineral., 99, 1035-1044.
- 岡村 聰・加藤孝幸・寺崎康史（2003）：今金町美利河1遺跡から出土した玉類の石質と起源。北海道考古学, 39, 77-82.
- 岡村 聰・菅原いよ・加藤孝幸・加藤欣也・立田 理（2008）：根室市初田牛および常呂川河口遺跡から出土する玉類の石質と起源。北海道教育大学紀要（自然科学編）, 59卷, 第1号, 19-29.
- 岡村 聰・富岡 明・加藤孝幸・立田 理・東 豊土・堺 俊樹（2018）：神居古潭帯の蛇紋岩にともなう緑泥石岩—縄文遺跡から出土する緑色玉類の原産地の可能性一。日本地質学会第125年学術大会, 演旨, 363.
- Okamura, S., Tomioka, A., Katoh, T., Tatsuda, S., Azuma, T. and Sakai, T. (2018) : Chloritized rocks associated with serpentinite from the Kamuikotan Tectonic Belt, North Japan: implications for source and manufacturing of the beads and stone tools from the Paleolithic – Jomon period. Learning from our ancestors: Using Modern Earth Science Methods to Understand Ancient Practices Posters, AGU Fall Meeting 2018, GH11B-0916.

表2 冬鳥遺跡出土玉製品 分析

分析 ポイント	R17-LA4III(19.6.13)					
	1	2	3	4	5	
酸化物	重量%	モル%	重量%	モル%	重量%	モル%
Na ₂ O	3.43	3.21	3.86	2.93	2.77	2.49
MgO	31.98	46.04	23.11	36.21	46.32	33.68
Al ₂ O ₃	16.09	9.16	15.81	9.79	16.53	9.50
SiO ₂	38.20	36.88	35.06	36.85	37.93	36.99
P ₂ O ₅	0.94	0.38	3.60	1.60	0.77	0.32
SO ₂	0.07	0.06	0.14	0.06	0.05	0.02
K ₂ O	0.08	0.05	0.24	0.16	0.11	0.06
CaO	1.08	1.12	5.27	5.33	0.37	0.39
TiO ₂	0.05	0.03	0.14	0.11		
Cr ₂ O ₃						
MnO	0.11	0.09	0.22	0.20	0.09	0.07
Fe ₂ O ₃	7.77	2.82	12.26	4.85	9.13	3.35
NO	0.19	0.15	0.21	0.18	0.14	0.11
ZnO	0.01	0.01	0.03	0.02	0.01	0.01
SrO	0.00	0.00	0.02	0.01	0.00	0.01
ZrO ₂	0.01	0.00	0.03	0.01	0.02	0.01

※字：重量% (検出限界) のため零と見て差記 (Na₂O-CaOは標準元素のため、誤差が大きい)。

分析方法：小さい凹いり内を充填後、真空状態で測定。100%ノーライズ。空欄は未検出。電子線の照射範囲は直径約1.5mmである。

表3 塩光X線分析結果と鉱物名

試料名	R17とA4Ⅲ					参考値1 ^{※4}	参考値2 ^{※5}
	1 ^{※2}	2 ^{※2}	3	4	5 ^{※3}		
産状	“黒色結晶”	“黒色結晶”	淡緑色 半透明	淡緑色 半透明	白色脈	淡緑色 半透明	淡緑色 半透明
酸化物(重量%)							
SiO ₂	38.90	36.93	38.61	37.31	35.26	37.97	37.94
TiO ₂	0.05	0.15	0.00	0.33	1.07	0.02	0.37
Al ₂ O ₃	16.38	16.65	16.83	16.30	16.85	24.09	16.14
Cr ₂ O ₃	—	—	—	—	0.02	—	—
FeO	7.12	11.62	8.37	7.75	4.80	4.97	12.15
MnO	0.11	0.23	0.09	0.12	0.10	0.10	0.07
NiO	0.19	0.22	0.14	0.23	0.02	—	0.34
MgO	32.57	24.34	32.43	34.21	21.55	31.15	29.96
CaO	1.10	5.55	0.38	1.15	18.09	0.90	1.57
Na ₂ O	3.49	4.07	2.98	2.53	2.02	0.73	0.93
K ₂ O	0.08	0.25	0.17	0.06	0.21	0.07	0.53
Total ^{※1}	99.99	100.01	100.00	99.99	99.99	100.00	100.00
酸素数(O=)							
Si	28	28	28	28	28	28	28
Ti	6.554	6.525	6.516	6.315	6.221	6.514	6.514
Al	0.006	0.020	—	0.042	0.003	0.048	0.048
Cr	3.252	3.468	3.348	3.252	4.651	3.267	3.267
Fe ²⁺	—	—	—	—	—	—	—
Mn	1.003	1.717	1.181	1.097	0.681	1.745	1.745
Ni	0.016	0.034	0.013	0.017	0.014	0.011	0.011
Mg	0.025	0.031	0.019	0.032	—	0.047	0.047
Ca	8.181	6.148	8.158	8.632	7.607	7.670	7.670
Na	0.198	1.051	0.069	0.208	0.157	0.288	0.288
K	1.140	1.395	0.975	0.830	0.231	0.311	0.311
陽イオン合計	0.016	0.057	0.037	0.012	0.016	0.116	0.116
総合	20.391	20.446	20.316	20.437	19.581	20.017	—
鉱物名	緑泥石	緑泥石 (方解石混り?)	緑泥石	緑泥石	緑泥石+ 方解石?	緑泥石	緑泥石

注: ※1: 分析値は100%ノーマライズ、緑泥石に通常含まれない成分は除外した(「塩光X線分析」の項参照)。

※2: “黒色結晶”は完全に表面に出ておらず、そのものを分析できなかった。分析値は表に示した他に。

P₂O₅やSO₃を有効に富む(「塩光X線分析」の項参照)。

※3: 化学組成から緑泥石成分を除くとCaが残るので、方解石(あるいはアラレ石)である

可能性が高い。

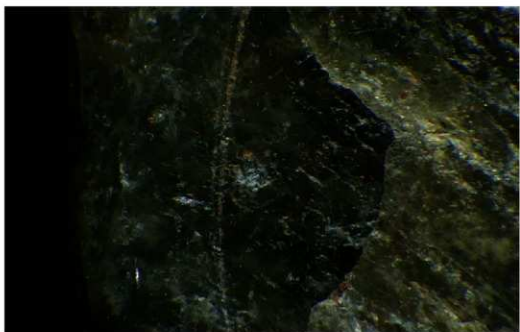
※4: 惠庭市西島松遺跡出土玉類の分析値例。土肥・柳瀬(2009)のサンプルP439-No.28 1-1。

※5: 横室市初田牛2遺跡出土玉類の分析値例。岡村(2008)のNo.58。

試料の写真



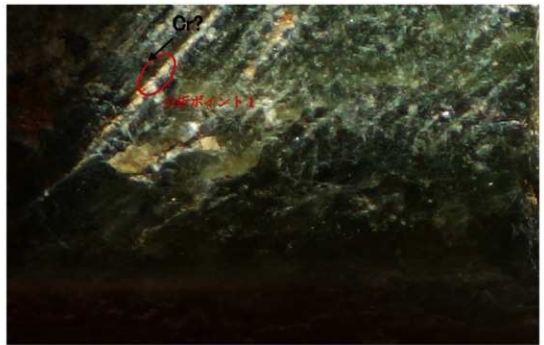
広い面は表・裏とも緑泥石主体でクロムスピネルや輝石の仮像は確認できない。
上の写真的右肩(分析ポイント5)には白色～帯緑灰色の鉱物脈が認められる。



微細なメッシュ組織が認められる。



側面の形状。



側面には微細な自形のクロムスピネル(Cr)?が認められる。若干内部にあって、表面に出でていないようにも見える。

9. テフラ分析

藤根 久・鈴木正章（バレオ・ラボ）

1.はじめに

様似町冬島遺跡から検出されたテフラについて、鉱物組成の分析および火山ガラスの屈折率測定を行い、テフラ同定を行った。

2. 試料と方法

分析試料は、T-1 の II 層下の黒色土壤中に挟在する黄橙色火山灰の 1 点である（表 1、図版 1-1）。

表1 分析試料とその特徴

分析No.	位置	層位	火山灰の色調
1	T-1	II 層下	黒色土壤中挟在するにぶい黄橙色（10YR 6/4）火山灰

テフラ試料は、以下の方法で処理した。

火山灰混じりの土壤試料を湿润重量 7.37g 秤量した後、1φ (0.5mm)、2φ (0.25mm)、3φ (0.125mm)、4φ (0.063mm)、4.5φ (0.044mm) の 5 枚の篩を重ね、湿式篩分けをした。

4.5φ 篩残渣 54453mkj、について、重液（テトラブロモエタン、比重 2.96）を用いて重鉱物と軽鉱物に分離した。軽鉱物については、水浸の簡易ブレバラートを作製し、軽鉱物組成と火山ガラスの形態分類を行った。火山ガラスの形態は、町田・新井（2003）の分類基準に従って、バブル型平板状（b1）、バブル型 Y 字状（b2）、軽石型纖維状（p1）、軽石型スponジ状（p2）、急冷破碎型フレーク状（c1）、急冷破碎型塊状（c2）に分類した。重鉱物については、封入剤レーキサイドセメントを用いてブレバラートを作製し、斜方輝石（Opx）、单斜輝石（Cpx）、角閃石（Hd）、磁鐵鉱（Mg）を同定・計数した。

4.5φ 軽鉱物中の火山ガラスについては、横山ほか（1986）に従い、温度変化型屈折率測定装置（株式会社古澤地質製、MAIOT）を用いて屈折率測定を行った。

3. 結果

以下に、テフラ試料の特徴、鉱物組成、火山ガラスの形態分類、屈折率の測定結果について述べる。

【分析 No. 1 (T-1, II 層下)】

分析試料は、黒色土壤中に挟在するにぶい黄橙色（10YR 6/4）の火山灰である。4.5φ 粒子の重液分離では、軽鉱物の割合が非常に高い（表 2）。

表2 テフラ試料の湿式篩分けと 4.5φ 篩残差の重液分離の結果

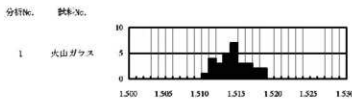
分析No.	処理乾重 (g)	砂粒分の粒度組成（重量g）					軽・重鉱物組成（重量g）	
		1φ	2φ	3φ	4φ	4.5φ	軽鉱物	重鉱物
1	7.37	0.08	0.08	0.54	0.69	0.25	0.15	0.04

軽鉱物では、不明粒子を含むものの、火山ガラスを多く含み、長石（P1）や石英（Qu）を伴う。火山ガラスは、軽石型スponジ状ガラス（p2）が最も多く、バブル型ガラス（b1, b2）や軽石型纖維状ガラス（p1）、急冷破碎型塊状ガラス（c2）を伴う。また、重鉱物では、斜方輝石（Opx）が多く、单斜輝石（Cpx）や角閃石（Hd）、磁鐵鉱（Mg）を伴う（表 3、図版 1-2～10）。

火山ガラスの屈折率は、範囲 1.5107–1.5182（平均値 1.5144）であり、屈折率範囲が特徴的に広い（図 1）。

表2 火山ガラス中の鉱物組成

分類No.	石英 (%)	長石 (%)	不純 (%)	火山ガラス						ガラス 合計	鉱物 合計	鉱物				葉酸鉱 の合計	
				バブル (晶)型	柱状 (晶)	柱状 (液)	スコシジン (液)	フレーラー (液)	塊状 (液)			斜方輝石 (%)	角閃石 (%)	長石 (%)	葉酸鉱 (%)		
1	2	12.1	43	2	8	6	4.6	—	5	83	236	117	37	12	25	37	230



4. 考察

T-1 の II 層下の黒色土壤中に挟在する黄橙色火山灰は、鉱物組成の特徴、火山ガラスの屈折率測定の結果から、白頭山苦小牧テフラ (B-Tm) と同定される。

白頭山苦小牧テフラ (B-Tm) は、10 世紀に中国と北朝鮮の国境に位置する白頭山火山から噴火したテフラである。火碎流を伴った降下軽石や降下火山灰であり、東側 1500km に及ぶ。斑晶鉱物としてガラス質が主体で、アルカリ長石を特徴的に含み、斜暈輝石を僅かに含む。軽石型ガラスおよびバブル型ガラスの屈折率は、1.511–1.522 である（町田・新井, 2003）。

最近、AD 774–775 の ^{14}C スパイクを利用した年代決定法から、B-Tm の噴火年代は AD 946 の冬であったと判明した (Hakozaki, et al., 2018)。

引用文献

- Hakozaki, M., Miyake, F., Nakamura, T., Kimura, K., Masuda, K. and Okuno, M. (2018) Verification of the annual dating of the 10th century Baitoushan Volcano eruption based on AD 774–775 carbon-14 spike. Radiocarbon, 60 (1), 261–268.
 町田 洋・新井房夫 (2003) 新編火山灰アトラス, 336p, 東京大学出版会。
 横山卓雄・榎原 徹・山下 透 (1986) 温度変化型屈折率測定装置による火山ガラスの屈折率測定。第四紀研究, 25, 21–30.

10. 冬島遺跡出土黒曜石製石器の産地推定

竹原弘展 (バレオ・ラボ)

1.はじめに

様似町字冬島に所在する冬島遺跡から出土した黒曜石製石器について、エネルギー分散型蛍光X線分析装置による元素分析を行い、産地を推定した。

2. 試料と方法

分析対象は、遺跡より出土した黒曜石製石器計15点である(表1)。時期は、統繩文時代初頭の大狩部式から東歌別式期とみられている。試料は、測定前に超音波洗浄器やメラミンフォーム製スポンジを用いて、測定面の洗浄を行った。

分析装置は、エスアイアイ・ナノテクノロジ一株式会社製のエネルギー分散型蛍光X線分析計 SEA1200VX を使用した。装置の仕様は、X線管ターゲットはロジウム(Rh)、X線検出器はSDD 検出器である。測定条件は、測定時間100sec、照射径8mm、電圧50kV、電流1000μA、試料室内雰囲気は真空に設定し、一次フイルタに Pb 測定用を用いた。

黒曜石の産地推定には、蛍光X線分析によるX線強度を用いた黒曜石産地推定法である判別図法を用いた(望月, 1999など)。本方法では、まず各試料を蛍光X線分析装置で測定し、その測定結果のうち、カリウム(K)、マンガン(Mn)、鉄(Fe)、ルビジウム(Rb)、ストロンチウム(Sr)、イットリウム(Y)、ジルコニウム(Zr)の合計7元素のX線強度(cps: count per second)について、以下に示す指標値を計算する。

- 1) Rb 分率=Rb 強度×100/(Rb 強度+Sr 強度+Y 強度+Zr 強度)
- 2) Sr 分率=Sr 強度×100/(Rb 強度+Sr 強度+Y 強度+Zr 強度)
- 3) Mn 強度×100/Fe 強度
- 4) log(Fe 強度/K 強度)

そして、これらの指標値を用いた2つ

表1 分析対象

分析No.	器種	グリッド・遺構	層位	サイズ	台帳No.・備考
1	石鏃	A4	III	(32.44)×26.39	No. 2-3
2	両面調整	A4	III	(48.39)×43.63	No. 4-5
3	石鏃	A4	III	26.94×21.18	No. 3-19
4	石鏃	A4	III	22.12×12.02	No. 3-13
5	石鏃	A4	III	22.54×10.60	No. 3-10
6	石鏃	A4	III	20.51×12.66	No. 4-11
7	石鏃	A5	III	20.81×11.76	No. 3-6
8	石鏃	A5	III	16.15×11.06	No. 6-13
9	石鏃	A5	III	16.61×16.17	No. 4-19
10	石鏃	A5	III	20.22×12.27	No. 5-16
11	石鏃	A5	III	(15.77)×14.97	No. 5-16
12	石鏃	A5	III	(27.91)×15.80	No. 6-6
13	石鏃	A5	III	22.32×16.96	No. 6-6
14	石鏃	縦集中	III	(19.46)×12.50	No. 1-8
15	石鏃	P-10	覆土	23.52×11.89	No. 1-11



図1 黒曜石产地分布図(東日本)

の判別図(横軸 Rb 分率 - 縦軸 Mn 強度 × 100/Fe 強度の判別図と横軸 Sr 分率 - 縦軸 log(Fe 強度/K 強度)の判別図)を作成し、各地の原石データと遭跡出土遺物のデータを照合して、産地を推定する。この方法は、できる限り蛍光 X 線のエネルギー差が小さい元素同士を組み合わせて指標値を算出するため、形状、厚み等の影響を比較的受けにくく、原則として非破壊分析が望ましい考古遺物の測定に対して非常に有効な方法であるといえる。ただし、風化試料の場合、log(Fe 強度/K 強度)の値が減少する(望月, 1999)。試料の測定面には、なるべく平滑な面を選んだ。

原石試料は、採取原石を割って新鮮な面を露出させた上で、産地推定対象試料と同様の条件で測定した。表2に判別群一覧とそれぞれの原石の採取地点および点数を、図1に各原石の採取地の分布図を示す。

3. 分析結果

表3に石器の測定値および算出した指標値を、図2と図3に黒曜石原石の判別図に石器の指標値をプロットした図を示す。視覚的にわかりやすくするため、図では各判別群を楕円で取り囲んだ。

分析の結果、4点が上士幌群(北海道、上士幌エリア)、10点が所山群(北海道、置戸エリア)の範囲にプロットされた。分析No.9は、図2では所山群にプロットされたが、図3では所山群の下方にプロットされた。これは、先述したように遺物の風化による影響と考えられ(望月, 1999)、所山群に属する可能性が高い。

図2、3の判別図では、赤井川群と上土幌群の範囲の一部に重複があるため、区別が困難な場合がある。そこで、以下に示すY分率を算出した。

表2 東日本黒曜石产地の判別群

$$Y\text{分率} = Y\text{强度} \times 100 / (Rb\text{强度} + Sr\text{强度} + Y\text{强度} + Zr\text{强度})$$

赤井川群および上士幌群の原石および石器について、横軸 Y 分率、縦軸 Mn 強度×100/Fe 強度をプロットした判別図を図 4 に示す。図 4 からも、4 点は上士幌群と判断できる。

表3に、判別図法により推定された判別群名とエリア名を示す。

4. おわりに

冬島遺跡より出土した黒曜石製石器 15 点について、蛍光 X 線分析による产地推定を行った結果、4 点が上土幌、11 点が置戸エリア産と推定された。

引用文献

望月明彦 (1999) 上和田城山遺跡出土の黒曜石产地推定。大和市教育委員会編「埋蔵文化財の保管と活用のための基礎的整理報告書 2—上和田城山遺跡篇一」: 172-179, 大和市教育委員会。

表3 測定値および产地推定結果

分析 No.	K強度 (cps)	Mn強度 (cps)	Fe強度 (cps)	Nb強度 (cps)	Sr強度 (cps)	Y強度 (cps)	Zr強度 (cps)	Rb分率 Mn*100 Fe	Sr分率 log E _K	Y分率 判別群	エリア	分析 No.
1	266.7	79.3	1848.4	739.8	420.8	352.4	905.9	30.58	4.29	17.40	0.84	14.57 所山
2	275.9	82.6	1914.3	752.5	438.2	356.6	901.9	30.72	4.32	17.89	0.84	14.56 所山
3	280.5	83.2	2001.4	777.2	440.8	369.4	920.2	30.99	4.16	17.58	0.85	14.73 所山
4	289.9	93.4	2121.7	829.1	363.6	435.1	812.7	33.97	4.40	14.90	0.86	17.83 上土幌
5	255.2	80.6	1834.8	708.1	306.9	358.6	656.1	34.89	4.39	15.12	0.86	17.67 上土幌
6	266.0	81.3	1933.7	747.9	420.4	353.4	885.9	31.06	4.20	17.46	0.86	14.68 所山
7	273.4	83.1	2067.5	770.9	427.8	356.3	889.1	31.54	4.04	17.50	0.88	14.58 所山
8	174.2	52.9	1304.5	823.7	296.2	251.9	633.0	30.73	4.05	17.38	0.87	14.73 所山
9	231.1	58.9	1503.7	885.0	315.7	275.7	675.1	31.60	3.92	17.05	0.81	14.89 所山?
10	209.9	62.6	1520.5	597.7	337.7	284.7	722.7	30.76	4.12	17.38	0.84	14.66 所山
11	293.8	89	2076.8	835.9	463.6	391.1	973.3	31.38	4.29	17.40	0.82	14.68 所山
12	288.4	95.0	2053.7	844.3	365.5	446.5	802.3	34.34	4.62	14.86	0.85	18.16 上土幌
13	206.9	94.3	2053.5	850.2	369.8	448.3	817.1	34.21	4.59	14.88	0.83	18.04 上土幌
14	281.0	84.7	2056.4	812.0	445.9	380.7	946.3	31.41	4.12	17.25	0.86	14.73 所山
15	227.3	67.6	1686.5	671.5	381.2	320.5	801.9	30.87	4.01	17.53	0.87	14.73 所山
												置戸?
												置戸?

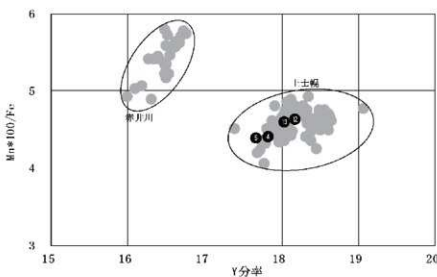


図4 黒曜石产地推定判別図(3)

図版 1



TP-1・P-6～P-9

図版 2



遺物出土状況・礫集中3出土状況・メインセクション

图版3



出土遗物(土器缩尺任意、石器·骨角器5=2/1)

報告書抄録

ふりがな	さまにちようふゆしまいせきはつくつちようさほうこく						
書名	様似町冬島遺跡発掘調査報告						
副書名							
巻次							
シリーズ名	様似郷土館紀要						
シリーズ番号	2号						
編著者名	高橋美鈴						
編集機関	様似町教育委員会						
所在地	〒058-8501 北海道様似郡様似町大通1丁目21番地 TEL 0146-36-2521						
発行年月日	令和2(西暦 2020)年3月31日						
ふりがな 所収遺跡名	ふりがな 所 在 地	コ 一 ド		世 界 測 地 系	調 査	調 査	調査原因
ふりがな 所 収 遺 跡 名	所 在 地	市町村	遺跡番号	北 緯 東 経	期 間	面 積	
ふりがな 冬島遺跡	ふりがな 冬島遺跡	01608	K-08-11	42° 06' 05"	142° 59' 08"	20190513 ~ 20190624	30 m ² 詳細分布調査
39							
所 収 遺 跡 名	種 別	主 な 時 代	主 な 遺 構	主 な 遺 物	特 記 事 項		
ふりがな 冬島遺跡	集落跡	縄文時代晚期～ 続縄文文化期初頭	土坑、獣骨集中、土器集中、礪集中	土器、石器、骨角器、 獣骨・魚骨			
要 約	調査範囲は冬島川とポンサヌシベツ川に挟まれた海岸段丘上に位置し、縄文時代晚期から続縄文文化期初頭の獣骨集中、土器集中、礪集中、ビットが検出された。						

<年 報>

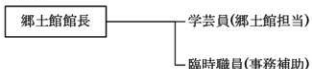
様似郷土館

1. 施設概要

所在地 〒058-0024 北海道様似郡様似町会所町1番地
建物構造 鉄筋コンクリート平屋建て
建物面積 199.74 m²
開 館 昭和42年4月5日
開館時間 10:00~16:30
休館日 月曜日、祝日の翌日、年末年始

2. 運営

(1) 組織



(2) 職員

平成30年度

教育委員会
教育長 荒木輝明
生涯学習課参事 川口 達也(郷土館館長)
生涯学習課主幹 児玉 正敏
学芸員 高橋 美鈴(郷土館担当)
臨時職員(事務補助) 高木 ひとみ

令和元年度

教育委員会
教育長 荒木輝明
生涯学習課参事 川口 達也(郷土館館長)
生涯学習課主幹 児玉 正敏
主査(学芸員) 高橋 美鈴(郷土館担当)
臨時職員(事務補助) 吉井 妃奈

(3) 様似郷土館運営審議会(兼) 様似町文化財調査委員会

任期: 平成29年11月1日~令和元年10月31日
委員長: 笹島 秀則 副委員長: 佐々木 正
委 員: 成田 康尋、前 春雄、泉田 小百合

任期：令和元年 11月 1日～令和3年 10月 31日

委員長：佐島 秀則 副委員長：佐々木 正

委 員：成田 康尋、前 春雄、泉田 小百合

3.郷土館利用状況

平成 30 年度

月	日数	大人	小人	町内	道内	道外	計
4月	26	35	0	13	19	3	35
5月	23	76	13	25	55	9	89
6月	26	42	0	15	23	4	42
7月	26	96	0	48	22	26	96
8月	26	86	7	9	53	31	93
9月	26	59	5	34	24	6	64
10月	26	126	1	20	69	38	127
11月	25	17	2	4	8	7	19
12月	21	35	0	5	30	0	35
1月	22	40	1	6	31	4	41
2月	23	13	0	3	7	3	13
3月	26	19	0	9	9	1	19
計	296	644	29	191	350	132	673

令和元年度

月	日数	大人	小人	町内	道内	道外	計
4月	26	32	6	9	24	5	38
5月	24	133	35	32	104	32	168
6月	26	91	0	15	41	35	91
7月	26	97	25	57	55	10	122
8月	27	49	2	5	28	18	51
9月	25	39	0	1	27	11	39
10月	26	75	4	22	56	1	79
11月	26	20	1	5	16	0	21
12月	23	6	0	0	6	0	6
1月	22	6	0	3	1	2	6
2月	24	1	0	0	1	0	1
3月	1	4	1	2	3	0	5
計	276	553	74	151	362	114	627

4.郷土館事業活動内容

(1)寄贈資料受入件数

平成30年度

受入日	資料名	点数
5月31日	S型シルバー玉巻器	1
12月19日	キジの剥製	1
	合計	2

令和元年度

受入日	資料名	点数
5月31日	海上自衛隊関連資料 他	65
6月21日	第9次南極地域観測協力記念盾 他	8
10月16日	赤鶴夷焼壙 他	3
11月15日	草履 他	10
11月30日	角樽 他	7
2月5日	二股花びん他	11
	合計	104

(2)公開・展示

平成30年度

・特別展「冬島遺跡が語るもの～様似の続縄文人の暮らし～」

実施期間 平成30年11月3日～12月2日

会場 様似町中央公民館 コミュニティーフロア

(3)講演・講座

平成30年度

・様似山道セミナー(講演)

講座名「様似山道と歴史の道」

講師 浅野 啓介 氏(文化庁文化財部記念物課史跡部門 文化財調査官)

日時 平成30年5月11日

会場 様似町中央公民館 小ホール

内容

「歩き・み・ふれる歴史の道～様似大会～」連携事業として、浅野啓介氏(文化庁文化財部記念物課史跡部門 文化財調査官)をお招きして、国内の歴史の道の事例紹介や文献からみる様似山道の歴史についてご講演いただいた。

・遺跡セミナー①(講演)

講座名「冬島遺跡が語るもの」

講師 守屋 豊人 氏(北海道大学埋蔵文化財調査センター)

日時 平成30年10月25日

会 場 様似町中央公民館 小ホール

内 容

当町学芸員による今年度の冬島遺跡発掘調査の報告及び外部講師による縄文文化期の概説と冬島遺跡の価値についてご講演いただいた。

・遺跡セミナー②(講演)

講座名 「冬島遺跡の骨が語るもの」

講 師 西本 豊弘 氏（日本動物考古学会）、新美倫子 氏（名古屋大学博物館）

日 時 平成 30 年 11 月 29 日

会 場 様似町中央公民館 小ホール

内 容

西本豊弘氏（日本動物考古学会）、新美倫子氏（名古屋大学博物館）をお招きし、冬島遺跡出土動物骨について専門的な価値や特徴についてご講演いただいた。

・遺跡まつり(体験講座)

日 時 平成 30 年 10 月 21 日

講 師 瀬下 直人 氏（白滝教育センター 学芸員）

会 場 第二体育館

内 容

特別展の関連事業の 1 つとして、勾玉づくり、石器づくり(外部講師)、土層ジェルキャンドル、トンボ玉作り、鹿角バーバーナイフ、弓矢体験、火起こし体験、釣り遊びの体験事業を実施した。

・遺跡ワークショップ①(体験講座)

日 時 平成 30 年 7 月 28 日

会 場 様似町中央公民館 1 階調理室

内 容

縄文人のベンガラや漆の利用についての解説とベンガラを用いた泥染めの体験事業を実施した。

・遺跡ワークショップ②(体験講座)

日 時 平成 30 年 8 月 25 日

講 師 ヤミラ 氏（おかし作り考古学者）

会 場 様似町中央公民館 1 階調理室

内 容

当町から出土した土器を観察してもらったのちに土器風クッキーを作る体験事業を実施した。

・郷土館スペシャルイベント

日 時 平成 30 年 5 月 20 日

内 容

郷土館前駐車場でヨーヨーすくい、スーパーぼールすくいなどを開催した。

令和元年度

・**遺跡セミナー**

講座名「冬島遺跡成果速報&黒曜石と実験考古学」

日 時 令和元年 10月 17 日

講 師 瀬下 直人 氏（白滝教育センター 学芸員）

会 場 様似町中央公民館 小ホール

内 容

白滝の黒曜石の特徴や講師の専門である実験考古学について実践を交えながらご講演いただいた。

・**北海道遺産セミナー**

講座名「北海道遺産としての重要文化財等済院」

日 時 令和元年 11月 28 日

講 師 佐々木 利和 氏（北海道大学アイヌ・先住民研究センター）

会 場 町立様似図書館 視聴覚ホール

内 容

北海道大学アイヌ・先住民研究センター客員教授である佐々木利和氏をお招きし、文化財保護の概要及び絵図からみる等済院の記録についてお話をいただいた。また、等済院文書である墨簿と八王子千人同心の繋がりについても詳しくご講演いただいた。

・**遺跡まつり(体験講座)**

日 時 令和元年 7月 28 日

会 場 様似町中央公民館 文化ホール

内 容

特別展の関連事業の1つとして、勾玉づくり、石器づくり(外部講師)、土層ジェルキャンドル、トンボ玉作り、鹿角バーナイフ、弓矢体験、火起こし体験、釣り遊びの体験事業を実施した。

・**郷土館スペシャルイベント**

日 時 令和元年 5月 19 日

内 容 郷土館前駐車場でヨーヨーすくい、かたぬきなどを開催した。

(4) 共催・協力事業

平成 30 年度

・企画展「色々な『鞠苦』を知る！」(協力)

主 催 様似町アポイ岳ジオパーク推進協議会

協 力 町立様似図書館・様似郷土館・様似歴史研究「会所の会」

日 時 平成 31 年 3 月 9 日～17 日

場 所 様似町中央公民館 ギャラリー21

令和元年度

・企画展「いにしえ、そして今へー冬島遺跡の発掘成果からアイヌ文化へー」(共催)

共 催 様似郷土館・様似町アポイ岳ジオパーク推進協議会

日 時 令和元年11月19日～12月1日

場 所 様似町中央公民館 ギャラリー21

(5)連携事業

町立様似図書館、様似町中央公民館(様似町教育委員会社会教育係)、様似郷土館、アポイ岳ジオパークビジターセンターの4館の連携講座「カンカン講座」を月1回実施した。実施日、実施内容については、以下のとおりである。

平成30年度

日付	事業名	参加者数	担当館
4月21日	満開の桜屏風をつくろう	11	アポイ岳ビジターセンター
5月26日	牛乳パックで手作りハガキを作ろう！	9	図書館
6月30日	手作り♪ブックカバー／ノートカバー	5	図書館
7月29日	布ぞうり作り	14	郷土館
8月8日	さまにのイチゴでアイスクリーミ作り	25	公民館
8月18日	夏休み特別版「とんぼ玉&組紐 作ってみよう」	22	図書館・郷土館
9月29日	オリジナルノート作り	12	図書館
10月27日	紅葉の葉っぱでしおり作り	3	アポイ岳ビジターセンター
10月20日	Night DE カンカン「星を探して・・・」	13	全館
12月2日	まつばっくりのスノードーム作り	10	公民館
12月22日	紙紐で作るしめ飾りづくり	13	郷土館
1月12日	冬休み特別版「和紙でランプシェードづくり」	17	図書館
1月19日	アイヌ料理体験講座	16	公民館
2月16日	光る泥だんごをつくろう	20	アポイ岳ビジターセンター
3月22日	和菓子の型でオリジナル石けん作り	7	郷土館

令和元年度

日付	事業名	参加者数	担当館
4月27日	和じで2019年月間カレンダー作り	12	図書館
5月12日	浦河町東町と様似町平字の面白い崖探検	12	アポイ岳ビジターセンター
6月22日	トンネルブックで冬島遺跡を覗いてみよう！？	12	図書館
7月20日	サンマの絵を描こう	10	アポイ岳ビジターセンター
8月31日	藍の生葉染めでミニ手ぬぐい作り	18	郷土館
9月21日	刺し子ミニふきん作り	13	郷土館
10月12日	お弁当のフタで様似の立体模型	14	アポイ岳ビジターセンター
11月30日	お野菜はんこでポストカード作り	12	図書館
12月18日	クリスマス ナイト be カンカン	10	郷土館

1月25日	キラキラ箔押しで蔵書標示おり作り	6	図書館
2月29日	コハクみがき	中止	アボイ岳ビジターセンター
3月14日	様似の味噌・醤油の歴史と醤油麹づくり	中止	郷土館

(6) 資料の貸出等

平成30年度の資料貸出等の件数は、12件であった。内訳は貸出6件、デジタルデータ貸出3件、撮影2件、デジタルデータ掲載1件で、総貸出点数は42点であった。詳細は以下の通りである。

日付	区分	資料名	点数
5月29日～31日	貸出	片口	1
6月8日～9月30日	デジタルデータ貸出	サバンバデジタルデータ	1
7月6日～24日	貸出	アンモナイト、異常巻きアンモナイト	2
7月6日～7日	撮影	土人勘定帳、シャマニ会所絵図、植物標本	3
7月19日	撮影	テレビ番組「満点青空レストラン」放送予定	1
8月24日～28日	貸出	薬莢、柱	2
9月26日～10月10日	貸出	タマサイ、キセル、アンモナイト	3
11月20日	デジタルデータ貸出	地域交流サロン「ソビラ」での講話資料として使用したい	1
12月5日	デジタルデータ貸出	初代アボイ山莊写真	1
12月16日	デジタルデータ掲載	サバンバ、シントコ、様似郷土館外観	3
3月13日～17日	貸出	塙釜遺跡、大山裏出土資料、星の上出土資料、鶴苦神社横出土資料、鶴苦高見台出土資料、鶴苦沢遺跡出土資料、優勝旗、鶴苦国民学校旗、醉だこ出荷樽、鶴苦小学校地理付図、尋常小学国史、小学校記章、通学かばん	15
3月15日～20日	貸出	写真（町政施行の年鶴苦まつり、鶴苦漁港竣工式、しおかぜ、鶴苦尋常小学校長、対抗運動会、開きステウダラ干し、鶴苦漁港の建設、鶴苦駅、鶴苦漁港新設工事遠景）	9
合計			42

令和元年度の資料貸出等の件数は、12件であった。内訳は貸出8件、デジタルデータ貸出2件、閲覧1件、掲載1件で、総貸出点数は82点であった。詳細は以下の通りである。

日付	区分	資料名	点数
4月24日～7月1日	貸出	企画展の展示資料として活用するため	2

5月 17日～ 24日	貸 出	トランクキット①	1
5月 22日～ 8月 31日	貸 出	写真アルバム「漁港の移り変わり」、「漁業」	5
5月 29日～ 31日	貸 出	片口	1
7月 7日～ 30日	貸 出	アンモナイト、トランクキット④	2
7月 19日	貸 出	トランクキット③	1
8月 1日～ 31日	貸 出	弾丸、防寒靴、水筒、認識票、召集令状、軍事郵便	6
8月 10日～ 17日	デジタルデー タ貸出	写真（西様似駅、鵜苦駅、様似駅転車台、様似駅、三井軌道ディーゼル車、三井軌道人物写真）	6
8月 30日～ 10月 18日	貸 出	竿桿、浮き玉	6
9月 1日～ タ掲載	デジタルデー タ掲載	サバンベ、シントコ、郷土館外観写真	3
11月 2日	閲覧・撮影	矢本家文書	36
12月 13日 ～	掲 載	写真（様似町運動会、馬鍔による代播き、歳末たすけあい、アボイの火まつり、西町海岸、町政施行パレード、様似漁港建設工事、港熊太郎出初式で梯子乗り、親音山の桜まつり風景、秋の火災予防幼年消防クラブ啓発パレード、親子岩の海水浴風景、様似小学校運動会、様似幼稚園の入園式）	13
合 計			82

5. 学芸員の館外対応

- ・高橋学芸員（専門：保存科学）

平成 30 年度

日 付	所 在 地	内 容
10月 28日	札幌市	北海道博物館「北のみゆせふえす 2018」でのブース講師
11月 26日～28日	奈良市	保存科学研究集会にてポスター発表
12月 3、10、14日	安平町	被災資料の状況確認、再展示の助言
12月 6日	江別市	埋蔵文化財担当職員研修会「様似山道の調査と指定の取り組みについて」報告
12月 8日	札幌市	遺跡調査報告会「9.06 膀振東部地震の被害とその対応について」発表

令和元年度

日 付	所 在 地	内 容
7月 19日	様似町	様似小学校遠足・宿泊体験対応（トランクキット・様似山道）
8月 30日	様似町	日高東部三町合同体験学習の講師
12月 19日	札幌市	防災ネットワーク推進事業研修会の講師

6. 様似郷土館条例・施行規則

○様似郷土館条例

昭和42年1月25日条例第19号
改正 昭和43年9月19日条例第9号
昭和54年9月25日条例第6号
平成13年7月2日条例第18号
平成24年3月9日条例第4号

(設置)

第1条 本町の教育学術及び文化の発展に寄与するため、様似郷土館（以下「郷土館」という。）を設置する。

(名称及び位置)

第2条 郷土館の名称及び位置は、次のとおりとする。

名称	位置
様似郷土館	様似郡様似町会所町1番地

(職員)

第3条 郷土館に、館長及び職員定数条例（昭和27年様似町条例第9号）の範囲内において、様似町教育委員会（以下「委員会」という。）が必要と認める職員を置く。

(郷土館運営審議会)

第4条 郷土館に郷土館運営審議会（以下「審議会」という。）を置く。

2 審議会は、郷土館の運営に関し、委員会の諮問に応ずるとともに、館長に意見を述べる機関とする。

3 審議会の委員（以下「委員」という。）は、学校教育及び社会教育の関係者、家庭教育の向上に資する活動を行う者並びに学識経験のある者の中から委嘱する。

4 委員の定数は、5人以内とし、その任期は、2年とする。ただし、補欠による委員の任期は、前任者の残任期間とする。

(教育委員会規則への委任)

第5条 この条例の施行に関し必要な事項は、教育委員会規則で定める。

附 則

この条例は、公布の日から施行する。

附 則（昭和43年9月19日条例第9号）

この条例は、公布の日から施行する。

附 則（昭和54年9月25日条例第6号）

この条例は、公布の日から施行する。

附 則（平成13年7月2日条例第18号）

この条例は、公布の日から施行する。

附 則（平成24年3月9日条例第4号）

この条例は、平成24年4月1日から施行する。

○様似郷土館条例施行規則

昭和55年4月22日

教育委員会規則第9号

改正 昭和61年11月27日教委規則第3号

平成13年8月1日教委規則第2号

平成29年4月20日教委規則第5号

(趣旨)

第1条 この規則は、様似郷土館条例（昭和42年様似町条例第19号）第5条の規定に基づき、様似郷土館（以下「郷土館」という。）の管理及び運営に関し、必要な事項を定めるものとする。

(事業)

第2条 郷土館は、次の各号に掲げる事業を行う。

- (1) 郷土資料の分類及び整理に関すること。
- (2) 資料に関する専門的及び技術的な調査研究を行うこと。
- (3) 実物、標本、模写、模型、文献、図表、写真及びフィルム、レコード、録音テープ等の資料を収集し、保管し、及び展示すること。
- (4) 資料の利用に関し、必要な説明、助言及び指導を行うこと。
- (5) 講習会、映写会、研究会等の開催に関すること。
- (6) 郷土館に関する資料の作成及び広報に関すること。

(開館時間及び休館日)

第3条 郷土館の開館時間及び休館日は、次のとおりとする。

- (1) 開館時間 午前10時から午後4時30分まで
- (2) 休館日 次に掲げる日

ア 月曜日

イ 国民の祝日にに関する法律（昭和23年法律第178号）に規定する祝日の翌日（ただし、その日が土曜日、日曜日及び月曜日に当たるときは、その翌開館日）

ウ 1月1日から同月5日まで及び12月31日

2 前項の規定にかかわらず、館長は、管理運営上特に必要と認めたときは、その開館時間を伸縮し、臨時に休館し、又は臨時に開館をすることができる。

(入館料)

第4条 郷土館の入館料は、無料とする。

(入館の制限)

第5条 館長は、次の各号いずれかに該当するときは、郷土館を利用しようとする者又は利用者に対して入館を禁じ、又は退館させることができる。

- (1) 風俗又は公安を害するおそれがあるとき。
- (2) 郷土館の建物又はその展示物等をき損し、又は滅失するおそれがあるとき。
- (3) その他郷土館の管理運営上適当と認め難いとき。

(入館者の遵守事項)

第6条 入館者は、郷土館においては、次に掲げる事項を遵守しなければならない。

- (1) 所定の場所以外で飲食し、又は喫煙しないこと。
- (2) 建物、設備、展示資料等を汚損し、損傷し、又はその設備、展示資料等を所定の場所から持ち出さないこと。
- (3) 他の入館者に迷惑をかける行為をしないこと。

(運営審議会)

第7条 様似郷土館運営審議会（以下「審議会」という。）に会長及び副会長各1人を置く。

- 2 会長及び副会長は、委員の互選による。
- 3 会長は、審議会を代表し、審議会の議長となる。
- 4 副会長は、会長を補佐し、会長に事故があるときは、その職務を代理する。
- 5 審議会は、必要に応じて会長が招集する。
- 6 審議会の議事は、出席委員の過半数で決し、可否同数のときは議長の決するところによるものとする。

(委任)

第8条 この規則に定めるほか、必要な事項は、館長が別に定める。

附 則

この規則は、公布の日から施行する。

附 則（昭和61年1月27日教委規則第3号）

この規則は、公布の日から施行する。

附 則（平成13年8月1日教委規則第2号）

この規則は、平成13年8月1日から施行する。

附 則（平成29年4月20日教委規則第5号）

この規則は公布の日から施行する。

アポイ岳ジオパークビジターセンター

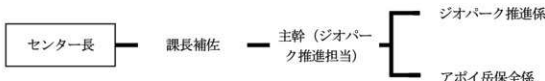
1. 施設概要

所在地 〒058-0004 北海道様似郡様似町字平字 479 番地の 7
建物構造 鉄骨造地上 1 階建
建物面積 499.28 m²
開館 平成 25 年 4 月 1 日
開館時間 午前 9 時から午後 5 時
休館日 12 月 1 日から 3 月 31 日

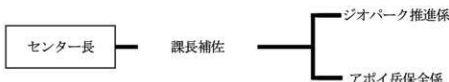
2. 運営

(1) 組織

平成 30 年度



令和元年度



(2) 職員

平成 30 年度

様似町
商工観光課長 原田 卓見(センター長)
商工観光課課長補佐 定木 基
商工観光課主幹 田村 裕之(ジオパーク推進担当)
商工観光課アポイ岳保全係長 坂下 志朗
商工観光課アポイ岳保全係主査(学芸員) 加藤 啓美
学芸員 田中 正人
臨時職員 小林 弥生、坂本 孔美、澤井 珠代
様似町地域おこし協力隊 水永 優紀

令和元年度

様似町
商工観光課長 原田 卓見(センター長)
商工観光課課長補佐 田村 裕之

商工観光課アボイ岳保全係長 坂下 志朗
 商工観光課アボイ岳保全係主査（学芸員） 加藤 聰美
 臨時職員 小林 弥生、坂本 孔美、澤井 珠代
 様似町地域おこし協力隊 水水 優紀

3. ビジターセンター利用状況

平成 30 年度

月	日数	個人	団体	計
4月	30	1,239	0	1,239
5月	31	2,190	101	2,291
6月	30	2,152	161	2,313
7月	31	2,607	102	2,709
8月	31	3,659	154	3,813
9月	30	1,324	45	1,369
10月	31	1,101	86	1,187
11月	30	467	47	514
12月				0
1月				0
2月				0
3月				0
計	244	14,739	696	15,435

令和元年度

月	日数	個人	団体	計
4月	30	1,357	20	1,377
5月	31	3,497	136	3,633
6月	30	2,191	151	2,342
7月	31	2,462	233	2,695
8月	31	4,079	65	4,144
9月	30	1,856	92	1,948
10月	31	788	177	965
11月	30	371	6	377
12月				0
1月				0
2月				0
3月				0
計	244	16,601	880	17,481

4. ビジターセンター事業活動内容

(1) 寄贈資料受入件数

平成 30 年度

受 入 日	資 料 名	点 数
4月 2日	鉱物（萤石）	24
6月 18日	東邦電化鉱石標本	49
6月 30日	鉱物（ラピスラズリ）	1
7月 27日	化石（貝化石、メノウ、石炭）	12
7月 29日	岩石（凝灰岩）	1
8月 12日	化石（アンモナイト）	3
9月 30日	岩石（イタリアのかんらん岩）	2
10月 8日	躑躅	1
11月 14日	岩石（グリーンタフ）	1
11月 15日	岩石（レルブライト、ハルツバージャイト）	2
12月 28日	岩石（泥岩）	1
	合 計	97

令和元年度

受 入 日	資 料 名	点 数
5月 5日	化石（アンモナイト・イノセラムス）・付属資料	5
5月 29日	岩石標本（南アメリカおよび南西アフリカ）	1
5月 30日	図書（日本列島地質構造発達史）	1
7月 2日	岩石（青トラ石）	1
7月 4日	岩石（青トラ石）	1
7月 28日	岩石（岩手県遠野市小友の石灰岩）	1
7月 29日	岩石（かんらん岩）	1
8月 28日	化石（アンモナイト・カニ）	29
9月 7日	岩石（隱岐の島のかんらん岩捕獲岩）	1
9月 8日	論文（北海道における石材産地推定の試みから見える石質の 価値観-黒曜石と珪質頁岩、蛇紋岩質土器、および蛇紋岩関連 玉類-）	1
10月 29日	岩石（かんらん岩）	1
10月 21日	岩石（愛媛県東赤石山のざくろ石かんらん岩）	1
11月 19日	岩石（エクロジャイト・透綠閃石・かんらん岩・ザクロ石結 晶を含む角閃岩）	4
12月 23日	岩石（紅レン片岩、蛇紋岩）	2
2月 6日	書籍（構造地質学要論ほか）	27
	合 計	77

(2)講演・講座等

平成30年度

・ゴールデンウィーク・イベント(体験講座)

日 時 平成30年5月3日～5日

協 力 アポイ岳ファンクラブ

内 容

来場者の多くなるゴールデンウィークに『LEDでミニランタン作り』『様似のミニ岩石標本作り』『12カ月の宝石探し』の体験事業を実施した。

・夏休みスペシャルイベント(体験講座)

日 時 平成30年8月13日～15日

協 力 アポイ岳ファンクラブ

内 容

来場者の多くなるお盆時期に『石にお絵かき』『地球クイズ』『12カ月の宝石探し』の体験事業を実施した。

令和元年度

・ゴールデンウィーク・イベント(体験講座)

日 時 令和元年5月3日～5日

協 力 アポイ岳ファンクラブ

内 容

来場者の多くなるゴールデンウィークに『ネイチャーフラフト』『窓のかざり作り』『ろう石でアクセサリー作り』『偏光板と顕微鏡でかんらん岩と他の石を見比べてみよう』の体験事業を実施した。

・夏休みスペシャルイベント(体験講座)

日 時 令和元年8月10日～12日

協 力 アポイ岳ファンクラブ

内 容

来場者の多くなる夏休み時期に『シカツノアクセサリー作り』『石みがき』『プレスレット作り』『岩石カッター体験』の体験事業を実施した。

・特別展「日高山脈と災害記録をたどる」

日 時 平成31年4月1日～令和元年11月30日

協 力 様似山岳会・北海道教育大学・沙流川歴史館・日高山脈博物館

内 容

日高山脈の写真等を通して、大地の成り立ちや自然の変化、山と人の関わりなどを感じていただくとともに、近年の津波堆積物調査などを通じて災害について考えていただく特別展を開催した。

(3)連携事業

様似郷土館と同様のため省略

(4) 資料の貸出等

平成30年度の資料貸出等の件数は、9件であった。内訳は貸出4件、デジタルデータ貸出3件、複写2件、総貸出点数は9点であった。詳細は以下の通りである。

日付	区分	資料名	点数
4月2日	貸出	岩石（かんらん岩、ホルンフェルス、黒雲母片岩、グラニュライト、黒雲母片岩、角閃岩、かんらん石はんれい岩、黒色片岩）	8
9月10日	デジタルデータ 貸出	アポイ岳ジオパークビジターセンター展示映像	1
11月7日	貸出	ハルツバージャイト	1
11月13日	貸出	鉱石（金、金と黄鉄鉱）	2
11月14日	貸出	新富産マンガン、シリコマンガン、東邦電化鉱石標本	3
12月27日	デジタルデータ 貸出	エゾシカ自動撮影装置の写真	3
1月17日	デジタルデータ 貸出	底質地質図	1
3月19日	複写	論文（佐藤謙（2005）アポイ山塊と幌満岳の超塩基性岩植生-偽の永久方形区法によって示された植生変化-）	1
3月29日	複写	書籍（解析岩石学）	1
		合計	21

令和元年度の資料貸出等の件数は、19件であった。内訳は貸出3件、デジタルデータ貸出7件、複写9件、総貸出点数は44点であった。詳細は以下の通りである。

日付	区分	資料名	点数
4月20日	デジタルデータ 貸出	論文（葉石） 講演資料（磁性かんらん岩）	2
4月23日	複写	論文（冬島変成岩類）	3
5月11日	デジタルデータ 貸出	映像（様似町冬島のウニ漁）	1
5月28日	複写	地形図（アポイ岳と幌満岳）	2
6月14日	デジタルデータ 貸出	映像（地域おこし協力隊活動報告会）	1
6月26日	複写	岩石採取許認可書類	1
6月29日	複写	文献（様似町の地質図及び説明書）	1
7月10日	複写	岩石採取許認可書類	1
9月7日	貸出	地球と月の模型・かんらん岩・蛇紋岩	4
8月30日	デジタルデータ 貸出	様似町の地質図及び説明書	1
9月19日	デジタルデータ 貸出	様似町の地質図及び説明書	2
10月1日	複写	基礎資料（観音山ファイル）	1
10月3日	複写	岩石採取許認可書類	1

10月3日	複写	地形図（5000分の1縮尺複数）	6
10月10日	撮影、デジタルデータ貸出	岩石、化石、岩石写真	10
10月11日	デジタルデータ貸出	アポイの森と海とのつながり（冬島沖の海底地形）	1
10月26日	貸出	岩石（ホルンフェルス、トーナル岩、黒雲母片岩）	3
11月1日	複写	アイランドアーク（北海道の地質） 資料（日高主脈上断層）	2
12月5日	貸出	輝岩脈を伴うダナイト（捕獲岩）	1
			合計 44

5. 学芸員の館外対応

- ・田中學芸員（専門：維管束植物）

平成30年度

日付	所在地	内 容
5月23日	様似町	幼児センター「アポイ登山事前学習講師
5月24日	様似町	幼児センター「アポイ登山事前学習講師
7月12日	様似町	幼児センター「草花遊び、石探し」講師

- ・加藤学芸員（専門：岩石）

平成30年度

日付	所在地	内 容
5月29日	様似町	様似中学校1年生アポイ登山事前学習講師
6月1日	様似町	様似中学校1年生アポイ登山学習講師
6月19日	様似町	様似中学校1年生総合学習対応
6月26日	浦河町	浦河東部小学校アポイ登山事前学習講師
7月10日	様似町	浦河第二中学校校外学習講師
7月12日	様似町	幼児センター「草花遊び、石探し」講師
3月16日	様似町	中学校教員のジオサイト視察対応

令和元年度

日付	所在地	内 容
5月13日	様似町	様似小学校5年生アポイ登山事前学習講師
5月15日	様似町	様似小学校4～5年生アポイ登山学習講師
5月21日	様似町	幼児センター観音山自然学習講師
5月28日	様似町	様似中学校1年生アポイ登山事前学習講師
5月29日	様似町	幼児センター「アポイ登山事前学習講師
5月31日	様似町	様似中学校1年生アポイ登山学習講師
6月9日	様似町	自然観察協議会全道会員研修会対応
6月18日	様似町	様似中学校1年生総合学習講師
7月9日	様似町	浦河第二中学校1年生岩石標本づくり講師

7月12日	様似町	幼児センター「様似川での石探しと石観察」講師
7月28日～29日	様似町	第5・4回自然科学教育研究全道大会アポイ岳大会対応
9月3日	様似町	十勝管内退職校長会研修会対応
9月7日	様似町	えりも高校地域探求学習講師
10月25日	様似町・浦河町	浦河小学校6年生理科「大地の作りと変化」野外学習講師
11月24日	様似町	様似小学校PTA「かんらん岩ストラップづくり」講師

6. アポイ岳ジオパークビジターセンターの設置及び管理運営に関する要綱

○アポイ岳ジオパークビジターセンターの設置及び管理運営に関する要綱

平成25年3月29日

訓令第16号

(趣旨)

第1条 この要綱は、アポイ岳ジオパークビジターセンター（以下「ビジターセンター」という。）の設置及び管理運営に関し必要な事項を定めるものとする。

(設置)

第2条 アポイ岳をはじめとする様似町の学術的に貴重な地質、自然環境及び歴史文化などの地域資源（以下「地域資源」という。）を紹介することで、町民及び来町者の地域理解を図り、もって様似町の教育及び観光振興に寄与するため、ビジターセンターを設置する。

2 前項のビジターセンターの名称及び位置は、次のとおりとする。

名称	位置
アポイ岳ジオパークビジターセンター	様似町字平字479番地の13・14

(職員)

第3条 ビジターセンターに、センター長及び必要と認める職員を置く。

(業務)

第4条 ビジターセンターは、おおむね次に掲げる業務を行う。

- (1) 地域資源に関連した資料の収集及び展示
- (2) ジオパークの普及啓発
- (3) アポイ岳の自然に関する情報提供
- (4) アポイ山麓ファミリーパークキャンプ場の管理

(開館時間及び開館期間)

第5条 ビジターセンターの開館時間及び開館期間は、次のとおりとする。

- (1) 開館時間 午前9時から午後5時まで
- (2) 開館期間 4月から11月末日まで

2 前項の規定にかかるらず、町長は管理運営上特に必要と認めたときは、その開館時間を伸縮し、臨時に休館し、又は臨時に開館することができる。

(入館料)

第6条 ビジターセンターの入館料は、無料とする。

附 則

この訓令は、平成25年4月1日から施行する。

様似郷土館紀要 2号

発行年月日 令和2年(2020)3月31日

編集・発行 様似町教育委員会

〒058-8501

北海道様似郡様似町大通1丁目21番地

印 刷 株式会社 総北海

アポイ岳ハイマツ伐採試験地における 6 年間の植生変化

佐藤 謙・丹羽 真一・田中 正人・水永 優紀

様似郷土館紀要 2 号 別刷
2020 年 3 月

様似町観音山風穴における冷風穴と温風穴の温度変化

澤田 結基・加藤 謙美

様似郷土館紀要 2号 別刷
2020年3月

平成 30 年度様似町冬島遺跡発掘調査報告

高橋 美鈴

様似郷土館紀要 2 号 別刷
2020 年 3 月

令和元年度様似町冬島遺跡発掘調査報告

高橋 美鈴

様似郷土館紀要 2号 別刷
2020年3月